

SIMULAÇÃO DIGITAL DE
SISTEMAS FERROVIÁRIOS ELETRIFICADOS
EM CORRENTE CONTÍNUA

Autor - FERNANDO URBANO
Orientador - ALCIR JOSÉ MONTICELLI

Tese apresentada à Faculdade de En
genharia de Campinas da UNICAMP co
mo parte dos requisitos necessários
para obtenção do título de MESTRE
EM CIÊNCIAS.

UNIVERSIDADE ESTADUAL DE CAMPINAS
FACULDADE DE ENGENHARIA
DEPARTAMENTO DE ENGENHARIA ELÉTRICA/ELETRÔNICA

1977

UNICAMP
BIBLIOTECA CENTRAL

AGRADECIMENTOS

Desejo registrar a minha gratidão a todos aqueles que contribuiram para a realização deste trabalho, em especial

a Alcir José Monticelli, que, na qualidade de Orientador, colocou-se à disposição, para que realizássemos um trabalho acadêmico e profícuo;

a Brian Stott, pelo incentivo e sugestões para o desenvolvimento desta tese;

à Ferrovias Paulistas S.A., que gentilmente cedeu dados e pessoal técnico, para que este estudo tivesse uma aplicação prática;

à General Electric do Brasil S.A., na pessoa de seu Gerente de Produção, Engº Fernando A. Cavazzoni;

à Maria Júlia Dini, pelo zeloso e eficiente trabalho datilográfico.

SUMÁRIO

É desenvolvido um algoritmo para a simulação digital de sistemas ferroviários eletrificados em corrente contínua. As principais vantagens do método são versatilidade e desempenho computacional, sendo moldável ao estudo de redes ferroviárias eletrificadas, em níveis de planejamento e operação.

ABSTRACT

An algorithm for digital simulation of DC railway systems is developed in this study. Its main advantages are versatility and computational performance and it can be applied to operation and planning aspects of railway systems studies.

ÍNDICE

SUMÁRIO

CAPÍTULO I

1 - INTRODUÇÃO

CAPÍTULO II

2 - O SISTEMA ELETRIFICADO EM CORRENTE CONTÍNUA

2.1 - Introdução

2.2 - Alimentação do Sistema

2.2.1 - Alimentação das Sub-estações

2.2.2 - Alimentação das Linhas de Contato

2.3 - Quedas de Tensão

2.3.1 - Resistência do Circuito de Tração

2.3.2 - Exemplo de Quedas de Tensão

2.4 - Sub-estações de tração

2.4.1 - Transformador Abaixador

2.4.2 - Grupos Conversores Trifásico- Contínuo

2.5 - Locomotivas Elétricas

2.5.1 - Motor de Tração tipo série

2.5.1.1 - Curvas Características do Motor Série

2.5.1.2 - Funcionamento do Motor Série

2.5.2 - Circuito de Potência das Locomotivas

2.5.3 - Partida e Aceleração de uma Locomotiva

2.5.4 - Frenagem Regenerativa de uma Locomotiva

2.5.4.1 - Características F(V) de Frenagem Regenerativa

CAPÍTULO III

3 - A SIMULAÇÃO DO SISTEMA FERROVIÁRIO

3.1 - Diagrama de Blocos

3.2 - Entrada de Dados

3.3 - Desempenho Básico dos Treins no Percurso

3.4 - Acoplamento do Esquema Operacional ao Esquema Elétrico do Sistema

3.4.1 - A Lógica da Movimentação dos Treins

CAPÍTULO IV

4 - A SIMULAÇÃO ELETRO-MECÂNICA

4.1 - Características do Material Rodante e do Equipamento Elétrico

4.1.1 - Material Rodante

4.1.2 - Equipamento Elétrico

4.2 - Características dos Perfis

4.3 - Acoplamento Dinâmico do Trem com a via

4.3.1 - Resistência ao Avanço

4.3.2 - Resistência devido às curvas

4.3.3 - Resistência devido à gravidade

4.4 - A Equação Dinâmica

4.4.1 - As Equações do Movimento

4.4.2 - A Solução Numérica

4.4.3 - A Função Velocidade-Deslocamento

CAPÍTULO V

5 - O FLUXO DE CARGA

5.1 - A Equação Terminal da Locomotiva

5.1.1 - O Algoritmo para a Determinação das Características Terminais

5.1.2 - A Forma das Equações não-lineares

5.2 - As Equações do Sistema Eletrificado

5.3 - O Método Iterativo Newton-Raphson

5.4 - O Algoritmo Básico para o Cálculo do Fluxo de Carga

CAPÍTULO VI

6 - A APLICAÇÃO PRÁTICA

6.1 - Dados Relativos ao Esquema Operacional

6.2 - Dados Relativos ao Esquema Elétrico

6.3 - O Perfil da Via

6.3.1 - A Vista em Planta

6.3.2 - A Vista no Perfil Longitudinal

6.4 - Informações Relativas aos Treins

6.4.1 - Elemento Trator

6.4.2 - Elementos Rebocados

6.5 - As Simulações Básicas dos Movimentos dos Treins nos Percursos

6.6 - Os Resultados da Aplicação Prática

CAPÍTULO VII

7 - CONCLUSÕES

APÊNDICE A

APÊNDICE B

APÊNDICE C

APÊNDICE D

APÊNDICE E

REFERÊNCIAS BIBLIOGRÁFICAS

CAPÍTULO I

INTRODUÇÃO

Do ponto de vista energético, entre outros, são conhecidas as vantagens de um sistema de transporte ferroviário, em comparação com o transporte rodoviário. Vantagens adicionais podem ser obtidas através de um sistema ferroviário eletrificado, tanto pela possibilidade de utilização da energia fornecida pela rede de distribuição, como pela utilização da regeneração elétrica. A eficiência de um sistema eletrificado, entretanto, depende do planejamento da rede de alimentação e do modo de operação da ferrovia. Este tipo de planejamento envolve a simulação eletro-mecânica de todo o sistema ferroviário.

Este trabalho tem por objetivo uma simulação digital de um sistema eletrificado em corrente contínua. É moldável ao estudo de redes ferroviárias, em níveis de planejamento e operação, apresentando vantagens por sua versatilidade e desempenho computacional (tempo e memória).

No Capítulo II é dado um resumo das características básicas de um sistema ferroviário eletrificado em corrente contínua (1), bem como uma descrição do funcionamento dos principais tipos de locomotivas C.C. atualmente em uso no Brasil.

O algoritmo geral usado neste estudo, está descrito no Capítulo III, e reúne em blocos as principais peças para o acoplamento dos esquemas operacional e elétrico do sistema ferroviário eletrificado.

O Capítulo IV descreve o desempenho básico de um trem elétrico em um perfil, considerando o comportamento eletro-mecânico da composição na via. Como a via tem papel decisivo no procedimento do trem, um pré-simulador descreve-a de forma a representar a real situação do perfil. As características elétricas dos motores de tração, também são descritas por pré-simuladores, através das informações fornecidas pelos fabricantes.

O Capítulo V concentra o objetivo primordial do trabalho: o fluxo de carga. O acoplamento elétrico das fontes de alimentação (sub-estações) com as cargas móveis (trens), é realizado através de um sistema de equações algébricas não lineares,

que é resolvido iterativamente por um método Newton-Raphson convencional. Como o sistema ferroviário eletrificado em C.C., mesmo quando em malha, apresenta uma matriz-admitância nodal bastante esparsa, a resolução por triangularização proposta por Tinney (15), é adaptada ao método, resultando vantagens de rapidez e economia de memória.

A aplicação prática deste trabalho se encontra no Capítulo VI, e se desenvolve em um trecho eletrificado em C.C. pertencente à FEPASA.

As conclusões estão reunidas no Capítulo VII.

O Apêndice A apresenta um algoritmo de regressão não-linear, baseado no método dos mínimos quadrados, usado para obter-se matematicamente as características das locomotivas.

O Apêndice B mostra a solução de equações algébricas lineares, através da aplicação de operações elementares sobre matrizes esparsas. São mostradas também as formas de se obter maior economia de memória e menor esforço computacional, através de critérios de renumeração dos nós.

No Apêndice C mostra-se o algoritmo utilizado para se obter as características $F(V)$, a partir das curvas experimentais fornecidas pelos fabricantes.

O desempenho básico de um trem aplicado em um caso real é mostrado no Apêndice D. Utilizando-se do mesmo trecho da aplicação prática, apresenta-se o desempenho de um trem padrão nos sentidos importação e exportação.

No Apêndice E são mostrados algumas saídas de simulações da aplicação prática deste trabalho, com variações dos despechos, objetivando uma melhora do desempenho elétrico do sistema em estudo.

CAPÍTULO II

2 - O SISTEMA ELETRIFICADO EM CORRENTE CONTÍNUA

Neste capítulo será dada uma visão geral do sistema ferroviário eletrificado em corrente contínua.

2.1 - INTRODUÇÃO

Inicialmente convém definir-se o que representa um sistema eletrificado em corrente contínua, ou seja, o circuito de tração.

Basicamente compõe-se de uma fonte de energia, uma linha de contato, uma locomotiva que utiliza a corrente, e um condutor de retorno.

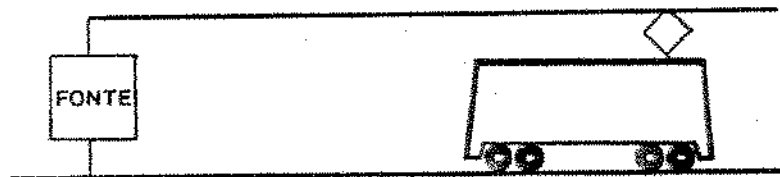


Figura 2.1

A fonte não é propriamente uma central de geração, mas sim um elo de ligação entre o sistema de transmissão C.A. e a via férrea eletrificada. Como o domínio de alimentação desta fonte, também chamada sub-estação (S/E), é limitado, há ao longo de uma linha eletrificada muitas sub-estações convenientemente espaçadas.

O problema geral de um circuito de tração, pode ser tratado como dois problemas em separado:

- 1) o transporte de energia até o pantógrafo da locomotiva.
- 2) a utilização desta energia em um elemento motor.

Os itens que seguem elucidarão melhor estes problemas.

2.2 - ALIMENTAÇÃO DO SISTEMA

As tensões nominais admitidas e atualmente em uso no Brasil são 600, 750, 1500 e 3000 volts C.C. para ferrovias (18). Estas tensões relativamente baixas são impostas pelo ta-

manho físico dos elementos motores, pois para tensões superiores a 3000 volts, fica muito difícil acomodar no espaço disponível, as máquinas auxiliares que alimentam os compressores, ventiladores, assim como a isolação de todos equipamentos na locomotiva.

Com tensões desta ordem de grandeza, as sub-estações de alimentação ficam distribuídas com intervalos de separação bastante pequenos, o que justifica a existência de um grande número destas fontes.

2.2.1 - Alimentação das Sub-estações

O esquema geral é aquele que dispõe de um barramento de alta tensão, alimentando várias sub-estações através de uma ou mais linhas de transmissão, de acordo com a capacidade ou segurança que a alimentação exige.

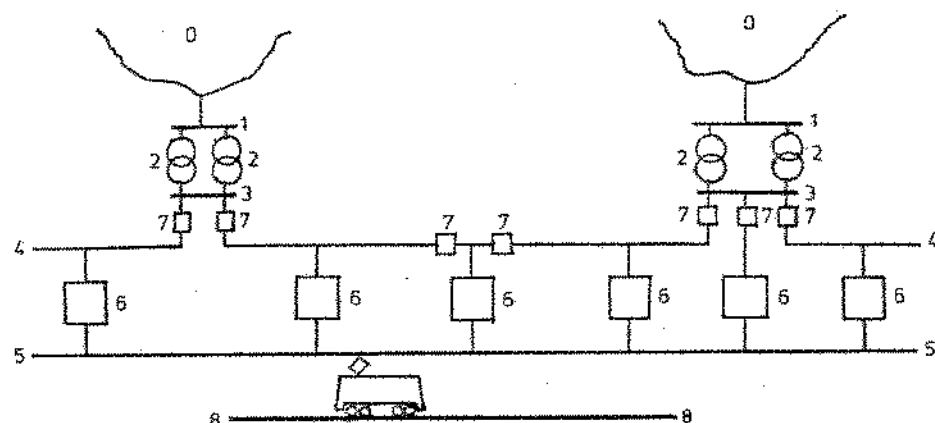


Figura 2.2

- 0 Sistema público
- 1 barramento de alta tensão (chegada)
- 2 sub-estação abaixadora
- 3 barramento de baixa tensão (partida ou envio)
- 4 linha de transmissão C.A. (sistema primário)
- 5 linha de contato C.C. (catenaria)
- 6 sub-estações conversoras
- 7 disjuntores de linha
- 8 linha de retorno (trilhos)

As linhas de transmissão C.A. (sistema primário) se originam dos barramentos de envio de sub-estações abaixadoras, e se estendem, na maioria das vezes, radialmente até o encontro com outras linhas, conforme mostra o esquema da figura 2.2. A existência de disjuntores no encontro destas linhas se faz necessário pelo fato de que os barramentos de envio nunca estão com os mesmos ângulos, o que poderia tornar esta linha, cuja função é alimentar as sub-estações, em linha de transmissão do próprio sistema público.

Segue-se alguns esquemas mais comuns de alimentação, com uma ou duas linhas de Alta Tensão (1).

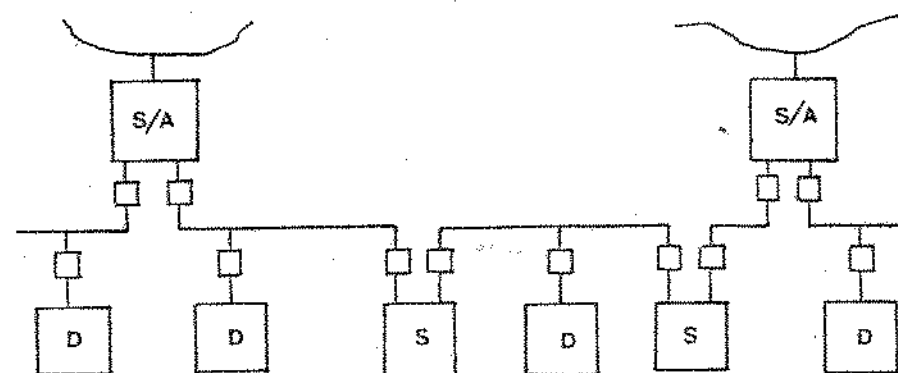


Figura 2.3

No esquema da figura 2.3 há apenas um circuito de transmissão, e um defeito de linha priva de corrente as sub-estações em derivação, situadas entre duas em seccionamento.

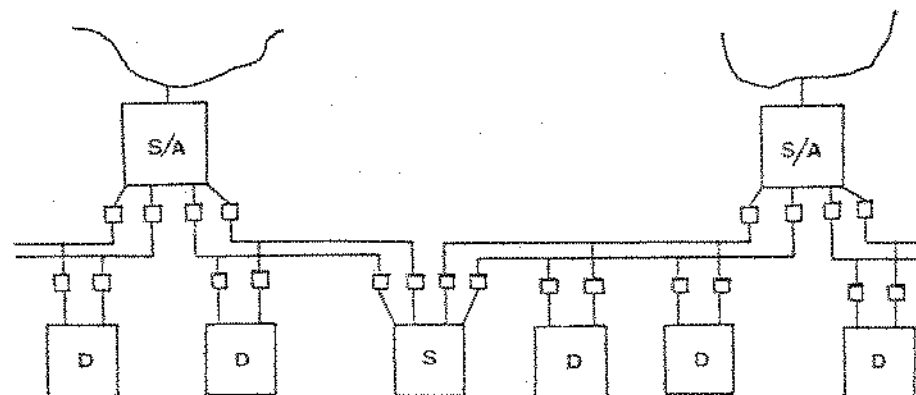


Figura 2.4

O esquema da figura 2.4 é o que representa maior segurança e confiabilidade, pois cada sub-estação está sempre interligada aos dois circuitos de transmissão através do barramento de alta tensão e disjuntores. Em caso de defeito em um dos circuitos há um desequilíbrio entre as correntes que passam pelos disjuntores, o que faz um deles atuar bloqueando a falha, mas garantindo a continuidade do serviço.

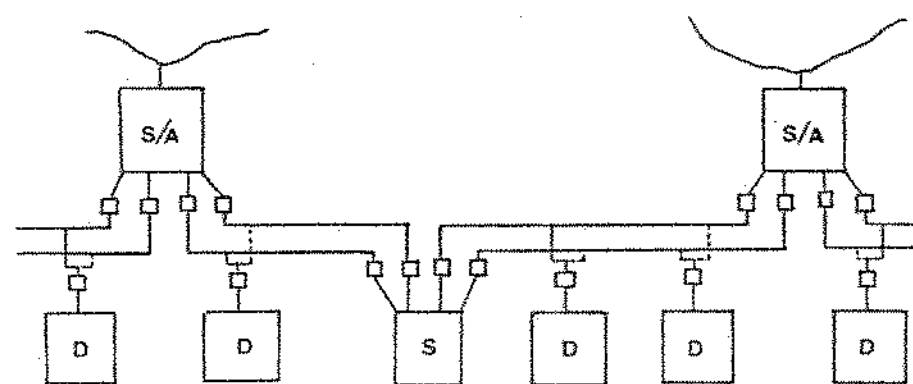


Figura 2.5

O esquema da figura 2.5 é por dois circuitos, mas com uma disposição bastante econômica; nas sub-estações em derivação há apenas um disjuntor ligado alternadamente aos dois circuitos.

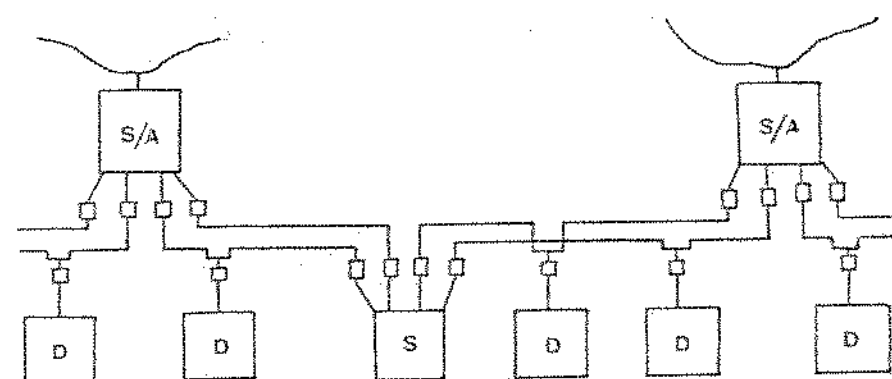


Figura 2.6

O esquema da figura 2.6 também é bastante viável pela garantia de fornecimento, mas apresenta como inconveniente o fato de que as sub-estações precisam estar bastante próximas.

Em todos os esquemas anteriores, fica sempre subentendido a atuação dos disjuntores para o seccionamento da linha (disjuntores de linha).

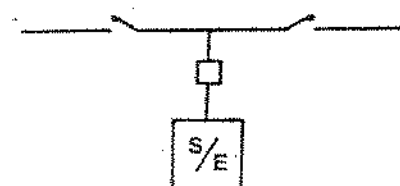


Figura 2.7

2.2.2 - Alimentação das Linhas de Contato

Para completar a descrição dos esquemas de alimentação até os pantógrafos das locomotivas, resta analisar os esquemas das linhas de contato.

A alimentação da linha de contato por duas ou mais sub-estações, é sistemática em corrente contínua, ou seja, uma locomotiva recebe a corrente das sub-estações mais próximas.

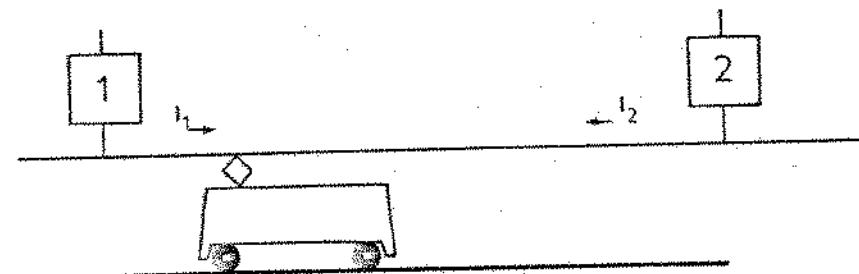


Figura 2.8

Em vias duplas há interesse em se fazer com que as duas linhas de contato participem da alimentação; assim, é feita uma ligação entre pontos médios das linhas, colocando-as em curto circuito. Desta forma a locomotiva recebe a corrente por quatro caminhos distintos, o que sensivelmente reduz as quedas de tensão.

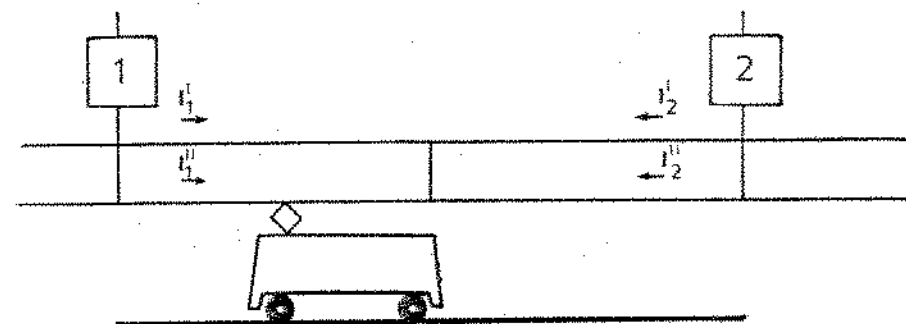


Figura 2.9

Um esquema prático e que será utilizado no capítulo VI, consiste em curto-circuitar as linhas em intervalos equidistantes e bastante próximos , garantindo quedas de tensão muito menores.

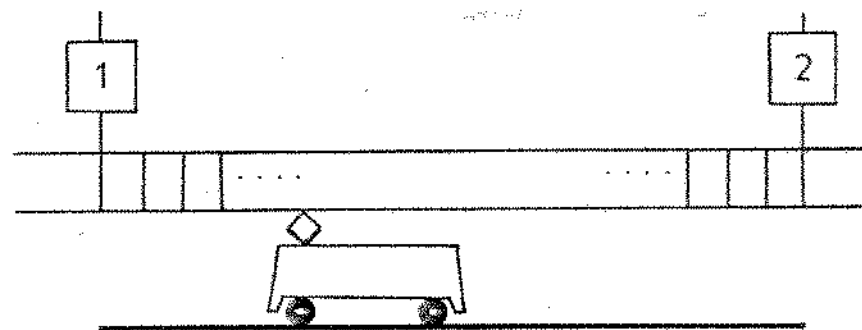


Figura 2.10

2.3 - QUEDAS DE TENSÃO

Entre as sub-estações de alimentação e as locomotivas, existe uma queda de tensão que depende da intensidade de corrente absorvida, e da impedância das linhas em questão.

No problema da determinação do equipamento de linha, a distância entre sub-estações, e eventualmente a secção da linha de contato, são as incógnitas básicas do problema, pois as condições de tensão média ao longo do percurso, e valor mínimo admissível, devem ser simultaneamente obedecidas.

VALORES PADRONIZADOS PELA U.I.C.

MÍNIMO	NOMINAL	MÁXIMO
500 V.	750 V.	900 V.
1000 V.	1500 V.	1800 V.
2000 V.	3000 V.	3600 V.

2.3.1 - Resistência do Circuito de Tração

A resistência específica (ρ) do circuito de tração (catenária + retorno), depende basicamente da secção de catenária e do tipo de trilhos.

Por secção de catenária, entende-se a secção equivalente de cobre (S), que tenha a mesma condutância da catenária. A resistência por quilometro da catenária fica praticamente dada pelo valor $\frac{18,8}{S}$ a 40°C (S em mm^2). (1)

A resistência do circuito de retorno, depende não somente do tipo de trilho, como também da resistência suplementar introduzida pelos pinos de fixação entre os sucessivos dormentes; depende ainda da resistência de isolamento da via em relação ao solo, que permite uma maior ou menor corrente de retorno para a terra. Na prática utiliza-se com razoável aproximação, a relação empírica $\frac{0,9}{P}$ (P =peso em kg/m de trilho). (1).

2.3.2 - Exemplo de Quedas de Tensão

Para elucidar melhor o que significa a queda de tensão em um sistema ferroviário eletrificado, vamos recorrer a um exemplo prático (que será desenvolvido com detalhes nos capítulos seguintes).

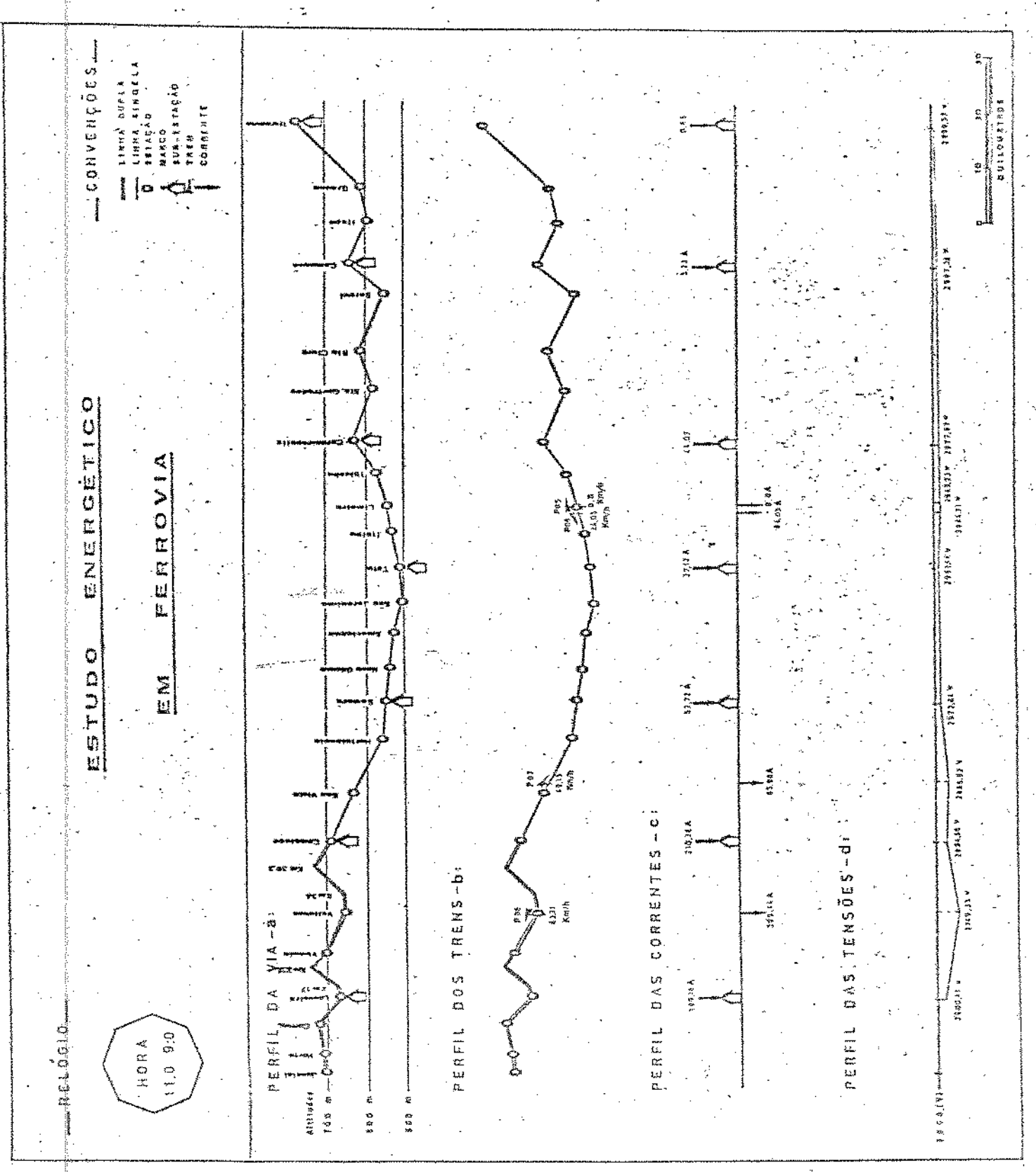


Figura 2.11

Do esquema (a) da figura 2.11 pode-se notar que as sub-estações estão espaçadas a uma distância média de 25 a 30 km., alimentando a linha de contato.

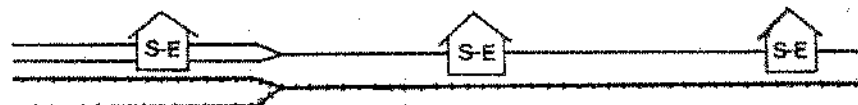


Figura 2.12

Deve-se observar ainda que até um certo trecho a via é dupla, e consequentemente a resistência quilométrica do circuito de tração fica menor.

Através de métodos que serão demonstrados nos capítulos seguintes, obtém-se a configuração dos trens na via (esquema (b) - figura 2.11), como também as correntes absorvidas, acopladas às condições do circuito de tração (esquema (c) - figura 2.11).

Utilizando-se de métodos matriciais, obtém-se as quedas de tensão em todos os elementos eletricamente ativos do sistema, estabelecendo-se um perfil de tensão como o mostrado no esquema (d) da figura 2.11.

2.4 - SUB-ESTAÇÕES DE TRAÇÃO

As sub-estações de tração são vários pontos de passagem de energia, entre o sistema primário e o sistema ferroviário eletrificado. Elas operam interligando a linha de transmissão em alta tensão (sistema primário), responsável pelo fornecimento da energia primária, com a catenária (sistema ferroviário eletrificado). Em uma sub-estação de tração são encontrados:

- um barramento de alta tensão ligado ao sistema primário
- um ou mais grupos de tração que transforma corrente alternada em contínua

- um barramento de envio das correntes de tração a través das linhas de contato

O orgão essencial em uma sub-estação de tração é o que se denomina Grupo de Tração; na verdade é um conjunto constituído por um transformador trifásico abaixador de tensão, e uma máquina ou aparelho que permite converter a corrente trifásica em contínua.

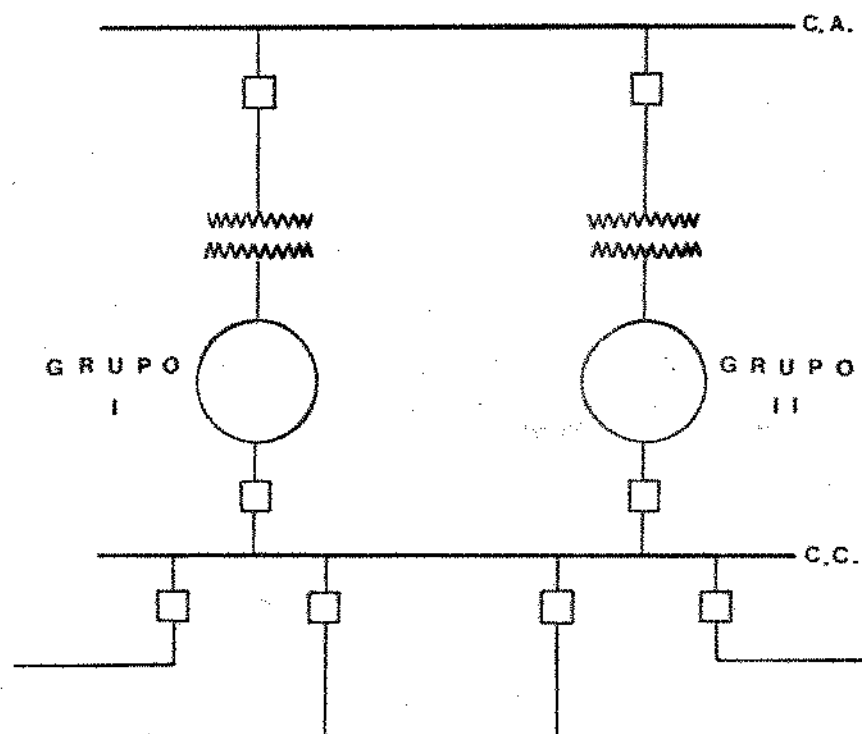


Figura 2.13

2.4.1 - Transformador Abaixador

Os transformadores usados podem ser do tipo refrigerado a óleo, água ou ar. O refrigerado a água tem um tamanho excessivo, por ter a água circulante em uma bobina especial submersa em óleo; o refrigerado a ar é usado para tensões superiores ou igual a 33 kv, apresentando como inconveniente a necessidade de equipamentos auxiliares para seu funcionamento; o transformador refrigerado a óleo é o que melhor se adapta às condições, por ter um custo inferior e ocupar um espaço físico relativamente menor.

Os transformadores podem ser do tipo trifásico ou três unidades mono-fásicos associadas em um

banco; esta associação é sempre preferível para pequenas instalações, pois o custo de manutenção fica bastante reduzido.

Ressalte-se ainda o uso comum de transformadores com quatro derivações de $2\frac{1}{2}\%$ nos enrolamentos de alta, visando eliminar as possíveis diferenças de tensão entre a geração (sistema público) e as diversas sub-estações.

2.4.2 - Grupos Conversores Trifásico-Contínuo

O equipamento conversor C.A. - C.C. mais antigo é o grupo "Motor-Gerador": um motor síncrono trifásico acoplado a um ou dois geradores de corrente contínua. Logo após apareceram as "Comutatrizes", que uniam em uma só máquina um motor síncrono e um gerador de corrente contínua. A seguir, os "Retificadores a Vapor de Mercúrio" substituíram com êxito seus predecessores. Atualmente, com o advento dos semi-condutores, empregam-se os "Retificadores de Silício", que apresentam um ótimo rendimento e são mais versáteis. (12).

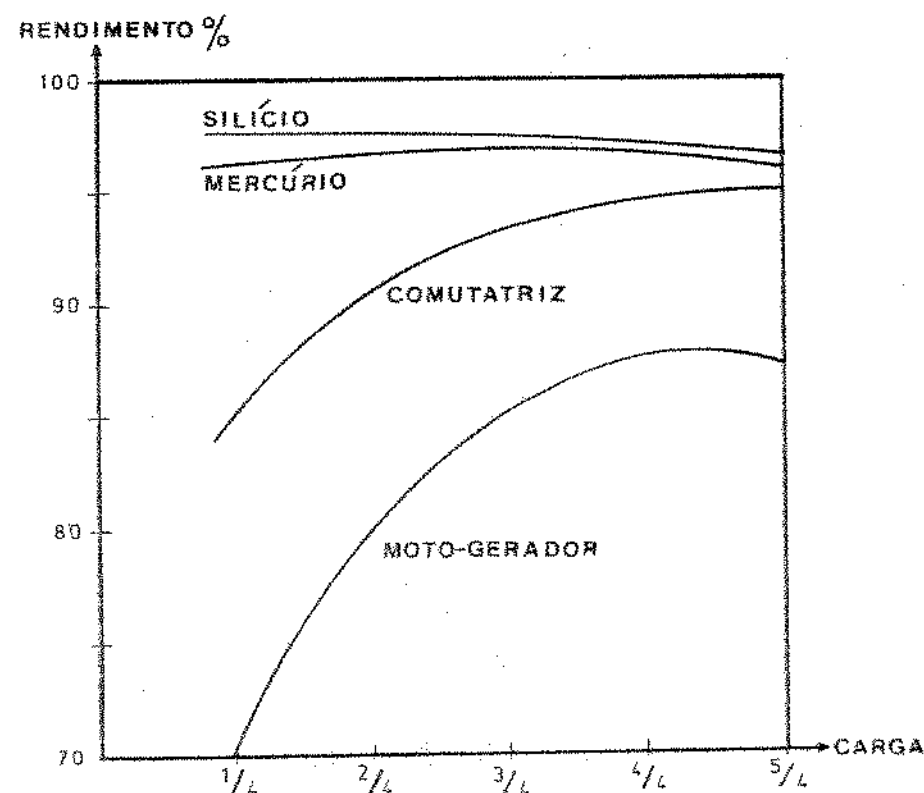


Figura 2.14

2.5 - LOCOMOTIVAS ELÉTRICAS

Durante muitos anos projetaram-se novos tipos de locomotiva, que utilizasse a energia elétrica como fonte básica de alimentação, visando satisfazer as necessidades ferroviárias.

As locomotivas elétricas convencionais em corrente contínua são basicamente construídas com motores C.C. tipo série, e dependendo da utilização a que se destinam podem operar em sistemas eletrificados a 600, 750, 1200, 1500, 2400 ou 3000 volts. Em todos os casos, cada motor deve ser adequadamente isolado para a tensão nominal empregada. Nas tensões mais elevadas dois ou mais motores são operados em série.

Os motores de tração em uma locomotiva elétrica são responsáveis pelas seguintes funções:

- i) partida do trem
- ii) regulação das velocidades
- iii) eventualmente, frenagem elétrica

2.5.1 - Motor de Tração tipo série

Os motores a coletores são ainda hoje universalmente empregados, pois alimentados por tensão contínua regulável pelos enrolamentos de excitação série, se adaptam muito bem às condições de utilização habituais em tração.

As bobinas de excitação série constituídas por vários condutores de larga secção, são robustas, pois para o caso de variações brutais da tensão de linha, como frequentemente ocorre na alimentação em tração, o motor de excitação série responde perfeitamente ao esforço de tração solicitado.

As três equações fundamentais para este tipo de máquina elétrica de corrente contínua são:

$$U = E + rI \quad (2.1)$$

$$E = K_1 N\dot{\varphi} \quad (2.2)$$

$$C = K_2 \dot{\varphi} I \quad (2.3)$$

onde:

- U - tensão de alimentação (volts)
E - força contra eletromotriz do motor (volts)
I - corrente no induzido (ampères)
r - resistência do indutor e induzido (ohms)
 Φ - fluxo por polo (webers)
N - velocidade de rotação (rps)
C - conjugado eletromagnético do motor (joules)
- $K_1 \left. \begin{array}{l} \\ \end{array} \right\}$ constantes da máquina
 $K_2 \left. \begin{array}{l} \\ \end{array} \right\}$

Das equações fundamentais:

$$N = \frac{1}{K_1} \frac{U - rI}{\Phi} \quad (2.4)$$

e

$$C = K_2 \Phi I$$

analisando estas relações consegue-se que a velocidade pode variar em função da carga

i) por efeito da queda ohmica rI

ii) por efeito do fluxo Φ

No motor série, o fluxo Φ depende diretamente da carga, pois súbitas variações nela acarretam sensíveis modificações na velocidade.

2.5.1.1 - Curvas Características do Motor Série

A figura 2.15 representa a característica $E(I)$ da saturação em carga de um motor c.c. tipo série, obtida em ensaios de laboratório para uma determinada velocidade de referência (ver Apêndice C).

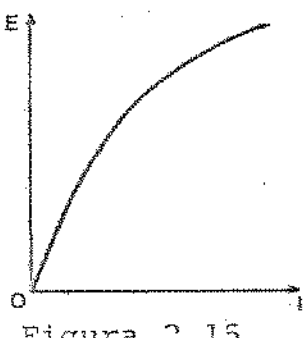


Figura 2.15

Para uma velocidade N_1 de referência, seja $E_1(I)$ a curva característica obtida para esta velocidade.

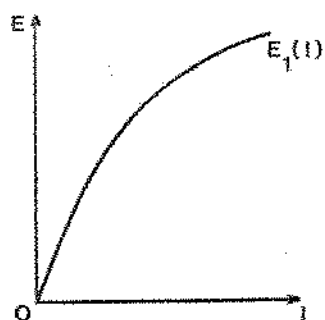


Figura 2.16

Para uma velocidade N qualquer:

$$N = N_1 \frac{U - rI}{E_1(I)} \quad (2.5)$$

Portanto, fixando-se um valor de U , e conhecendo-se a característica $E_1(I)$, obtem-se a função $I(N)$.

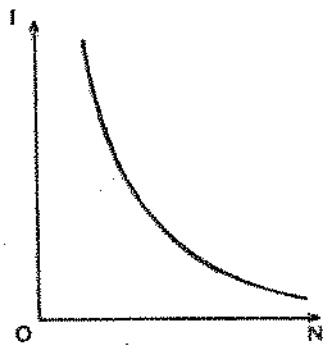


Figura 2.17

Da relação eletro-mecânica $2\pi NC = EI$, obtem-se a equação

$$C = \frac{1}{2\pi} \frac{I \cdot E}{N} \quad (2.6)$$

e a característica $C(I)$ fica então dada por

$$C = \frac{1}{2\pi} \frac{I \cdot E_1(I)}{N_1} \quad (2.7)$$

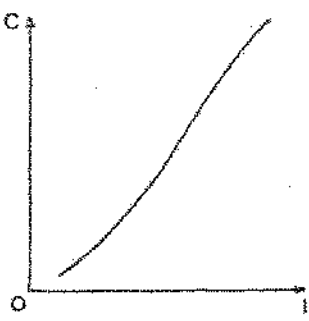


Figura 2.18

Finalmente a função $C(N)$ que se obtém a partir das curvas $I(N)$ e $C(I)$ anteriormente deduzidas, e que representa a característica fundamental do motor para a sua utilização em tração.

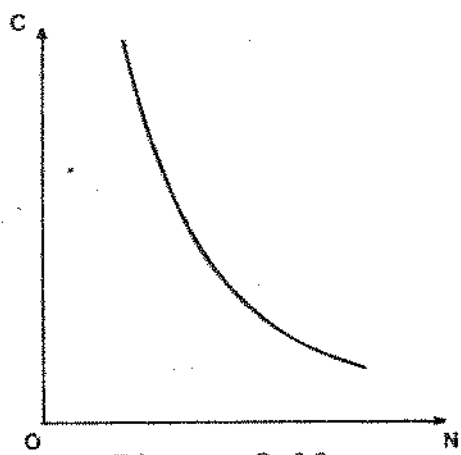


Figura 2.19

2.5.1.2 - Funcionamento do Motor série

A figura 2.20 mostra o esquema fundamental para o funcionamento de um motor a excitação série usado em locomotivas.

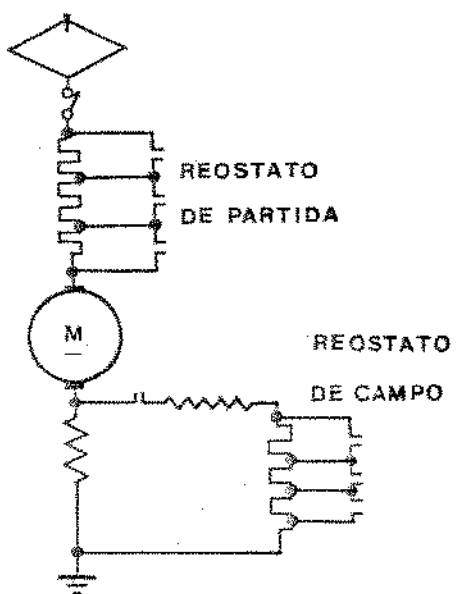


Figura 2.20

Em baixa velocidade, não se pode aplicar toda a tensão de linha aos terminais do motor, pois ele terá uma força contra-eletromotriz insuficiente e provocará uma corrente excessiva.

Conforme se pode constatar do esquema fundamental, deve-se alimentar o motor série por uma tensão que aumente progressivamente durante a partida, até que toda tensão de linha fique aplicada aos seus terminais.

Este esquema tem sido utilizado por mais de meio século nos veículos de corrente contínua, sendo que atualmente estão sendo substituídos por equipamentos eletrônicos, com bases em células de silício ("chopper control").

2.5.2 - Circuito de Potência das Locomotivas

A apresentação inicial de um motor de tração se faz pela sua curva característica $C(N)$; através de uma relação de transmissão, ou seja, uma mudança de coordenadas, se chega à curva característica $F(v)$ da locomotiva.

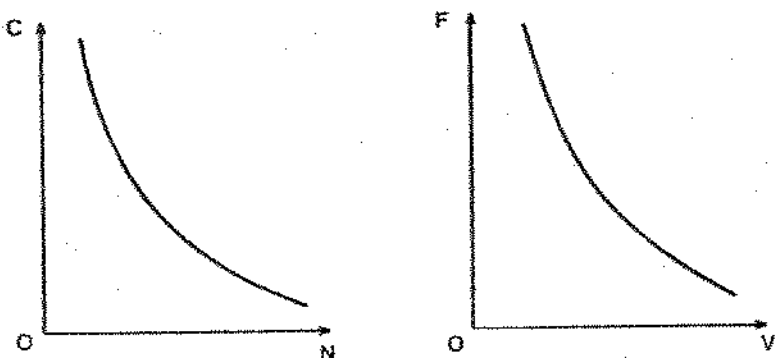


Figura 2.21.

Traçando-se igualmente a curva do esforço resistente do trem sobre um dado perfil, pode-se prever situações diferentes de acordo com a inclinação da via.

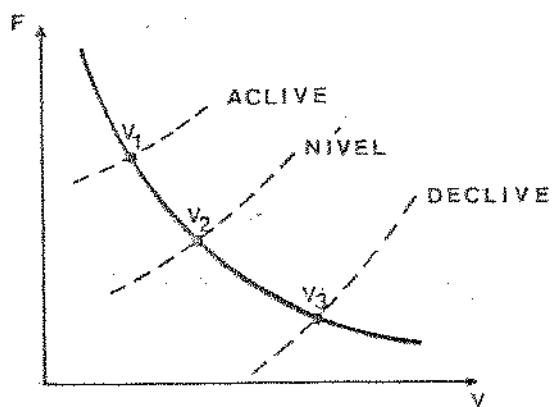


Figura 2.22

Assim, como estas características são únicas, não é possível obter-se a mesma velocidade de equilíbrio para perfis diferentes; daí ser necessário o deslocamento da curva característica para satisfazer as diferentes situações que a via apresenta. Obter estas variações é a função básica do equipamento de tração.

Em corrente contínua, agindo-se sobre a excitação dos motores se consegue os deslocamentos da característica fundamental; entretanto tais deslocamentos são gradativos, não podendo exceder a um certo limite.

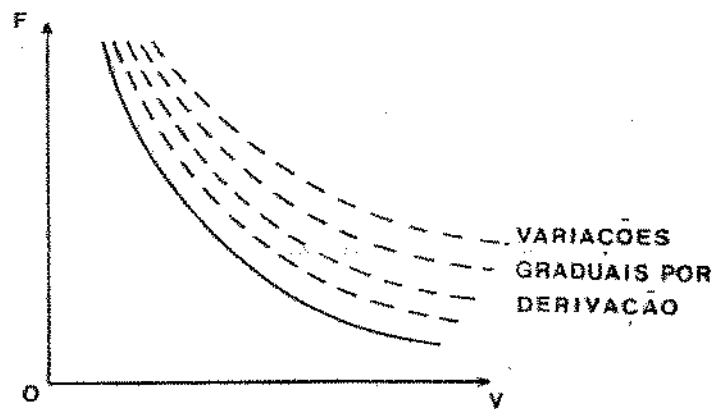


Figura 2.23

Entretanto, o plano $F(V)$ não fica totalmente varrido para satisfazer a todas situações do perfil. O artifício clássico usado consiste em acoplar-se os motores sob tensão total U , em várias combinações possíveis (ver Apêndice C).

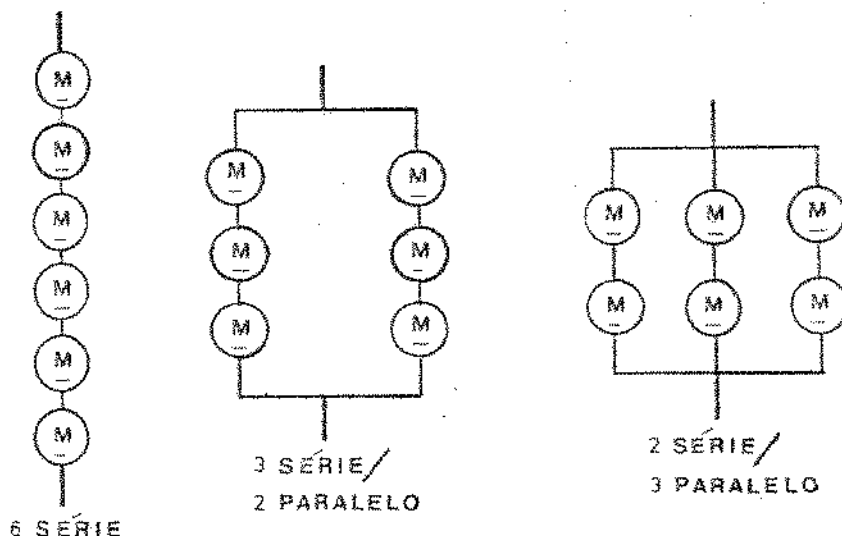


Figura 2.24

também são acionadas pelo equipamento de controle:

- i) ventilação dos motores de tração
- ii) fornecimento do ar comprimido necessário para frenagem hidráulica
- iii) circulação e resfriamento dos transformadores
- iv) iluminação da locomotiva e do trem
- v) proteção contra curto-circuito
- vi) fornecimento de baixa tensão para a alimentação dos circuitos de controle

2.5.3 - Partida e Aceleração de uma Locomotiva

O problema na partida é manter-se a intensidade de corrente absorvida pelo motor a um valor aceitável, ou mesmo igual ao máximo especificado pelo fabricante, para que a locomotiva desenvolva o maior esforço trator possível; em geral a intensidade de corrente fica compreendida entre dois valores I e I' vizinhos, e que correspondem aos valores F e F' do esforço trator.

I - limite por construção do motor

F - limite por aderência

Para $N_1 = 0$ (velocidade zero), resistência R_1 correspondente ao arranque inicial sob corrente I , a equação terminal da máquina fica:

$$U - (r + R_1) I = 0 \quad (2.8)$$

Na situação prática segue-se uma diminuição da corrente I para um valor I' e um aumento da velocidade para N_2 , visto que há o aparecimento da força contra-eletromotriz E .

A atitude seguinte então, é passar-se a uma resistência R_2 ($R_2 < R_1$) para se ter novamente a intensidade I e dispor da mesma força F .

Generalizando este raciocínio sobre uma curva característica $I(N)$:

A cada acoplamento dos motores corresponde uma característica $F(V)$ diferente, e outras variações devido a derivação.

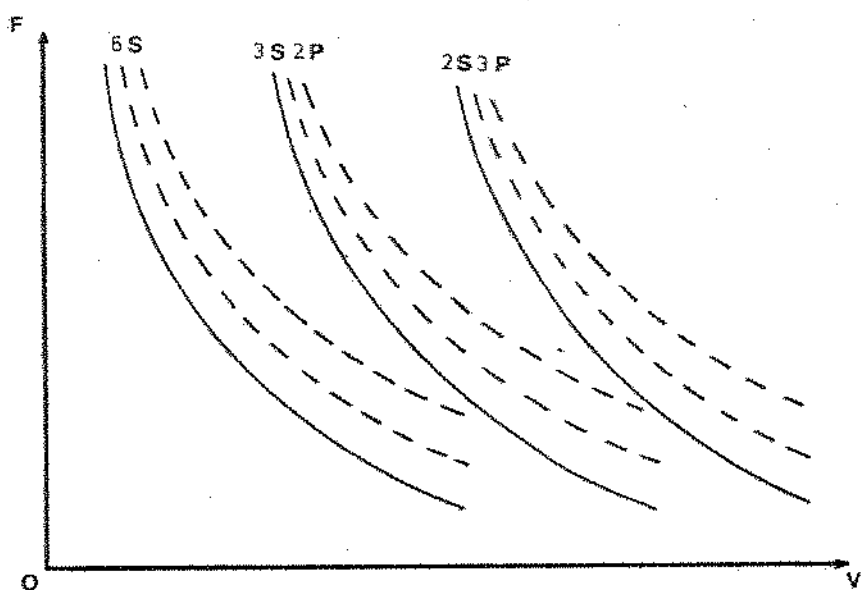


Figura 2.25

Assim, dependendo do número de motores e consequentes acoplamentos, consegue-se preencher grande parte do plano $F(V)$, restando apenas o espaço com preendido até o 1º acoplamento e a velocidade zero, ou seja, a partida.

O problema é resolvido, inserindo-se um reostato de partida, pois se os motores fossem alimentados sob tensão total para iniciar a marcha do trem, haveria uma solicitação tão violenta que os motores não suportariam.

Finalmente deve-se ressaltar o fato de algumas locomotivas disporem no seu circuito de potência, da frenagem elétrica:

- i) frenagem reostática, se os motores funcionando como geradores, descarregam sobre um banco de resistências colocado a bordo.
- ii) frenagem por recuperação, se os motores funcionando como geradores, devolvem energia para a rede elétrica.

Além disso, dentro de uma locomotiva existem máquinas para executar funções auxiliares, e que

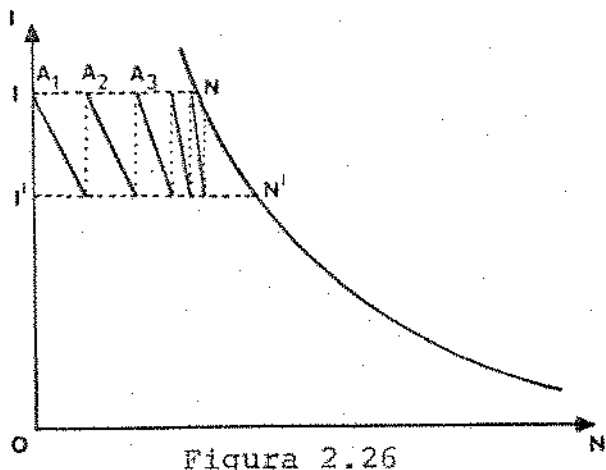


Figura 2.26

Equacionando este desenvolvimento e considerando que para uma resistência externa R_i e uma dada corrente I :

$$E_i(I) = \frac{N_i}{N} E(I) \quad (2.9)$$

obtem-se para qualquer ponto A_i :

$$U - (r + R_i)I = \frac{N_i}{N} (U - rI) \quad (2.10)$$

Transladando para o plano $F(V)$:

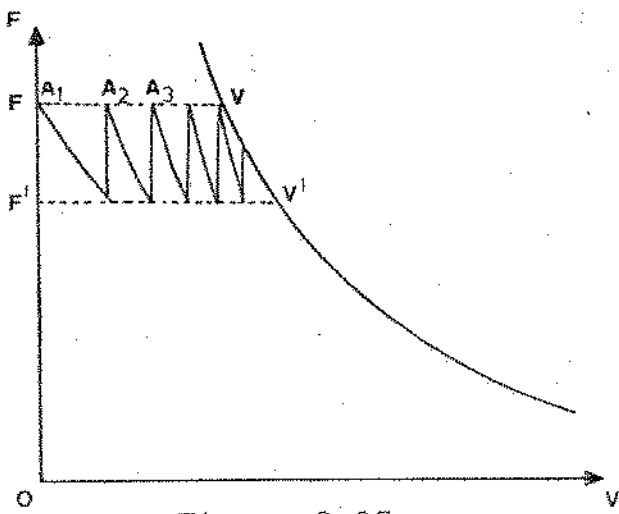


Figura 2.27

Portanto até esta fase do raciocínio, o trem já se encontra em movimento, sendo que os motores da locomotiva estão a campo pleno.

A etapa seguinte compreende a redução do campo para aumentar a zona de atuação no plano $F(V)$. Esta diminuição se processa gradualmente, até que a

condição de campo mínimo indique a mudança na combinação dos motores. Para se passar de uma combinação a outra, faz-se necessário reinserir resistências no circuito dos motores, pois caso contrário haverá uma solicitação inadmissível de corrente.

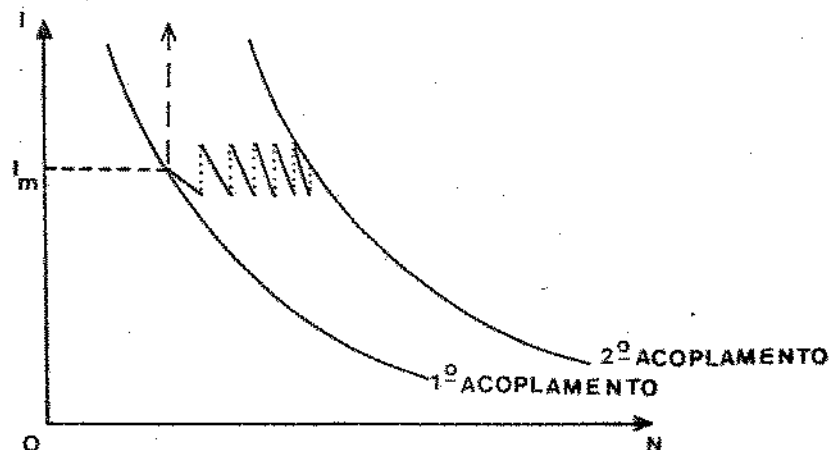


Figura 2.28

Transpondo para o plano $F(V)$, verifica - se que a condição desejável é a de se passar pela transição procurando conservar o esforço trator próximo ao solicitado, sem violar as restrições de corrente.

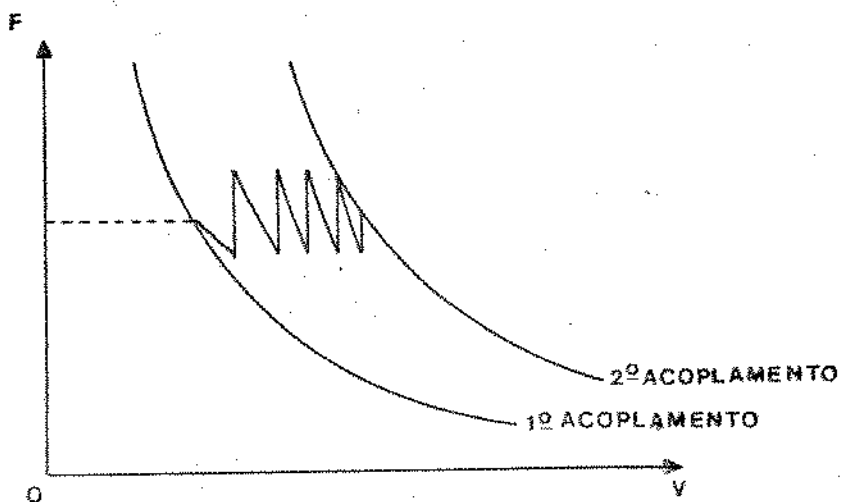


Figura 2.29

E assim toda a fase da aceleração de um trem é desenvolvida, sendo característica de cada fabricante, o modo com que estas operações são efetuadas.

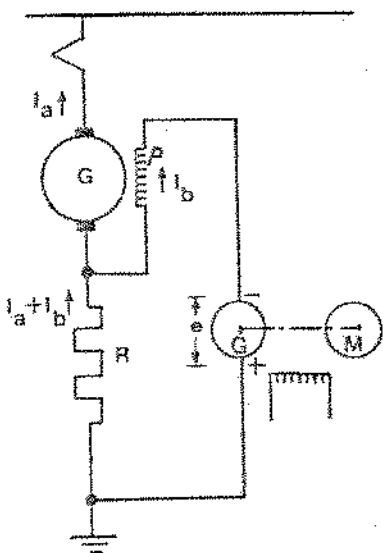
2.5.4 - Frenagem Regenerativa de uma Locomotiva

A frenagem regenerativa ou recuperação, é um processo de frenagem onde ocorre uma conversão de energia mecânica em elétrica, que é devolvida à rede. Este

processo é necessário, pois a frenagem por atrito em velocidades superiores a 50 km/h provoca danos nos rolos e reduz consideravelmente a vida das rodas, provocando a fadiga térmica. A frenagem regenerativa na realidade é uma desaceleração eletromecânica com controle de energia, pois os motores de tração trabalhando como geradores, provocam nas rodas da locomotiva um conjugado resistente que se opõe ao movimento da composição, desacelerando desta forma o conjunto.

Na frenagem regenerativa o circuito de potência da locomotiva é arranjado de tal forma que os motores de tração passam a operar como geradores de excitação independente, excitação esta suprida por um grupo motor gerador (conhecido por GMG), composto de um motor de 3000 volts C.C. e um gerador de 75 ou 150 volts, cujas armaduras ou rotores ficam vinculados a um mesmo eixo.

Para uma velocidade do trem, E será constante; como U pode sofrer sensíveis variações, a corrente recuperada que é proporcional a $E - U$, fica também sujeita a tais variações (idêntico raciocínio se aplica à força F). Portanto, é preciso um Sistema de Estabilização da corrente, para assegurar um esforço de frenagem independente das variações da tensão de linha. Na prática, várias soluções podem ser adaptadas para este sistema, sendo uma das mais usadas a Resistência de Estabilização.



$$e = R(I_a + I_b) + \phi I_b \quad (2.11)$$

$$I_b = \frac{e - RI_a}{R + \rho} \quad (2.12)$$

Figura 2.30

Uma variação da corrente recuperada I_a causa uma variação em sentido contrário da corrente de excitação I_b .

O uso da Recuperação em locomotivas elétricas, operando em linhas duplas, além da função de desacelerar a composição, pode fornecer energia a outra locomotiva que se desloque em sentido contrário, ou mesmo devolver energia para o sistema primário.

2.5.4.1 - Características F(V) de Frenagem Regenerativa

Baseando-se no fato de que I_b diminui quando I_a aumenta, pode-se traçar ponto a ponto a característica efetiva $F(V)$. Tal curva característica (conhecida como Curva Envelope de Frenagem), é formada pelo acoplamento de duas famílias de curvas teóricas $F(V)$, correspondentes respectivamente a :

$$I_b = \text{constante} \quad e$$

$$I_a = \text{constante}$$

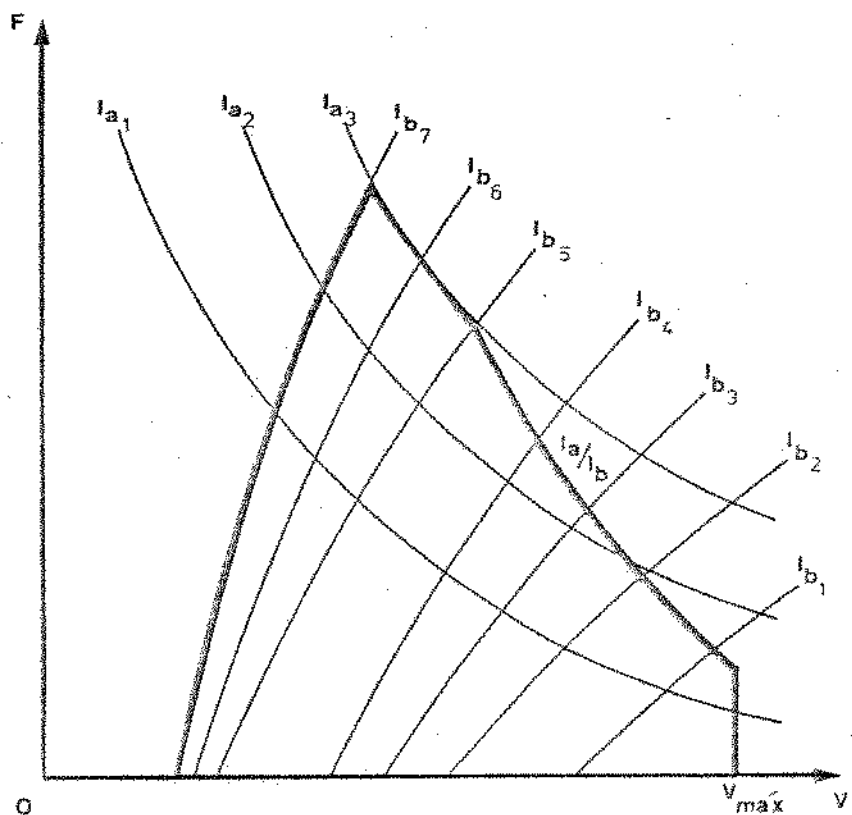


Figura 2.31

Entretanto, conforme se pode constatar da figura 2.31, o domínio utilizável é limitado por:

- velocidade máxima
- intensidade I_b máxima no indutor
- intensidade I_a máxima no induzido
- valor máximo da relação $\frac{I_a}{I_b}$ compatível com uma boa comutação

Da mesma forma que a tração, é possível acoplar-se os motores em algumas combinações, aumentando-se assim a região útil do plano $F(V)$ para a frenagem (ver Apêndice C).

CAPÍTULO III

3 - A SIMULAÇÃO DO SISTEMA FERROVIÁRIO

Neste capítulo será mostrado o algoritmo básico, relacionando o esquema operacional ao elétrico, para a simulação do sistema ferroviário.

3.1 - DIAGRAMA DE BLOCOS

O diagrama de blocos a seguir, representa o algoritmo básico para a simulação do sistema ferroviário.

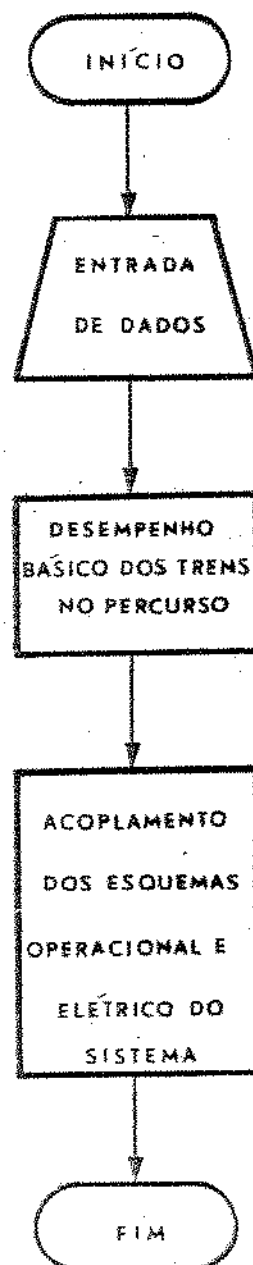


Figura 3,1

Na realidade, este diagrama pode ser aberto em blocos mais detalhados para uma idéia mais clara do método, o que será feito nos itens seguintes.

3.2 - ENTRADA DE DADOS

Esta fase do algoritmo comprehende as entradas relativas aos esquemas operacional e elétrico do sistema.

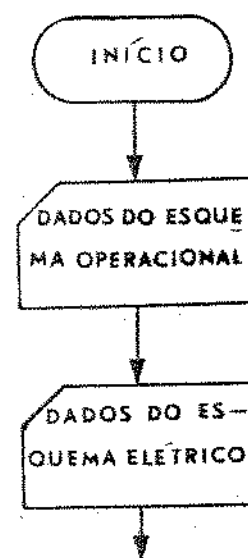


Figura 3.2

DADOS RELATIVOS AO ESQUEMA OPERACIONAL:

- i) hora inicial da simulação
- ii) tempo de simulação
- iii) incremento de tempo
- vi) número de despachos
- v) horário dos despachos
- vi) nome do trem
- vii) sentido da viagem
- viii) quilometro inicial
- ix) distância a ser percorrida
- x) tipo de trem
- xi) tipo de percurso
- xii) espaçamento mínimo entre trens consecutivos

DADOS RELATIVOS AO ESQUEMA ELÉTRICO:

- i) número de sub-estações
- ii) tipo de retificadores
- iii) tipo de transformadores
- iv) potência nominal
- v) relações AT/BT
- vi) impedância
- vii) tipo de ligações e aterramento
- viii) regulações para tração e recuperação
- ix) distâncias desde o marco zero
- x) especificações para convergência e tolerância
- xi) impedância série entre sub-estações adjacentes

3.3 - DESEMPENHO BÁSICO DOS TRENS NO PERCURSO

Esta fase do algoritmo executa o desempenho básico dos trens no perfil compensado, sujeito às restrições de velocidade impostas pelas características da via.

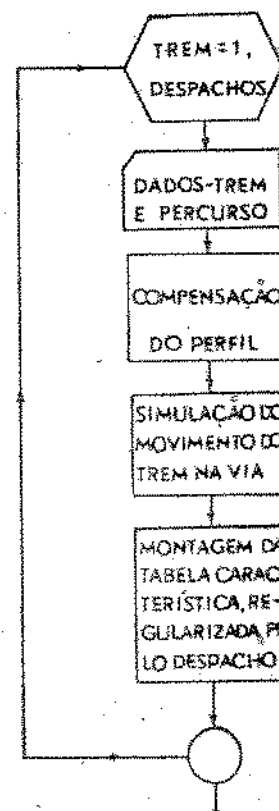


Figura 3.3

Conhecidas as características de cada trem e o tipo de percurso a ser percorrido, há a necessidade de se compensar adequadamente o perfil, para representar a via de forma a proximada. O modo de se realizar esta compensação será explicado com detalhes no capítulo IV.

Dispondo do perfil compensado e dos limites de velocidade para cada trecho discretizado, realiza-se individualmente o movimento dos trens, obtendo-se as especificações de velocidade, tempo, distância, força e modo de operação, conforme mostra a figura 3.4. As explicações para o método do desempenho básico do trem, serão elucidados com detalhes no capítulo IV.

V.INICIAL	V.FINAL	F.INICIAL	F.FINAL	TEMPO	KM.	MODO
0.00	52.42	0.00	19500.00	.010	1.499	1
57.42	66.42	19500.00	6388.68	.027	1.997	5
66.42	68.32	6388.68	5772.57	.035	2.496	5
68.32	71.17	5772.57	8227.96	.042	2.994	6
71.12	74.52	8227.96	7232.98	.049	3.493	6
74.52	76.52	7232.98	6704.88	.055	3.991	6
76.52	77.82	6704.88	6382.47	.062	4.490	6
77.82	79.52	6382.47	7609.30	.068	4.988	7
79.52	81.32	7609.30	6918.14	.074	5.487	7
81.32	84.72	6918.14	11016.72	.080	5.986	8
84.72	89.02	11016.72	9397.13	.086	6.484	8
89.02	90.00	9397.13	3427.60	.091	6.983	6
90.00	90.00	3427.60	6453.89	.097	7.481	7
90.00	90.00	6453.89	6453.89	.102	7.980	7
90.00	90.00	6453.89	8088.84	.108	8.478	8
90.00	81.44	8088.84	0.00	.114	8.977	0
81.44	78.17	0.00	11132.18	9.476		8
78.17	81.57	11132.18				8
81.77	84.47	125				8

Figura 3.4

Obtidas todas as especificações, a etapa seguinte consiste em formar tabelas características para cada trem, regularizadas pelos respectivos horários de despacho.

3.4 - ACOPLAMENTO DO ESQUEMA OPERACIONAL AO ESQUEMA ELÉTRICO DO SISTEMA

Esta fase do algoritmo acopla todo esquema operacional apresentado, às características elétricas do sistema, constituindo a parte vital da simulação. O diagrama de blocos a seguir ilustra todo o procedimento.

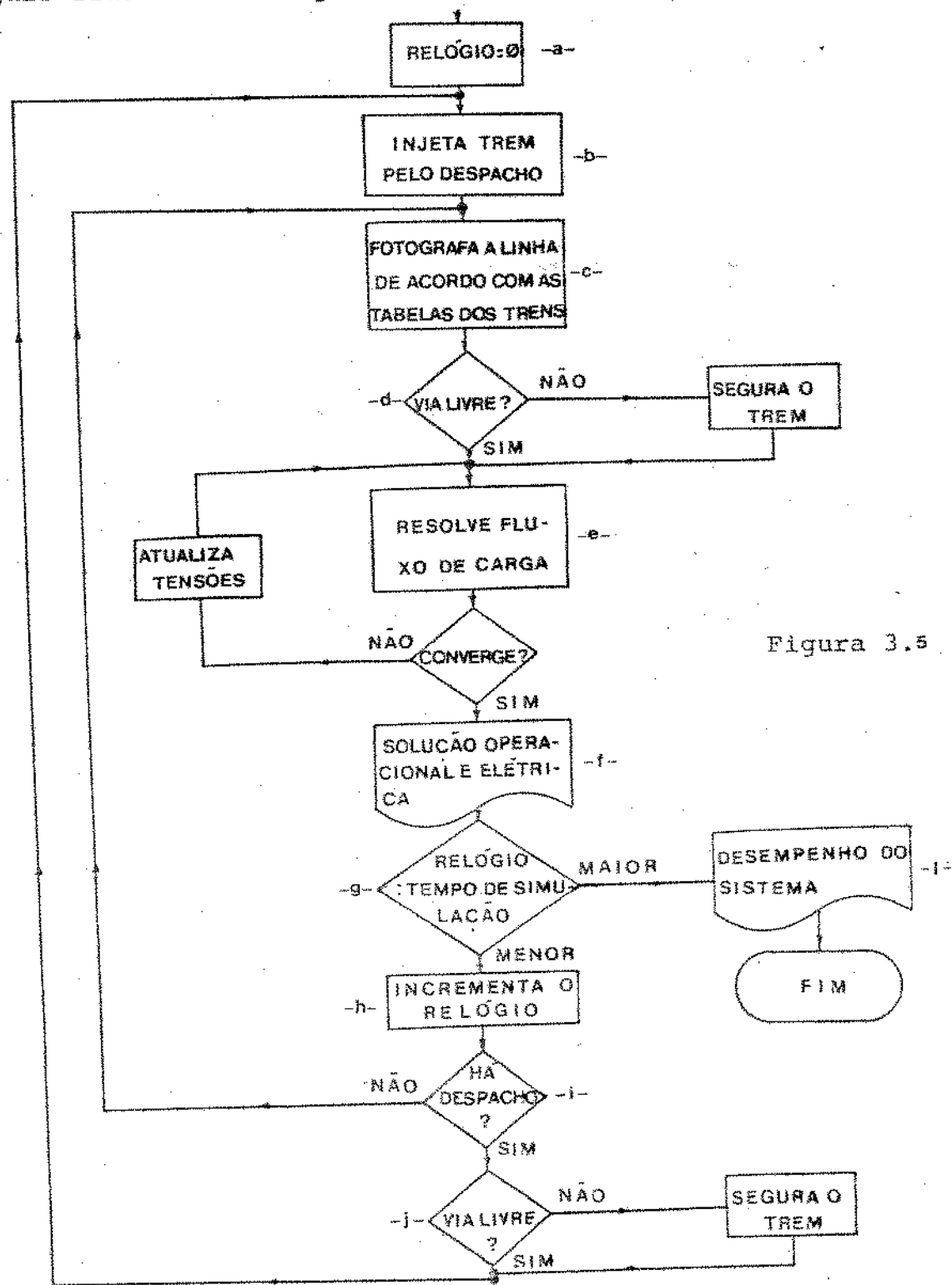


Figura 3.5

3.4.1 - A Lógica da Movimentação dos Trens

- (a) Inicialmente evidencia-se a necessidade de um relógio para o controle do tempo de simulação. Desta forma, a movimentação e os despachos dos trens, serão controlados por esta variável.
- (b) Este bloco comanda as injeções dos trens de acordo com os horários de despacho, pré - fixados pelos dados de entrada.
- (c) A seguir, uma sub-rotina fotografa a linha comparando o relógio de simulação com os tempos especificados nas tabelas características dos trens. Destas tabelas obtém-se as informações relativas de distância, velocidade e modo de operação para cada trem que estiver no sistema.
- (d) Entretanto não se pode assegurar a validade destes valores, sem que uma rotina de verificação de via livre seja satisfeita. Esta condição é necessária uma vez que a linha pode ser singela, e a sua liberação somente é verificada se não houver nenhum trem entre estações consecutivas. Se o trecho estiver ocupado, a rotina altera a tabela dos tempos até que a condição de via livre seja satisfeita.
- (e) Obtida a validade dos valores do bloco (c), uma outra sub-rotina fornece de acordo com os modos de operação, velocidades e tensões, as correntes absorvidas ou regeneradas pelos trens. Com estes valores, recorre-se a um outro algoritmo que calcula as quedas de tensão nos elementos eletricamente ativos do sistema.

Se entre passos consecutivos não se atingir a tolerância especificada para a convergência, atualiza-se as tensões e o procedimento deste item é reiniciado até que a convergência seja alcançada. No capítulo V será explicado teoricamente todo o desenvolvimento do processo. Prevê-se ainda algumas situações especiais para os casos de restrições de tensão mínima, tensão máxima, correntes de tração e recuperação.

ração nas sub-estações, aderência e sobrecorrentes nos motores de tração.

(f) Determinados os parâmetros básicos do sistema ferroviário, são impressas as soluções operacionais e elétricas do sistema, para o instante considerado.

(g) A seguir, um teste comparativo com o tempo de simulação é realizado, para se verificar o final da execução.

(h) Se o relógio não atingir o tempo de simulação especificado, o algoritmo incrementa-o para um instante seguinte.

(i) Para este novo instante, há necessidade da verificação de um novo despacho. Caso não ocorra, o processo retorna ao item (c) normalmente.

(j) Mas se o relógio indicar uma nova saída de trens, outra sub-rotina de liberação da via precisa ser testada. Se o trecho estiver ocupado, os tempos da tabela característica serão incrementados com esperas, até que seja possível o despacho do trem. Sendo permitida a saída, o algoritmo retorna ao item (b) para continuar a execução.

(l) Este bloco final é alcançado quando o tempo de simulação estiver esgotado, e então o algoritmo relata saídas sobre o desempenho operacional e elétrico do sistema.

CAPÍTULO IV

4 - A SIMULAÇÃO ELETRO-MECÂNICA

Neste capítulo será desenvolvida a simulação eletro-mecânica do movimento do trem, a partir de pré-simuladores do perfil da via, do equipamento elétrico e do material rodante.

4.1 - CARACTERÍSTICAS DO MATERIAL RODANTE E DO EQUIPAMENTO ELÉTRICO

A programação de uma viagem inicia-se com a definição do tipo ou padrão do material rodante, visando satisfazer as condições impostas pela viabilidade econômica e pelos requisitos de tráfego. Portanto, é necessário saber as características de todos os elementos que formarão a composição que circulará na viagem. Conhecendo-se o peso a ser rebocado, o tempo estipulado origem/destino, a velocidade comercial e as condições plani-altimétricas do percurso, seleciona-se adequadamente o elemento trator com o seu respectivo equipamento elétrico, necessário para vencer todas as situações apresentadas durante a viagem.

4.1.1 - Material Rodante

Como foi frisado anteriormente, o material rodante deve obedecer às condições impostas pela viagem. Para o caso, será uma composição ferroviária de grandes distâncias, com um número especificado de vagões (carga) ou carros (passageiros). Portanto, sabendo-se quais e quantos elementos formarão o trem, torna-se necessário conhecer as características dos elementos rebocados, para se especificar o elemento trator:

- i) peso de cada tipo de carro/vagão
- ii) número de truques, ou eixos, por carro/vagão
- iii) área frontal de cada tipo de carro/vagão
- iv) comprimento de cada tipo de carro/vagão
- v) número de carros/vagões

Desta forma, o tipo e peso a ser rebocado fica determinado, faltando apenas a escolha da locomotiva; então

- i) peso total

- ii) peso aderente
- iii) número de eixos ou truques motores
- iv) disposição dos eixos
- v) área frontal
- vi) comprimento

definem as características básicas da locomotiva, como elemento do material rodante.

4.1.2 - Equipamento Elétrico

Para esta simulação, a principal característica do equipamento elétrico consiste da curva C(N), ou efetivamente F(V), fixada uma certa tensão de linha (U). Utilizando-se a curva fornecida pelo fabricante da locomotiva, ou mesmo a curva de saturação do motor (ver Apêndice C), adequa-se uma equação matemática pré-fixada à tais características (ver Apêndice B).

4.2 - CARACTERÍSTICAS DOS PERFIS

Dentro das idéias que compõe esta simulação, as características da via, influenciam decisivamente no comportamento eletro-mecânico do trem. Como a representação do perfil em sua totalidade é impossível, torna-se necessário representá-lo discretizado, usando-se para isto uma divisão em trechos conforme a situação real se apresente. Estes trechos deverão compreender as estações ou marcos existentes na via, caracterizando os possíveis pontos de parada ou as diferenças de cotas.

DADOS INICIAIS DE CADA TRECHO:

- i) estação ou marco
- ii) quilometro
- iii) altitude
- iv) velocidade
- v) se é ou não ponto de parada
- vi) tempo de parada

DADOS CARACTERÍSTICOS DO TRECHO:

- i) quilometro inicial
- ii) quilometro final
- iii) altitude inicial
- iv) altitude final
- v) velocidade máxima
- vi) quilometros em que se encontram as curvas
- vii) raios e ângulos das curvas
- viii) velocidade máxima nas curvas
- ix) restrições de velocidade para túneis, portes e obras
- x) quilometro inicial
- xi) quilometro final

Com todos estes ítems, pode-se ter uma idéia, discretizada, do perfil da via.

4.3 - ACOPLAGEMTO DINÂMICO DO TREM COM A VIA

Desde o instante em que um trem inicia seu movimento, fica sujeito a forças que se opõe a seu desenvolvimento. O esforço resistente a um comboio (locomotiva + material rebocado) pode ser decomposto em:

- resistências que no perfil se opõe ao movimento do trem (resistência ao avanço)
- resistências suplementares devido às curvas
- resistências devido à gravidade (positivas em rampas ascendentes, negativas nas descendentes)

4.3.1 - Resistência ao avanço

Os diversos tipos de resistência que se opõe ao movimento, podem ser separadas em duas categorias que não obedecem às mesmas leis de variação, em função da velocidade:

- i) resistências devido ao rolamento e a todo atrito mecânico que acompanha

panha o movimento do trem (dependem das características do material rodante: cargas por eixo, número de eixos, tipo de truque, etc.).

ii) resistência aerodinâmica sobre a superfície frontal e o atrito nas faces laterais (uma função quadrática da velocidade).

4.3.2 - Resistência devido às curvas

Admite-se (3) para todos os tipos de material rodante, uma resistência específica de:

$$r_c = \frac{500 \times b}{r} \quad (\text{kg/ton}) \quad (4.1)$$

onde b - bitola em metros

r - raio em metros

4.3.3 - Resistência devido à gravidade

Um trem sujeito à ação da gravidade, tem sua componente na direção do movimento da da por:

$$w_h = \frac{W \cdot i}{1000} \quad (\text{ton.}) \quad (4.2)$$

onde i - inclinação em °/oo

Portanto a resistência específica à gravidade:

$$r_g = i \quad (\text{kg/ton}) \quad (4.3)$$

4.4 - A EQUAÇÃO DINÂMICA

A energia total fornecida a um trem elétrico para sua propulsão pode ser dividida em partes:

- i) acelerar o trem em uma direção horizontal
- ii) acelerar as partes rotativas
- iii) realizar trabalho contra a gravidade
- iv) realizar trabalho contra as resistências ao movimento
- v) suprir as perdas nos motores e equipamentos elétricos

Para pequenas distâncias em nível a grandes velocidades, a energia necessária para aceleração forma a grande porcentagem da energia total para a propulsão. Por outro lado, para grandes distâncias em nível a grandes velocidades, a energia necessária para vencer as resistências ao movimento pode ser considerada maior que a necessária para a aceleração. A determinação de energia necessária para aceleração e também para os outros itens acima (exceto as perdas no motor), envolvem apenas as leis elementares da dinâmica. O trabalho realizado durante o período de aceleração uniforme desde o repouso, o trabalho contra a gravidade e a energia gasta para vencer as resistências ao movimento, podem ser todos diretamente determinados de simples expressões quando fatores variáveis não estão envolvidos. Mas com aceleração e resistências ao movimento variáveis, os trabalhos realizados devem ser calculados por um método ponto a ponto, isto é, através de uma integração numérica.

4.4.1 - As Equações do Movimento

Considere-se um conjunto de N trens movimentando-se em um determinado perfil. Seja k ($k = 1, 2, \dots, N$) o índice descriptivo de uma composição qualquer na via. Define-se então:

$x_k(t)$ - a posição do k-ésimo trem no instante t .

$y_k(t)$ - a velocidade do k-ésimo trem no instante t .

$f_k(t)$ - força aplicada ao k-ésimo trem no instante t .

m_k - a massa (suposta constante) do k-ésimo trem.

$g_k[y_k(t)]$ - a força resistente ao avanço, atuando sobre o k-ésimo trem no instante t.

$h_k[x_k(t)]$ - a força resistente (ou acelerante) devido ao perfil, atuando sobre o k-ésimo trem no instante t.

Usando esta notação, o movimento de um trem k qualquer pode ser descrito pelo sistema de equações diferenciais:

$$\frac{d}{dt} \left[x_k(t) \right] = y_k(t) \quad (4.4)$$

$$m_k \cdot \frac{d}{dt} \left[y_k(t) \right] = -g_k \left[y_k(t) \right] - h_k \left[x_k(t) \right] + f_k(t) \quad (4.5)$$

para $k = 1, 2, \dots, N$

4.4.2 - A Solução Numérica (10)

O sistema de equações diferenciais formado por (4.4) e (4.5), pode também ser descrito por:

$$\frac{d \left[y_k(t) \right]}{d \left[x_k(t) \right]} = \frac{1}{m_k \cdot y_k(t)} \left\{ -g_k \left[y_k(t) \right] - h_k \left[x_k(t) \right] + f_k(t) \right\} \quad (4.6)$$

para $k = 1, 2, \dots, N$

que representa uma equação diferencial de primeira ordem, e que pode ser resolvida usando-se qualquer método numérico conhecido.

Utilizando-se o método Runge - Kutta de segunda ordem:

$$y_k(t + \Delta t) = y_k(t) + \frac{1}{2} (K_1 + K_2) \quad (4.7)$$

$$k = 1, 2, \dots, N$$

onde

$$K_1 = S \cdot \frac{1}{m_k \cdot y_k(t)} \cdot \left\{ -g_k[y_k(t)] - h_k[x_k(t)] + f_k(t) \right\} \quad (4.8)$$

$$K_2 = S \cdot \frac{1}{m_k \cdot [y_k(t) + K_1]} \cdot \left\{ -g_k[y_k(t) + K_1] - h_k[x_k(t) + S] + f_k(t) \right\} \quad (4.9)$$

S - incremento no espaço (mesmo valor que a discretização imposta no ítem 4.2).

Desenvolvendo-se o método passo a passo:

i) Partindo-se com os valores iniciais de

$$x_k^i, y_k^i \text{ e } t^i;$$

$$k = 1, 2, \dots, N$$

ii) a próxima posição dos trens:

$$x_k^{(i+1)} = x_k^i + s ; \quad (4.10)$$

$$k = 1, 2, \dots, N$$

iii) as velocidades obtidas de (4.7):

$$y_k^{(i+1)} = y_k^i + \frac{1}{2} (K_1 + K_2) ; \\ k = 1, 2, \dots, N \quad (4.11)$$

iv) e os tempos necessários para alcançar as novas posições:

$$\Delta t_k = \frac{2.s}{y_k^i + y_k^{(i+1)}} ; \quad (4.12)$$

$$k = 1, 2, \dots, N$$

$$t_k^{(i+1)} = t_k^i + \Delta t_k ; \quad (4.13)$$

$$k = 1, 2, \dots, N$$

4.4.3 - A Função Velocidade-Deslocamento

Supondo-se um trem qualquer deslocando-se entre duas estações A e B, consecutivas, e separadas por uma distância L :

1 - Partindo-se da estação A : $x_k^1 = y_k^1 = t_k^1 = 0$

Usando-se o método determinam-se os valores x_k^i , y_k^i , t_k^i para o trem se movendo no sentido da próxima estação B (Runge - Kutta "forward").

2 - Partindo-se da estação B : $x_k^{1*} = L$, $y_k^{1*} = 0$

e $t_k^{1*} = T$ (tempo especificado para a viagem).

Usando-se o método determinam-se os valores x_k^{j*} , y_k^{j*} , t_k^{j*} para o trem se movendo no sentido contrário, ou seja, com os freios aplicados (Runge-Kutta "backward").

3 - Calculando-se os dois conjuntos de valores x_k^i , y_k^i , t_k^i e x_k^{j*} , y_k^{j*} , t_k^{j*} simultaneamente, determina-se o ponto de intersecção das curvas quando:

$$x_k^m > x_k^{n*}$$

$$y_k \left[x_k^{n*} \right] > y_k^{n*}$$

$$y_k \left[x_k^{(n-1)*} \right] < y_k^{(n-1)*}$$

4 - Como eventualmente frenagem elétrica, frenagem aerodinâmica e restrições de velocidade podem ser utilizadas, uma outra rotina "backward" se desenvolve paralelamente ao processo para satisfazer estas condições.

5 - Terminados todos os passos do algoritmo, obtém-se para cada secção entre estações, e para cada trem, um conjunto de valores característicos (ver apêndice D).

A figura 4.1 mostra as curvas características velocidade-tempo e deslocamento-tempo entre duas estações consecutivas, para um determinado trem:

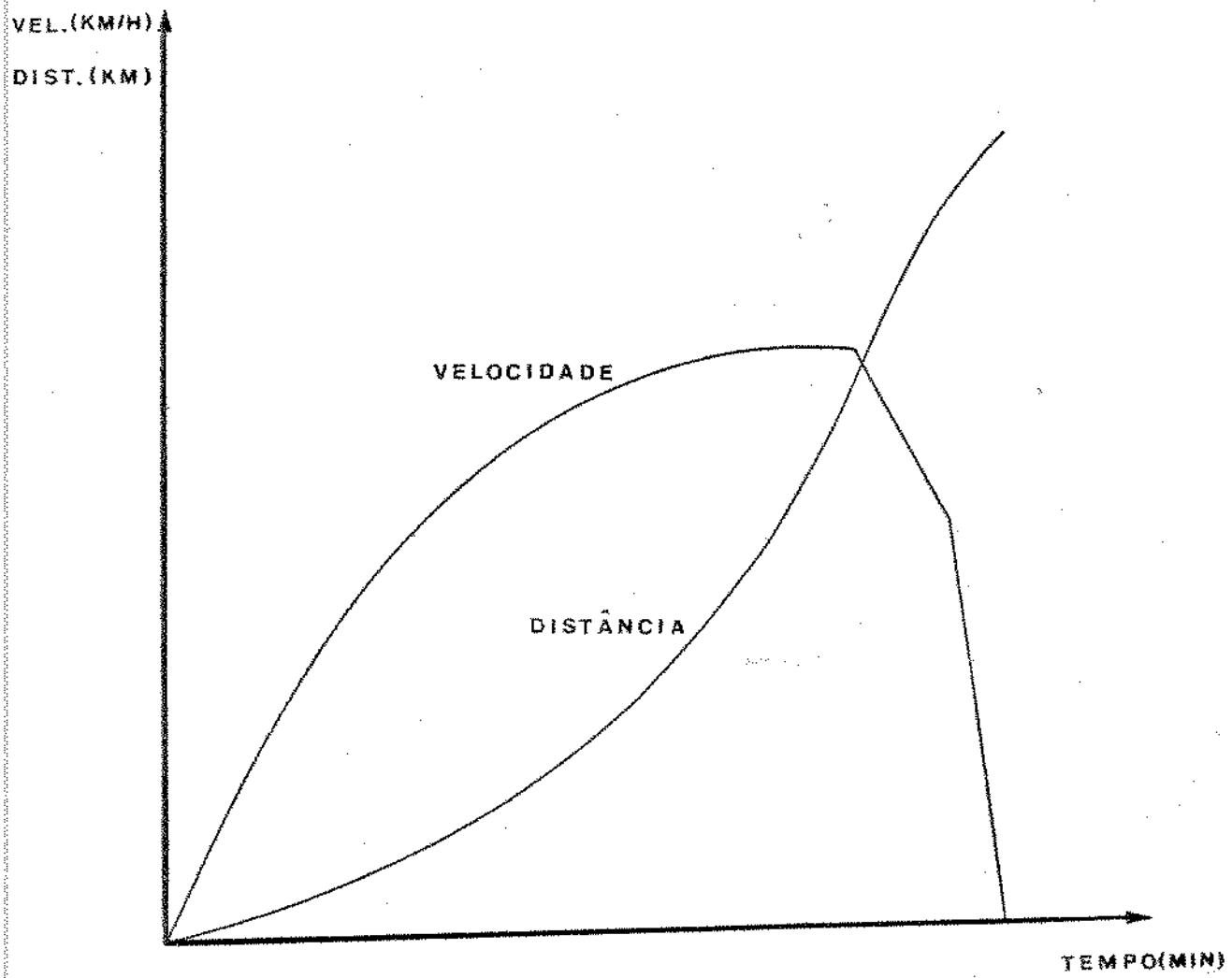


Figura 4.1

CAPÍTULO V

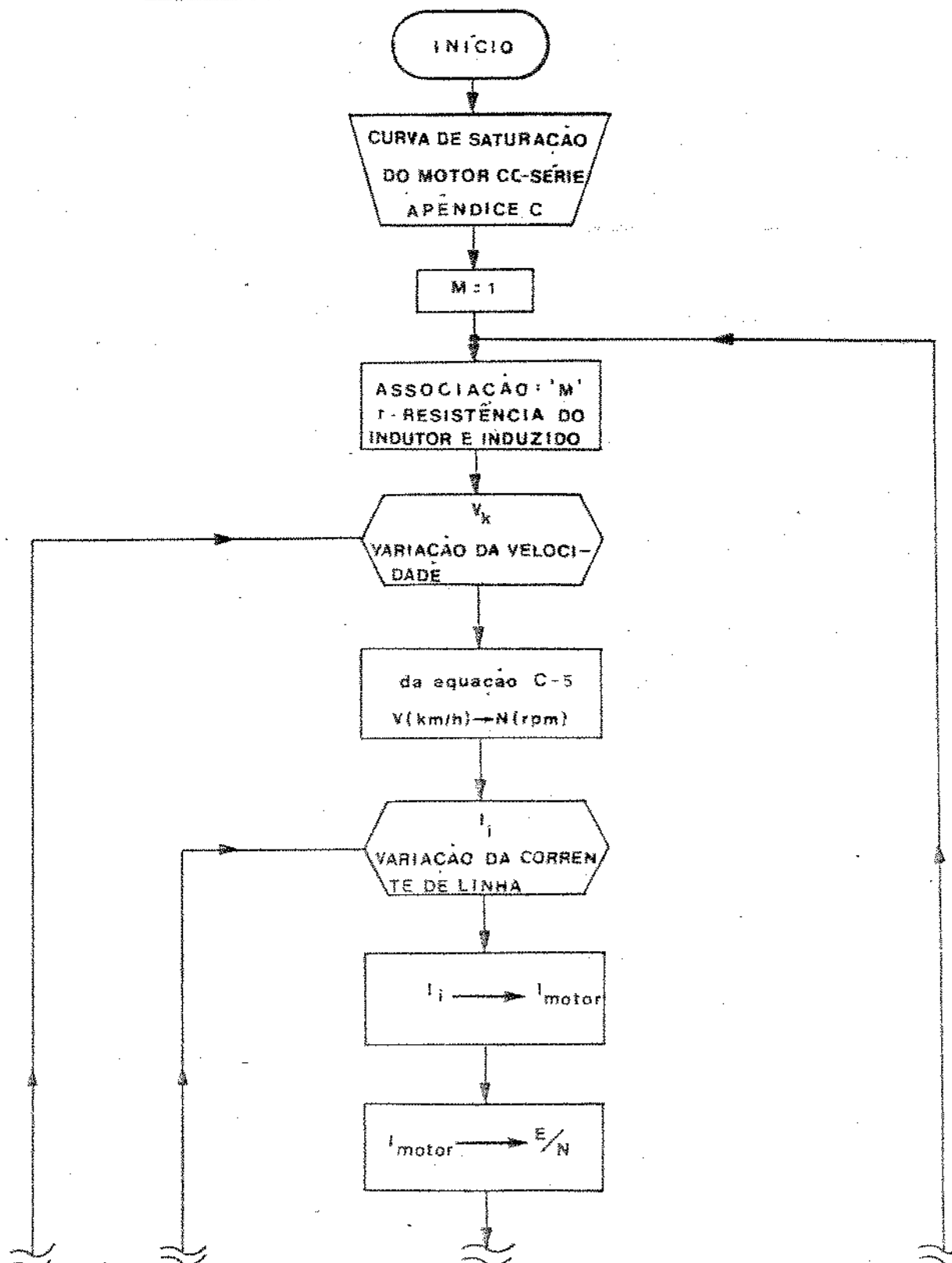
5 - O FLUXO DE CARGA

Neste Capítulo será mostrado o algoritmo básico para o cálculo do fluxo de carga, relacionando as equações terminais da locomotiva com as equações do sistema eletrificado, através de um método iterativo Newton-Raphson.

5.1 - A EQUAÇÃO TERMINAL DA LOCOMOTIVA

Uma locomotiva equipada com motores C.C. tipo série, pode ser representada por uma equação terminal que reuna as características de utilização dos motores. Na realidade, tal representação é uma família de equações não lineares, baseada nas curvas de saturação dos motores, quando estes estiverem associados e diretamente alimentados pela tensão de linha.

5.1.1 - O Algoritmo para a Determinação das Características Terminais



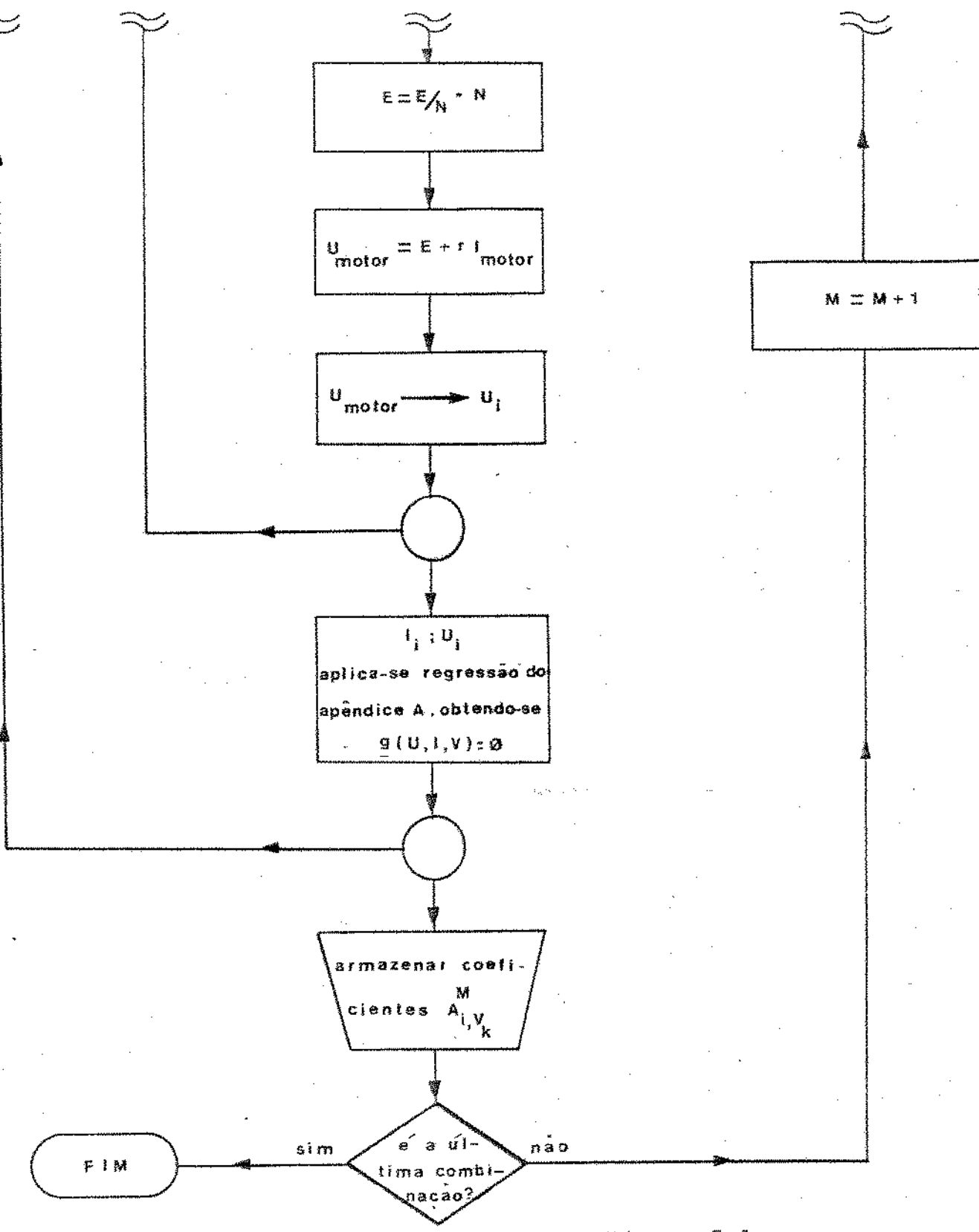


Figura 5.1

A família de equações não lineares, representativas de uma locomotiva, se formaliza como:

$$g_M(U, I, v) = 0 \quad (5.1)$$

- onde:
- U - tensão da linha de contato (volts)
 - I - corrente da linha de contato (ampéres)
 - v - velocidade da locomotiva (km/h)
 - M - associação dos motores (modo de operação)

CURVAS CARACTERÍSTICAS DE Locomotivas para CORRÉGÃO DA VELOCIDADE

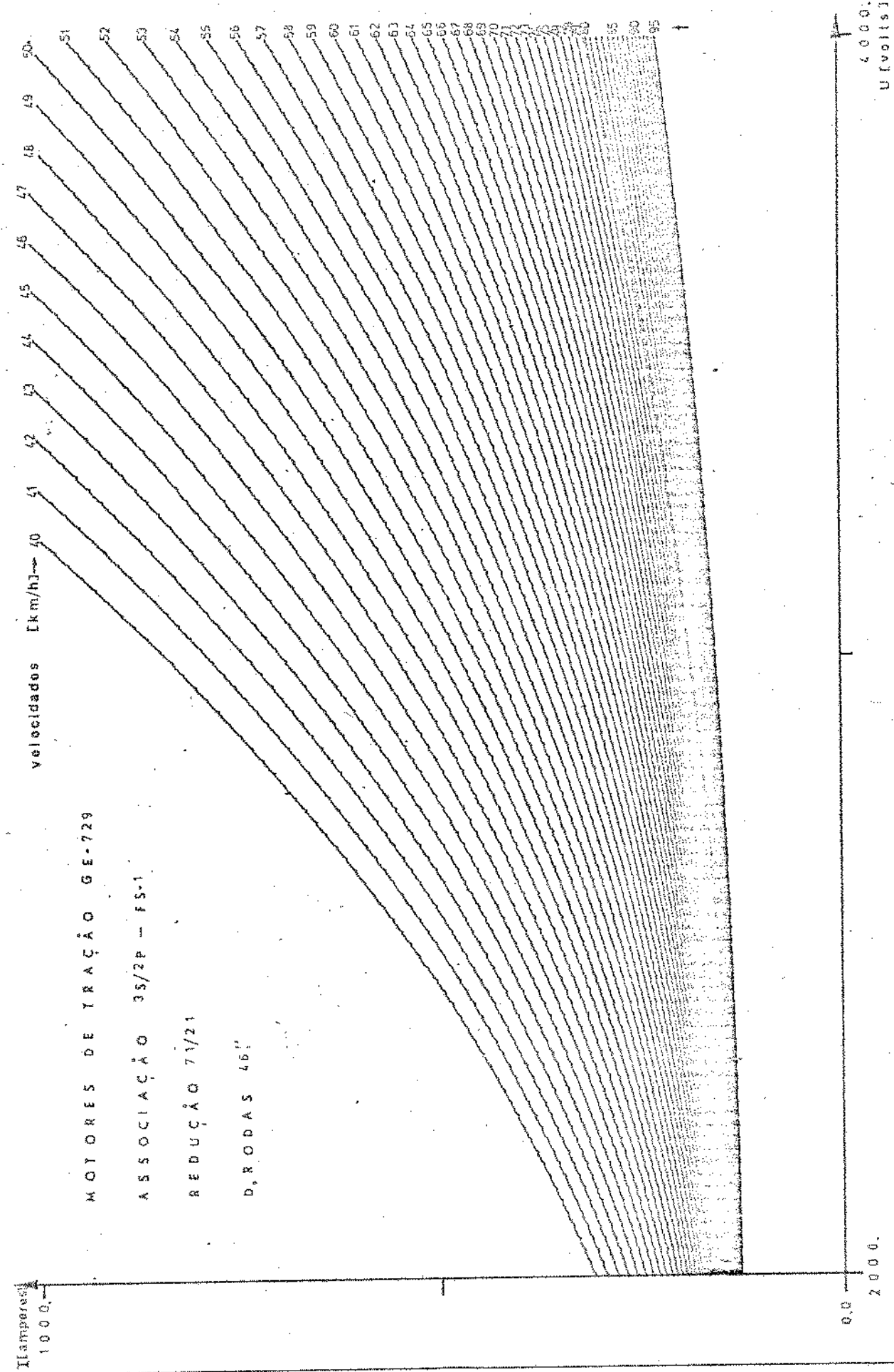


Figura 5.2

5.1.2 - A Forma das Equações não lineares

As curvas obtidas no ítem anterior são variações da curva de saturação dos motores para diferentes velocidades de referência e transladadas para os terminais da locomotiva. Assim, adequando-se o mesmo tipo de equação, obtém-se:

$$I = A_{0,v_k}^M + A_{1,v_k}^M \cdot U + A_{2,v_k}^M \cdot U^2 + A_{3,v_k}^M \cdot U^3 \quad (5.2)$$

onde A_{i,v_k}^M são os coeficientes da equação característica de uma locomotiva para uma certa velocidade (v_k) especificada, e uma determinada associação ou modo de operação (M).

5.2 - AS EQUAÇÕES DO SISTEMA ELETRIFICADO

Considere-se um exemplo da parte C.C. de um sistema ferroviário eletrificado:

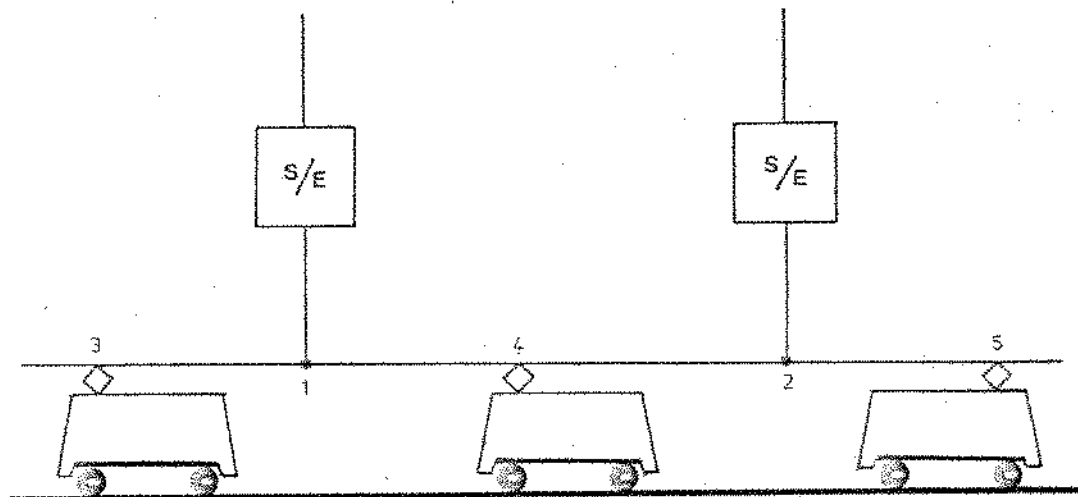


Figura 5.3

Representando-se as sub-estações como barras de tensão controlada, e os trens como barras de carga:

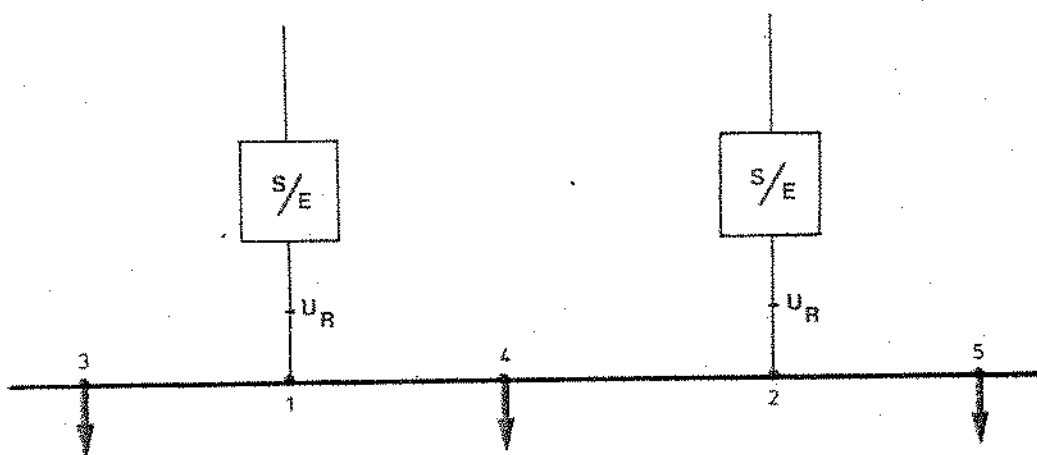


Figura 5.4

Mudando-se a referência para a terra

$$\underline{\Delta U} = \underline{U}_R - \underline{U} \quad (5.3)$$

e representando-se as admitâncias:

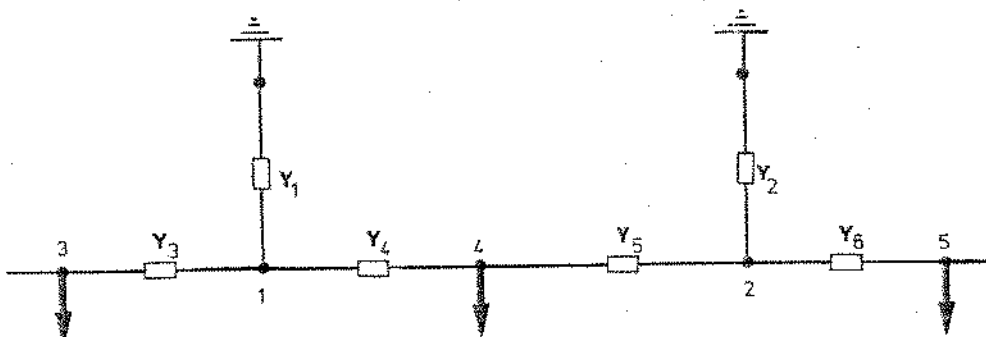


Figura 5.5

Usando-se a representação através da matriz admitância nodal, tem-se:

$$\underline{I} = \underline{Y} \cdot \underline{\Delta U} \quad (5.4)$$

onde

$$\underline{I} = \begin{bmatrix} I_1 \\ \vdots \\ I_n \end{bmatrix}; \text{ vetor de correntes}$$

$$\underline{\Delta U} = \begin{bmatrix} \Delta U_1 \\ \vdots \\ \Delta U_n \end{bmatrix}; \text{ vetor de quedas de tensão}$$

$$Y = \begin{bmatrix} Y_{11} & \cdots & Y_{1n} \\ \vdots & \ddots & \vdots \\ Y_{n1} & \cdots & Y_{nn} \end{bmatrix}; \text{ matriz admitância das barras}$$

5.3 - O MÉTODO ITERATIVO NEWTON - RAPHSON (5)

Dado um conjunto de equações não lineares,

$$f_1(x_1, x_2, \dots, x_n) = y_1$$

$$f_2(x_1, x_2, \dots, x_n) = y_2$$

(5.5)

$$\dots$$

$$f_n(x_1, x_2, \dots, x_n) = y_n$$

e as estimativas do vetor solução,

$$x_1^{(0)}, x_2^{(0)}, \dots, x_n^{(0)}$$

(5.6)

Supondo que:

$$x_1^{(0)} + \Delta x_1$$

$$x_2^{(0)} + \Delta x_2$$

(5.7)

\dots

$$x_n^{(0)} + \Delta x_n$$

sejam as soluções do sistema (5.5),

$$\Delta x_1, \Delta x_2, \dots, \Delta x_n$$

(5.8)

são as correções necessárias para se chegar ao vetor solução, partindo-se das estimativas iniciais, isto é :

$$\begin{aligned}
 f_1(x_1^{(0)} + \Delta x_1, x_2^{(0)} + \Delta x_2, \dots, x_n^{(0)} + \Delta x_n) &= y_1 \\
 f_2(x_1^{(0)} + \Delta x_1, x_2^{(0)} + \Delta x_2, \dots, x_n^{(0)} + \Delta x_n) &= y_2 \\
 \dots \\
 f_n(x_1^{(0)} + \Delta x_1, x_2^{(0)} + \Delta x_2, \dots, x_n^{(0)} + \Delta x_n) &= y_n
 \end{aligned} \tag{5.9}$$

Expandindo-se cada equação de (5.9) em série de Taylor, e retendo-se apenas os termos lineares:

$$\begin{aligned}
 f_1(x_1^{(0)}, x_2^{(0)}, \dots, x_n^{(0)}) + \Delta x_1 \cdot \frac{\partial f_1}{\partial x_1}|_0 + \Delta x_2 \cdot \frac{\partial f_1}{\partial x_2}|_0 + \dots + \\
 + \Delta x_n \cdot \frac{\partial f_1}{\partial x_n}|_0 = y_1
 \end{aligned}$$

$$\begin{aligned}
 f_2(x_1^{(0)}, x_2^{(0)}, \dots, x_n^{(0)}) + \Delta x_1 \cdot \frac{\partial f_2}{\partial x_1}|_0 + \Delta x_2 \cdot \frac{\partial f_2}{\partial x_2}|_0 + \dots + \\
 + \Delta x_n \cdot \frac{\partial f_2}{\partial x_n}|_0 = y_2
 \end{aligned}$$

$$\begin{aligned}
 f_n(x_1^{(0)}, x_2^{(0)}, \dots, x_n^{(0)}) + \Delta x_1 \cdot \frac{\partial f_n}{\partial x_1}|_0 + \Delta x_2 \cdot \frac{\partial f_n}{\partial x_2}|_0 + \dots + \\
 + \Delta x_n \cdot \frac{\partial f_n}{\partial x_n}|_0 = y_n
 \end{aligned} \tag{5.10}$$

Colocando-se o sistema na forma matricial:

$$\begin{bmatrix} y_1 - f_1(x_1^{(0)}, x_2^{(0)}, \dots, x_n^{(0)}) \\ y_2 - f_2(x_1^{(0)}, x_2^{(0)}, \dots, x_n^{(0)}) \\ \dots \\ y_n - f_n(x_1^{(0)}, x_2^{(0)}, \dots, x_n^{(0)}) \end{bmatrix} = \begin{bmatrix} \frac{\partial f_1}{\partial x_1}|_0 & \frac{\partial f_1}{\partial x_2}|_0 & \dots & \frac{\partial f_1}{\partial x_n}|_0 \\ \frac{\partial f_2}{\partial x_1}|_0 & \frac{\partial f_2}{\partial x_2}|_0 & \dots & \frac{\partial f_2}{\partial x_n}|_0 \\ \dots \\ \frac{\partial f_n}{\partial x_1}|_0 & \frac{\partial f_n}{\partial x_2}|_0 & \dots & \frac{\partial f_n}{\partial x_n}|_0 \end{bmatrix} \begin{bmatrix} \Delta x_1 \\ \Delta x_2 \\ \dots \\ \Delta x_n \end{bmatrix}$$

$$\underline{E} = \underline{J} \underline{C} \tag{5.11}$$

onde

J é o Jacobiano para as funções $f_i \quad i=1, \dots, n$

C é o vetor de correções $\Delta x_i \quad i=1, \dots, n$

E é o vetor dos erros $y_i - f_i(x_j^{(0)}) \quad j=1, \dots, n$

Aplicando-se um método para solução de um sistema de equações algébricas lineares (por exemplo, o desenvolvido no Apêndice B):

$$\underline{C} = J^{-1} \cdot \underline{E} \quad (5.12)$$

e os novos valores de x_i :

$$x_i^{(1)} = x_i^{(0)} + \Delta x_i \quad , \quad i=1, \dots, n \quad (5.13)$$

O processo repete-se iterativamente até que valores consecutivos de x_i satisfaçam uma tolerância específica da.

5.4 - O ALGORITMO BÁSICO PARA O CÁLCULO DO FLUXO DE CARGA

Vamos inicialmente supor um determinado trem p e sua respectiva locomotiva, a uma velocidade v_k . A equação terminal é:

$$I_p = A_{0,v_k}^M + A_{1,v_k}^M \cdot U_p + A_{2,v_k}^M \cdot U_p^2 + A_{3,v_k}^M \cdot U_p^3 \quad (5.14)$$

Mudando-se a referência para a terra e chamando

$$\underline{V} = \Delta \underline{U} \quad (\text{vetor das quedas de tensão}): \quad (5.15)$$

$$I_p = A_{0,v_k}^M + A_{1,v_k}^M \cdot V_p + A_{2,v_k}^M \cdot V_p^2 + A_{3,v_k}^M \cdot V_p^3 \quad (5.16)$$

Das equações (5.4) e (5.15), tem-se:

$$\underline{I} = Y \underline{V} \quad (5.17)$$

Relacionando-se todas as barras do sistema eletricado representado por (5.17), com o trem p :

$$I_p(v_p) = \sum_{q=1}^n (Y_{pq} \cdot v_q) \quad (5.18)$$

$n = n^{\circ}$ de barras do sistema

ou seja

$$I_p(v_p) - \sum_{q=1}^n (Y_{pq} \cdot v_q) = 0 \quad (5.19)$$

Definindo-se:

$$\begin{aligned} I_1(v_1) - \sum_{q=1}^n (Y_{1q} \cdot v_q) &= e_1 \\ I_2(v_2) - \sum_{q=1}^n (Y_{2q} \cdot v_q) &= e_2 \\ \dots & \\ I_K(v_K) - \sum_{q=1}^n (Y_{Kq} \cdot v_q) &= e_K \end{aligned} \quad (5.20)$$

chega-se ao mesmo tipo de sistema que o descrito em (5.5).

O Jacobiano do sistema (5.20) é determinado por:

i) elementos fora da diagonal $(\frac{\partial e_k}{\partial v_q})$:

$$J_{Kq} = -Y_{Kq}, \quad q=1, \dots, n \quad (5.21)$$

ii) elementos da diagonal $(\frac{\partial e_k}{\partial v_k})$:

$$J_{KK} = A_{1,v_K}^M + 2A_{2,v_K}^M \cdot v_K + 3A_{3,v_K}^M \cdot v_K^2 - Y_{KK} \quad (5.22)$$

Partindo-se da condição inicial $\underline{v} = 0$, a equação (5.22) se reduz :

$$J_{KK} \approx A_{1,v_k}^M - Y_{KK} \quad (5.23)$$

Portanto, o Jacobiano é a própria matriz Y com sinal trocado, acrescentando-se os elementos A_{1,v_k}^M como derivada.

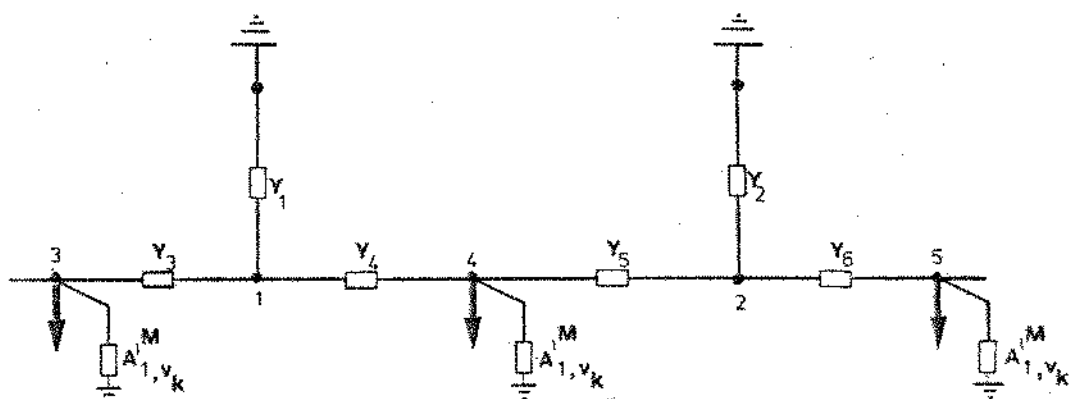


Figura 5.6

Dentro das hipóteses simplificadoras (16), existe ainda a possibilidade de se desprezar os elementos A_{i,v_k}^M , ficando o Jacobiano a própria matriz $-Y$. Além disso, é possível durante o processo iterativo, manter-se a matriz Jacobiana constante e igual àquela inicialmente calculada (método de Von Mises).

A Figura 5.7 ilustra o comportamento dos dois métodos.

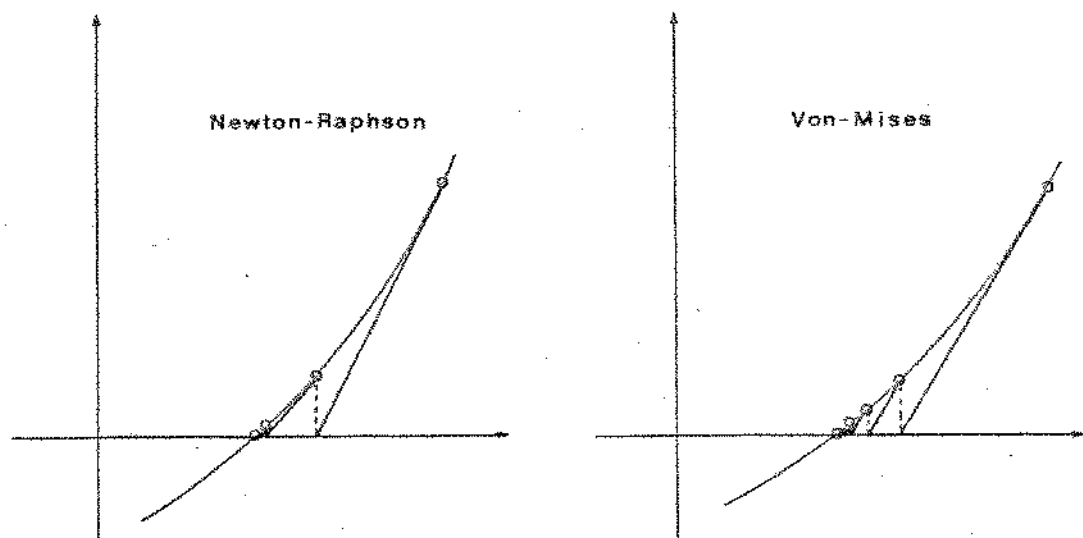


Figura 5.7

Utilizando-se de um algoritmo para a resolução do sistema de equações lineares,

$$\underline{e} = \underline{J} \cdot \Delta \underline{V} \quad (5.24)$$

obtem-se o vetor solução $\Delta \underline{V}$, e então determinam-se os novos valores de \underline{V} :

$$\underline{v}^{(v+1)} = \underline{v}^{(v)} + \Delta \underline{V}$$

A solução é obtida quando a especificação de tolerância, no vetor das quedas de tensão, é alcançada.

CAPÍTULO VI

6 - A APLICAÇÃO PRÁTICA

Neste capítulo será desenvolvido um exemplo de aplicação prática, envolvendo esquemas operacionais, esquemas elétricos e perfis reais. Os dados foram fornecidos pela FERROVIAS PAULISTAS S.A. (FEPASA).

6.1 - DADOS RELATIVOS AO ESQUEMA OPERACIONAL

- i) hora inicial da simulação - 09:00 horas
- ii) tempo de simulação - 3 horas
- iii) incremento de tempo - 3 minutos
- iv) número de despachos - 5 trens
- v) horários dos despachos - 09:00 horas; 09:00 horas e 24:00 minutos; 10:00 horas e 06:00 minutos; 10:00 horas e 24:00 minutos; 11:00 horas e 24:00 minutos.
- vi) nome dos trens - P06; P05; P08; P07; P10
- vii) sentido das viagens - volta; ida; volta; ida; volta.
- viii) quilometros iniciais - 174.0; 1.0; 174.0; 1.0; 174.0.
- ix) distância a ser percorrida - 173.0 Km.
- x) tipo de trens - passageiros (tipo 1)
- xi) tipo de percurso - exportação; importação; exportação; importação; exportação.
- xii) espaçamento mínimo entre trens consecutivos - 3.0 Km.

6.2 - DADOS RELATIVOS AO ESQUEMA ELÉTRICO

- i) número de sub-estações : 7

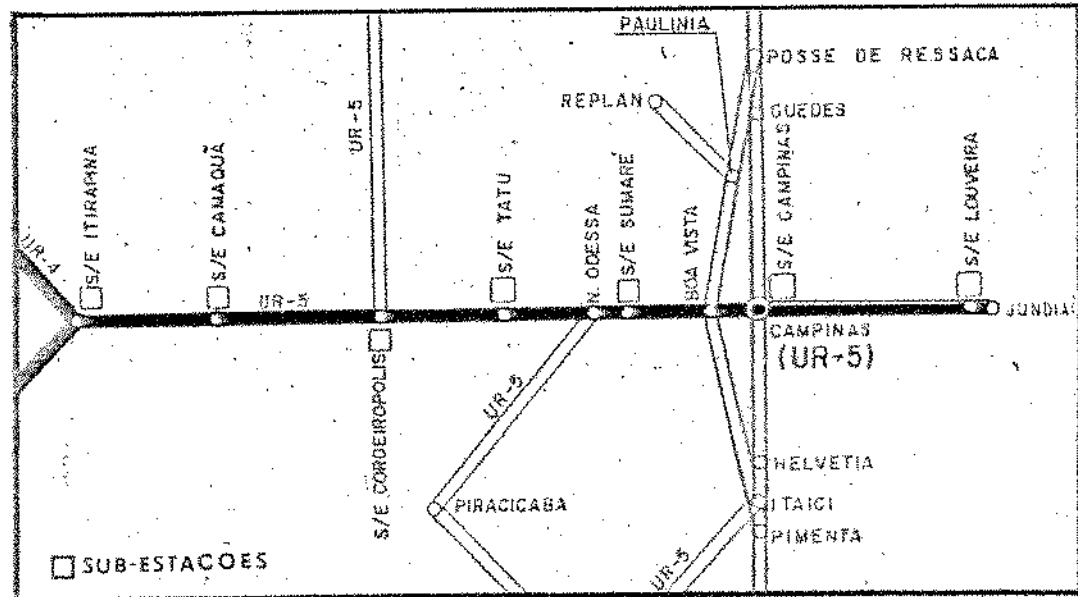


Figura 6.1

- ii) tipo de retificadores - motor-gerador; silício
 - iii) tipo de transformadores - a óleo
 - iv) potência nominal - ver Figura 6.2
 - v) relações AT/BT - ver Figura 6.2
 - vi) impedâncias - 0.5 ohms
 - vii) tipo de ligações e aterramento - Δ -Y

Figura 6.2

— O que de novo? —

- O tipo de motor -		- Motor sincrônico trifásico de 60 ciclos conjugado com geradores DC.		- Gerador em série	
- Características de cada motor		- Características de cada gerador DC.			
Voltímetro	Amperímetro	Voltímetro	Amperímetro	Voltímetro	Amperímetro
S. I. S. T.	-	S. I. S. T.	Coax	S. I. S. T.	Sobre campo

viii) regulações	tração	regeneração
S/E LOUVEIRA	2300 A.	750 A.
S/E CAMPINAS	1900 A.	1100 A.
S/E SUMARÉ	1700 A.	750 A.
S/E TATU	1600 A.	-
S/E CORDEIRÓPOLIS	1700 A.	1800 A.
S/E CAMAQUÃ	1100 A.	-
S/E ITIRAPINA	1100 A.	-

ix) distâncias desde o marco zero :

	quilometro
S/E LOUVEIRA	15.3
S/E CAMPINAS	45.0
S/E SUMARÉ	69.6
S/E TATU	93.8
S/E CORDEIRÓPOLIS	116.9
S/E CAMAQUÃ	148.8
S/E ITIRAPINA	174.4

x) especificação para convergência - $\Delta U = 3.0$ volts	
sobrecargas nas sub-estações	- 50% 2 horas 200% 5 minutos
aderência	- a 25% de adesão , 1,8 da esforço tra tor contínuo máxi mo.
sobrecorrentes nos motores	- 1,1 da corrente contínua máxima.

xi) impedância série entre sub-estações adjacentes

esquema 1 : 2 cabos mensageiros de alumínio da sec
ção 795.000 ACSR; 2 fios de contato de

cobre de secção 6/0 AWG cada um; 4 trilhos tipo 55 Kg/m cada; "Tie" a cada 61 metros.

$$\rho = 0,049 \text{ ohms/km}$$

esquema 2 : 1 feeder de cobre, de secção 500 MCM, alimentando as duas redes aéreas a cada 300 metros; dois fios de contato de cobre de secção 4/0 AWG cada; 4 trilhos tipo 55 Kg/m cada um.

$$\rho = 0,049 \text{ ohms/km}$$

esquema 3 : 1 feeder de cobre, de secção 500 MCM, alimentando as duas redes aéreas à cada 300 metros; fio de contato de cobre de secção 4/0 AWG ; 2 trilhos tipo 55 Kg/m cada.

$$\rho = 0,10 \text{ ohms/km}$$

6.3 - O PERFIL DA VIA

A aplicação se desenvolve em um trecho eletrificado pertencente à FEPASA, entre as estações JUNDIAÍ (km. 1.0) e ITIRAPINA (km. 174.0), conforme se mostra nas Figuras 6.3 e 6.4 a seguir.

6.3.1 - A Vista em Planta

A Figura 6.3 mostra a vista em planta de alguns trechos do perfil. Desta Figura pode-se ter uma visão definida da sinuosidade da via, pois cada curva é demarcada pelo seu raio e ângulo central, além da especificação dos limites de velocidade.

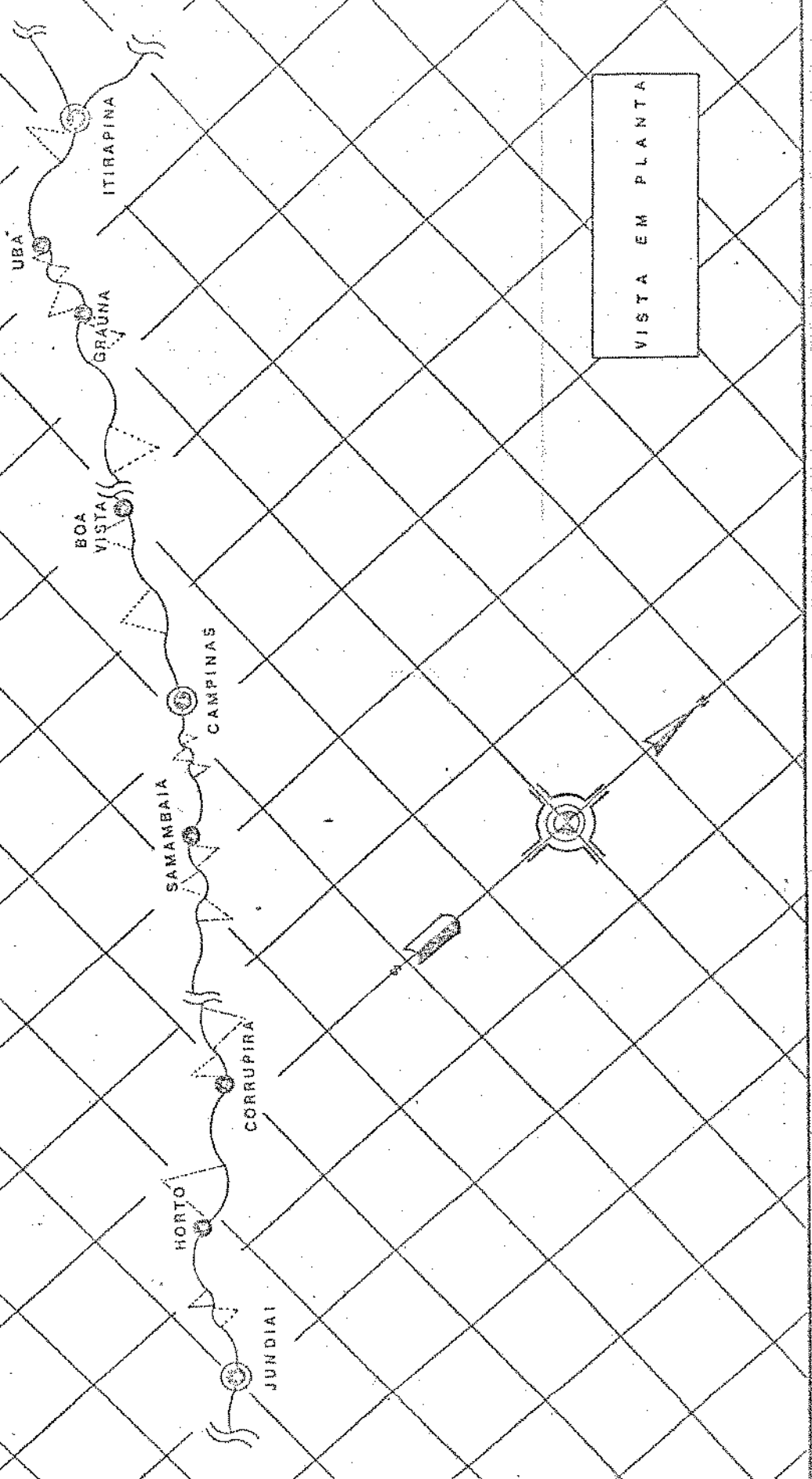
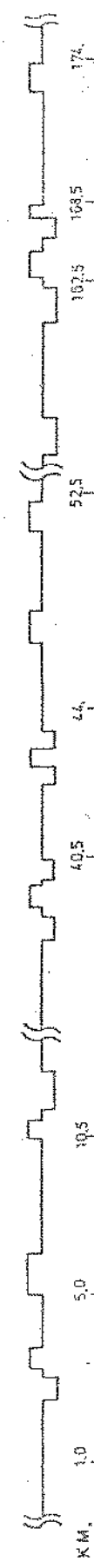
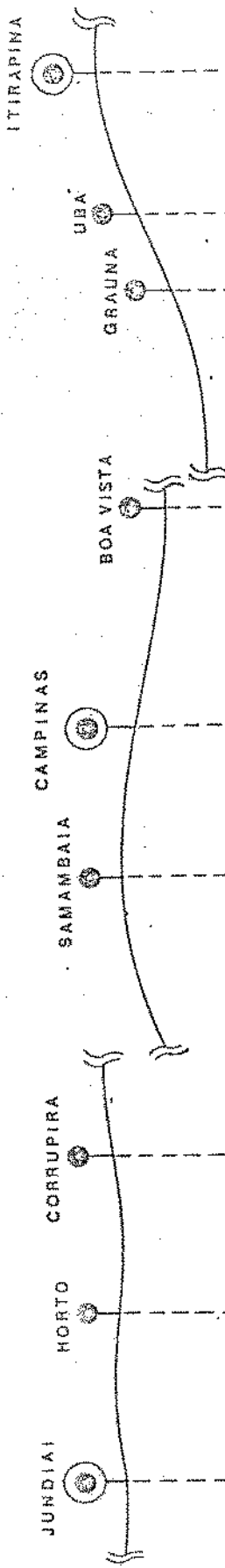


Figura 6.3



VISTA NO PERFIL
LONGITUDINAL

Figura 6.4

6.3.2 - A Vista no Perfil Longitudinal

A Figura 6.4 mostra alguns trechos da vista no perfil longitudinal. Desta Figura são retirados todos os dados relativos às estações ou marcos, quilometragens, altitudes e restrições de velocidade. Conforme frisado no Capítulo IV, a idéia inicial é dividir-se em trechos conforme a situação real melhor se apresente. Assim, os trechos são determinados pelas estações ou marcos onde ocorrem sensíveis mudanças nas altitudes. Portanto o perfil longitudinal fornece as quilometragens e altitudes, iniciais e finais, dos trechos considerados, além de demarcar as curvas através de seus raios e sentido de curvatura.

6.4 - INFORMAÇÕES RELATIVAS AOS TRENS

Sabendo-se, dos dados relativos ao esquema operacional, da quantidade e tipos de trens que deverão circular durante o tempo de simulação especificado, resta detalhar os elementos que formarão os trens.

6.4.1 - Elemento Trator

A locomotiva que será utilizada nesta aplicação, é uma G.E. de 5130 HP, 144 ton., 3000 Volts C.C., cujas informações foram cedidas pela GENERAL ELECTRIC DO BRASIL S.A.

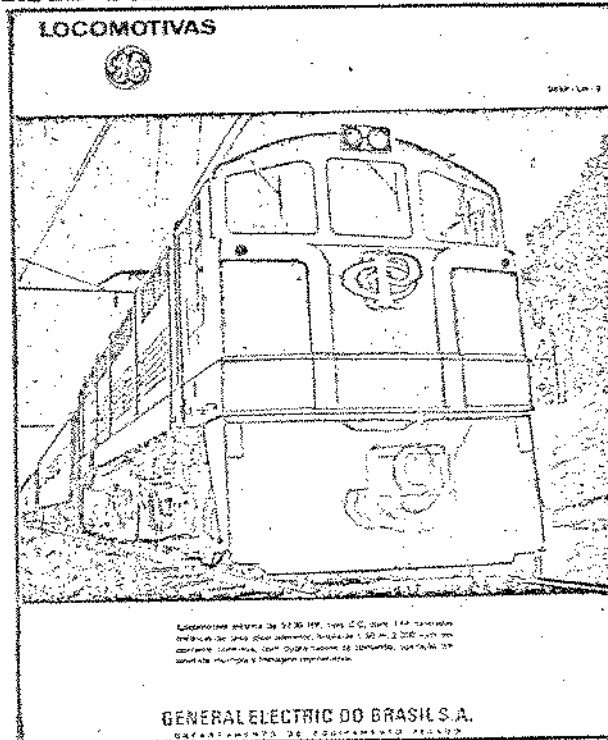
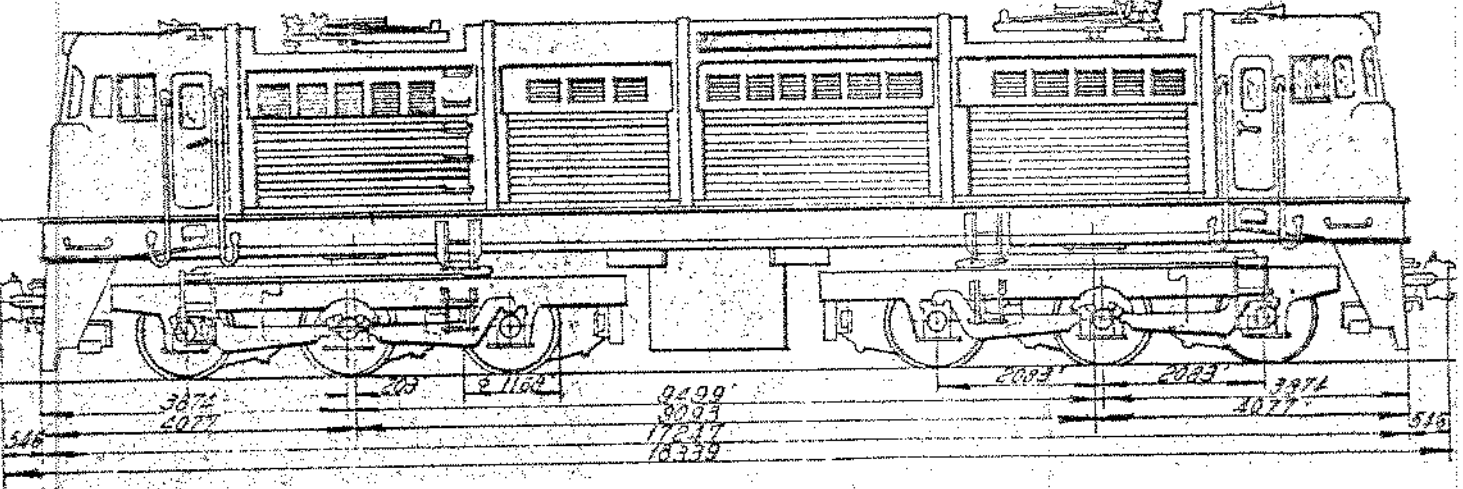
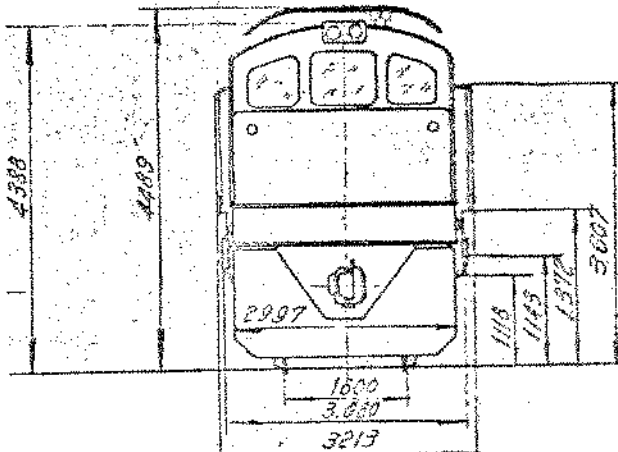


Figura 6.5



Disposição dos eixos				C-C	
Peso total				144.000	Kg
* da cabina				60.000	
* do truque				76.000	
* aderente				144.000	
* por eixo motor				24.000	"
* * * guia				-	"
* aderente kg/C. V. contínuo				27.7	"
Calibração da rete de sobrecarga	0,75 a 1,0 - 2.900 ~ Amperes				
Sistema de comando	Eletrô pneumático				
Tensão do circuito de comando	75			Volts 13,5	
* * * auxiliar	75			*	
Sistema de recuperação	Excitação separada				
Tracção dupla	SIM				
Freio da tração	Ar comprimido				
Freio da locomotiva	202 - Westinghouse / Frerembra				
APARELHOS	QUANT.	DIÂMETRO	I. P. M.	ENGRANAGEM	CILINDRICO
Ventilador	2	3438	1320	HAGEM	Diâmetro
Compressor	2	3686	517		Curso
Exaustor	-	-	-		m3/min.



CAPACIDADE A 2.700 V. E.P. A. L.E.E. MOTORAS	DISCRIMINAÇÃO	CONTÍNUO			UNIHORÁRIO			95 DO PESO ADERENTE	
		FS-1	FS-2	FS-3	FS-1	FS-2	FS-3	25 %	30 %
	Esforço de tração nos arcos	22.000	10.800	16.200	22.600	21.000	18.500	36.000	43.000
	Potência nos arcos em C. V.	4.450	4.450	4.450	4.910	4.910	4.910	6.750	7.300
	Corrente em amperes	1.320	1.320	1.320	1.455	1.455	1.455	2.040	2.355
	Velocidade em km/h.	7542	63,5	74,2	53,0	68	71	46,6	57
	Eficiência com engranagem	92,5	92,5	92,5	92,5	92,5	92,5	92	91,5
	Tipo — número	5'GF 729 F1 - 6			DISCRIMINAÇÃO			CONTÍNUO	
	Tensão em volla	1500/3000			CONTÍNUO			UNIHORÁRIO	
	Relação de engrenagens	71/21 x 3,38			Pol. C. V.			9,37	
	Sistema de transmissão	Engranagem sólida			Corrente amperes			4,65	
					Velocidade r. p.m.			825	

MOTORES E GERADORES	DISCRIMINAÇÃO	QUANT.	TENSÃO	CORRENTE	K.W.	C.V.	I. P. M.
	Motor auxiliar	1	5000	40	120	160	
	Gerador	1	50	1200	60	80	
	Dimotor	-	-	-	-	-	
	Motor do excitador	1	3.000	40	120	160	
	Excitador	1	50	1200	60	80	
	Motor do ventilador	-	-	-	-	-	
	* * compressor	-	-	-	-	-	
	* * exaustor	-	-	-	-	-	

Figura 6.6

Estas locomotivas são equipadas com motores GE-729/1500 Volts C.C., que tem suas características de saturação com carga e rendimento mostrados no Apêndice C.

6.4.2 - Elementos Rebocados

Quanto aos carros, serão todos de passageiros e em número de 9 por composição; terão um peso unitário (considerando-se os usuários) de 56 toneladas; 4 eixos; área frontal de $12,0 \text{ m}^2$ e comprimento de 25,9 metros.

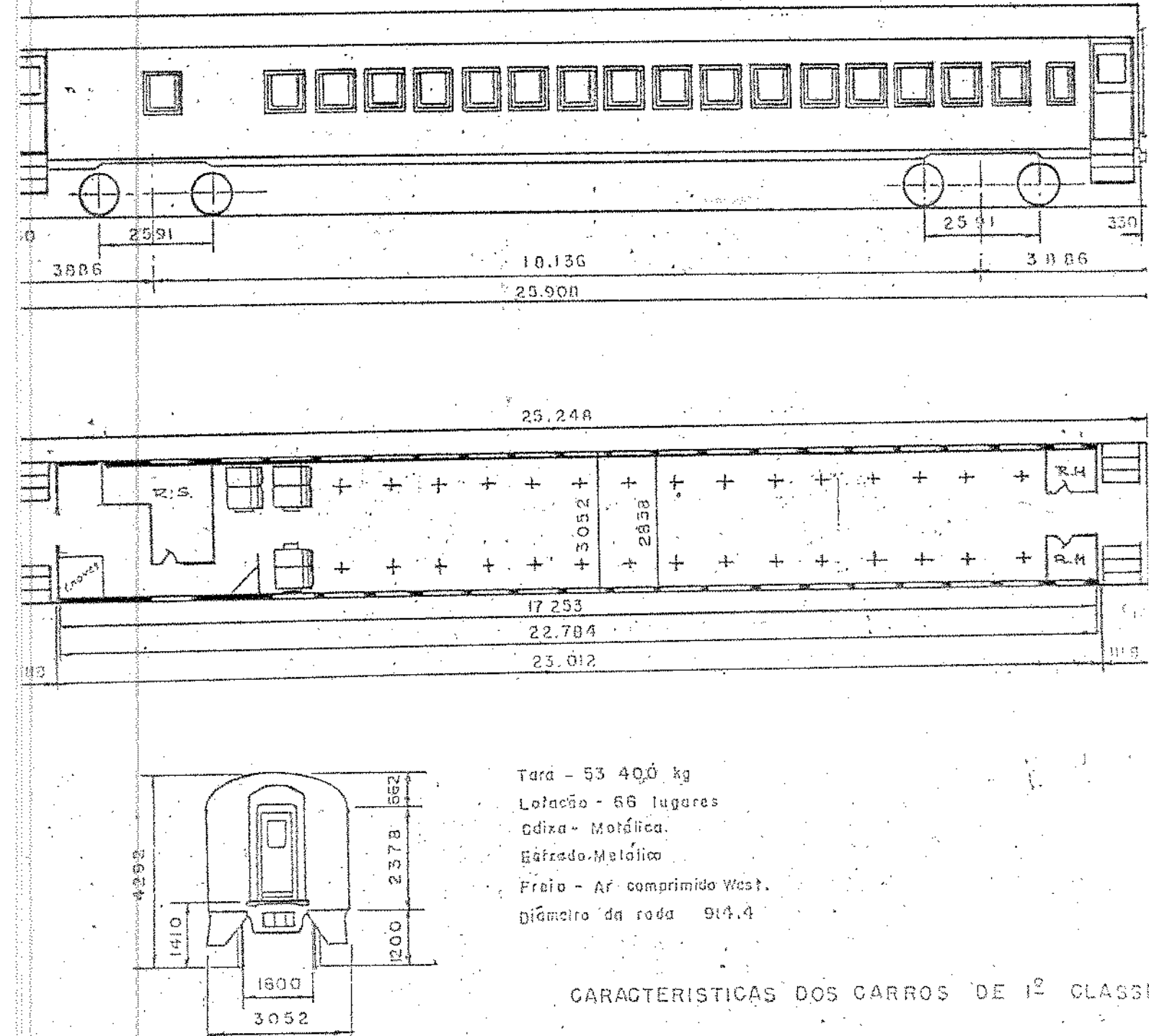


Figura 6.7

6.5 - AS SIMULAÇÕES BÁSICAS DOS MOVIMENTOS DOS TRENS NOS PERCURSOS

As simulações dos movimentos dos trens nos percursos reais, para fornecer os desempenhos nos perfis definidos, são mostradas como um exemplo no Apêndice D.

6.6 - OS RESULTADOS DA APLICAÇÃO PRÁTICA

Como resultados desta aplicação prática, serão mostrados alguns instantâneos da simulação onde se poderá avaliar o acoplamento dos esquemas operacionais e elétricos. Nestes instantâneos se mostram :

- i) hora da simulação - comandada pelo relógio mestre (definido no Capítulo IV).
- ii) solução do fluxo de carga - onde aparecem inicialmente as intensidades nas sub-estações e depois nos trens.
- iii) acoplamento do esquema operacional ao elétrico - onde se pode ter uma idéia física dos trens no perfil.
- iv) tempo de simulação decorrido.

Acompanham estes instantâneos, os respectivos diagramas elucidativos.

R E C O G N I T I O N

STANDARD ELECTRODE POTENTIALS
IN VOLT

SOLUÇÃO DO FLUXO DE CARGA

CORRENTE (AMP)	TENSÃO (VOLT)	QUEDAS (VOLT)
285,67	2897,17	182,93
485,75	2757,12	242,98
138,19	2939,95	69,95
97,42	2953,79	46,21
254,34	2872,83	127,17
68,78	2969,61	36,39
9,93	2995,63	4,97
346,65	2677,61	322,39
75,36	2983,26	96,74
369,89	2769,34	230,66
464,89	2664,91	335,69

SARRO / TREN	DISTANCIA (KM)	VELOCIDADE (KM/H)	MODO	CORRENTE (A)	TENSÃO (VOLTI)	POTÊNCIA (KW)
8 P06	48,51	39,83	6	346,55	2677,51	928,24
9 P05	83,93	46,53	1	75,36	2981,26	216,73
8 P08	128,48	39,58	6	360,99	2769,34	997,22
1 P07	37,89	37,56	7	461,49	2661,94	1238,89

Figura 6.8

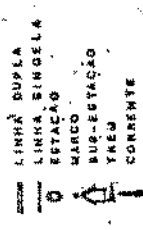
REGISTRO



ESTUDO ENERGÉTICO

EM FERROVIA

CONVENÇÕES

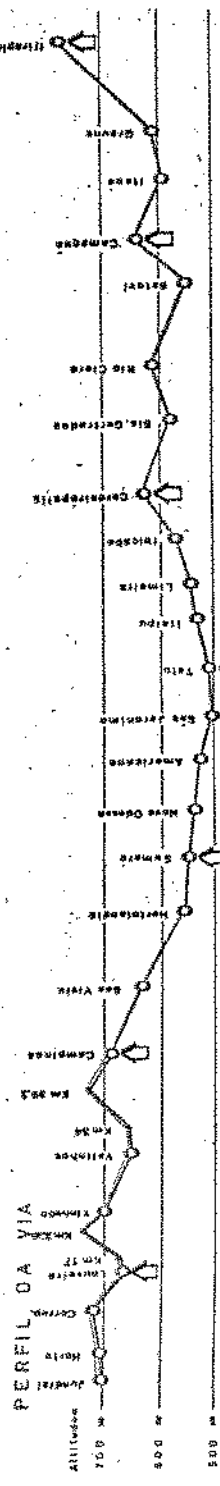


CONVENÇÕES

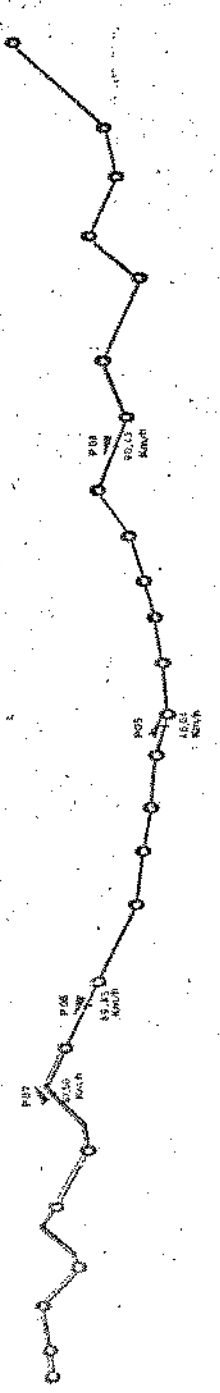


PERFIL DA VIA

Altitude: 100 m 300 m 500 m



PERFIL DOS TRENS



PERFIL DAS CORRENTES



PERFIL DAS TENSÕES

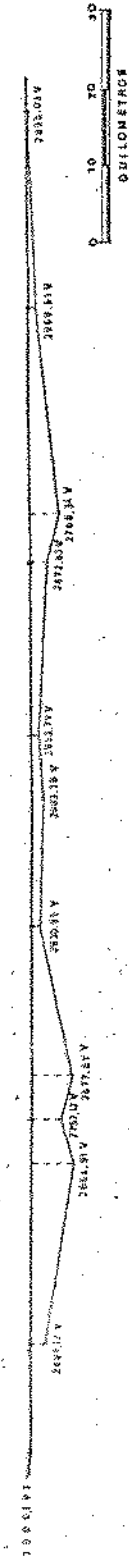


Figura 6,9

R E L O G I O

 * * *
 * HORA *
 * * *
 * 18,2 57,9 *
 * * *

E S T U D O E N E R G E T I C O EM FERROVIAS

SOLUCAO DO FLUXO DE CARGA

CORRENTE (AMP)	TENSAO (VOLT)	QUEDAS (VOLT)
2,59	2998,71	1,22
2,58	2994,75	5,25
2,57	2962,57	77,42
2,56	2869,72	130,28
2,55	3028,21	28,21
2,54	3000,97	20,97
2,53	3000,16	19,16
2,52	2995,84	4,86
2,51	2774,27	225,73
2,50	3313,29	213,29
2,49	2994,98	5,16

ESTRADA	DISTANCIA (Km)	VELOCIDADE (KM/H)	MODO	CORRENTE (A)	TENSAO (VOLT)	POTENCIA (KW)
P06	13,78	8,95	*	2,58	2995,94	3,23
P05	91,31	79,83	5	429,83	2774,27	1192,45
P04	131,46	90,88	24	4102,88	3013,29	1201,33
P07	14,16	8,89	2	2,52	3494,98	3,03

Figura 6,10

卷之三

An octagonal sign with a black border. Inside, the word "HORA" is written vertically along the left side, and "10.0 57.0" is written horizontally across the right side.

ESTUDO ENERGÉTICO

PIERRE PROVIA

CONVENTIONS

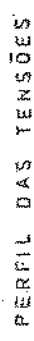
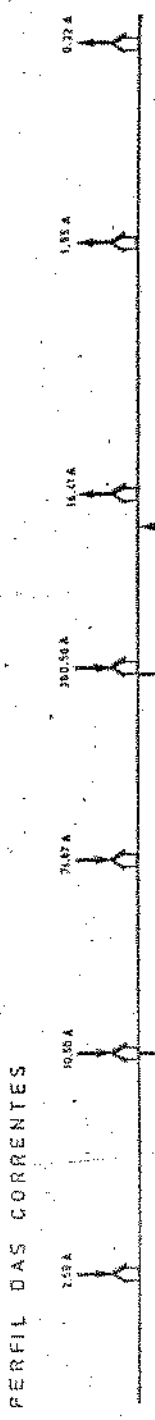
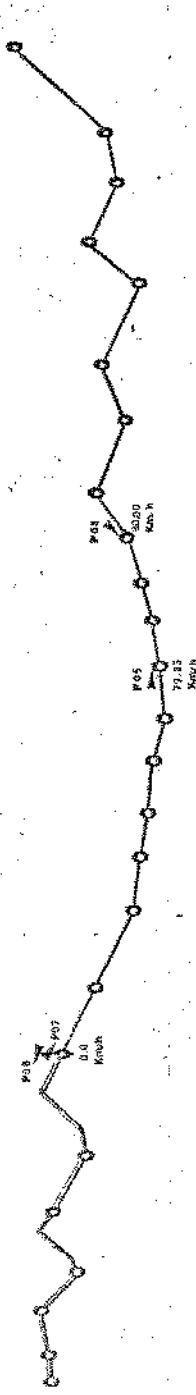
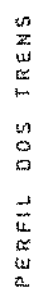
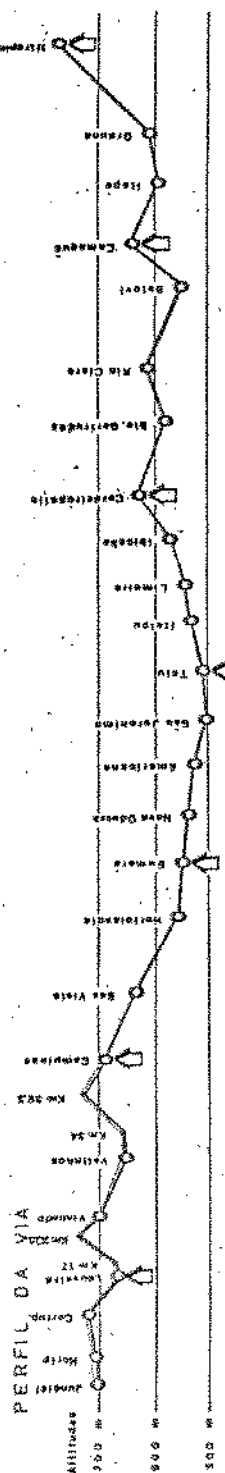


Figura 6.11

H 2 L G I D

S E T U D O E N E R G E T I C
S A F E R R O V E L A

SISTEMA DE FLUXO DE CARGA

CORRENTE (AMP)	TENSÃO (VOLT)	ONDEDAS (VOLT)
228,62	2885,64	114,31
497,48	2751,38	248,70
183,38	2948,35	51,65
193,29	2983,36	96,64
126,89	2936,96	63,84
14,97	2992,51	7,49
3,45	2998,78	1,22
744,34	2649,19	390,81
365,33	2775,63	224,37
8,98	2853,30	146,78
66,18	2754,42	245,67

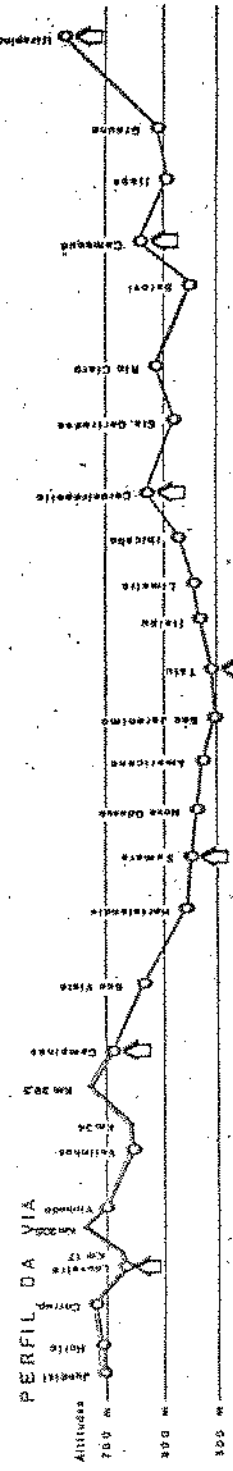
SAGRA/TREN	DISTANCIA (KM)	VELOCIDADE (KM/H)	MODO	CURRENTES (A)	TENSÃO (VOLTM)	POTÊNCIA (KW)
8 P26	39,49	94,92	8	741,34	2699,19	1942,33
9 P25	99,87	91,51	6	755,18	2775,63	995,41
10 P24	123,24	81,38	8	61,82	2357,33	9,19
11 P23	152,43	76,77	6	66,30	2751,43	182,94

Figura 6.12

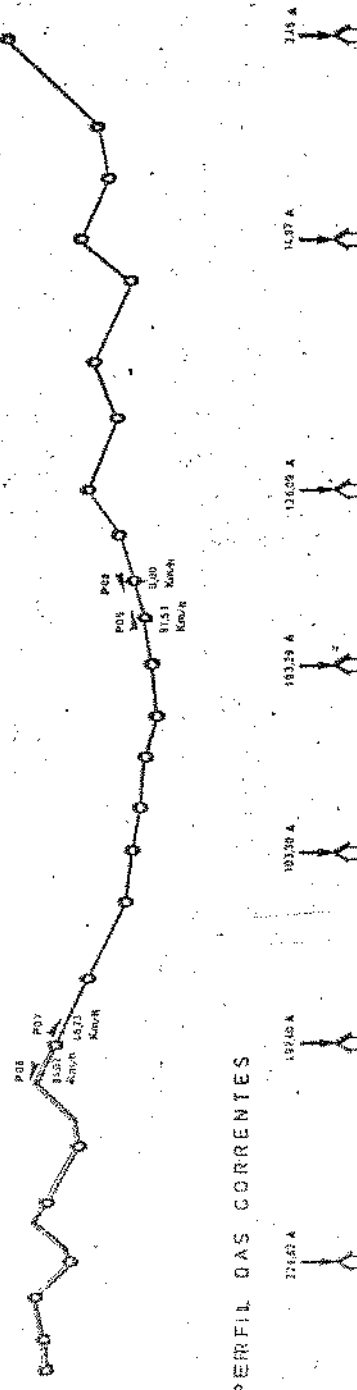
103

ESTUDIO ENERGÉTICO

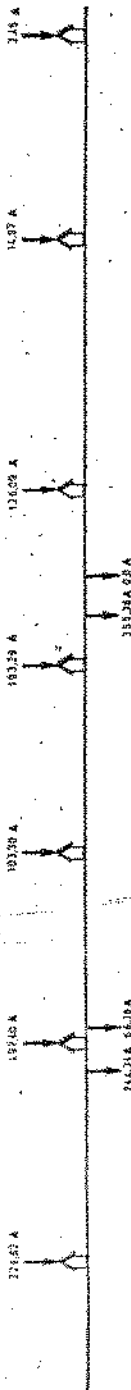
CONVENÇÕES



PETER FILILOS TRENDS



PEER-REVIEWED PAPERS



卷之三

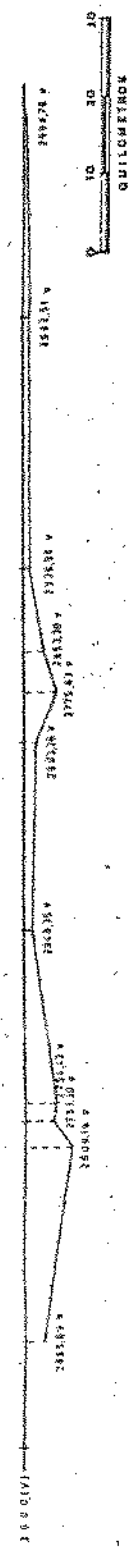


Figura 6.13

R E C O G N I T I O

W E S T D O G R A M P R O V I A

SCHERAO DO FLUXO DE CARGA

CORRENTE (AMP)	TENSÃO (VOLT)	ONDEAS (VOLT)
199,18	2982,41	99,59
218,29	2894,86	185,14
52,72	2973,64	26,36
37,12	2981,83	18,56
44,87	2977,97	22,83
3,23	2997,38	2,62
8,85	2999,57	9,83
199,44	2749,35	259,65
9,88	2949,73	59,27
84,85	2944,71	55,29
65,95	2885,92	114,38

S	BARRA / TRAM	DISTANCIA (KM)	VELOCIDADE (KM/H)	MODO	CORRENTE (A)	TENSÃO (VOLT)	POTÊNCIA (KW)
8	P-06	32,47	33,33	5	399,44	2749,35	1094,21
9	P-05	125,56	27,00	9	0,48	2949,73	11,33
10	P-09	194,63	44,33	10	21,25	2441,71	247,54
11	P-07	63,92	49,13	11	55,76	2886,92	138,34

Figura 6.14

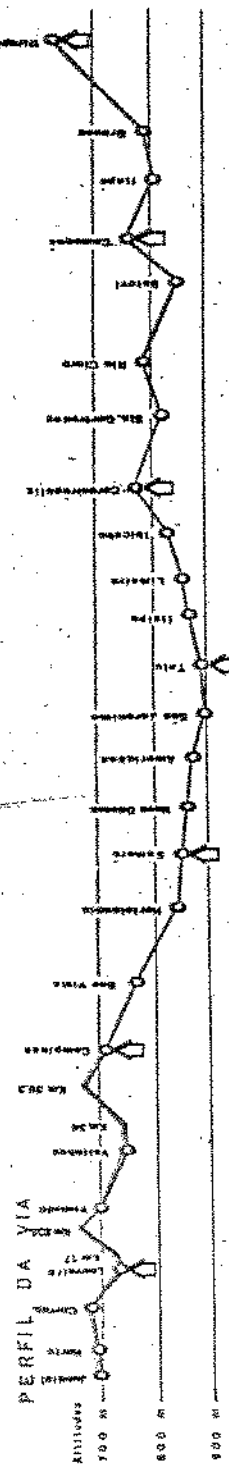
卷之三

An octagonal stamp with a double-line border. The word "HORA" is written vertically along the left side, and "11.0 9.0" is written vertically along the right side.

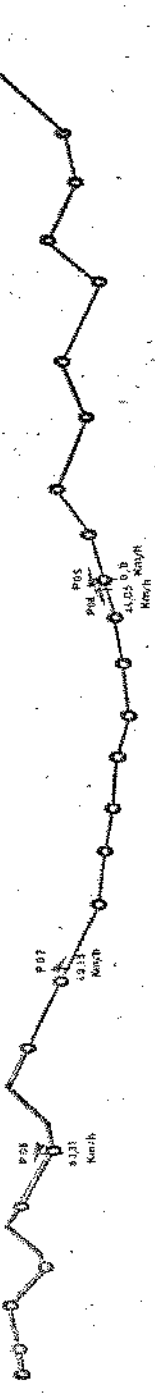
ESTUDIO ENERGÉTICO

— CONVENÇÕES —

EMPIRICA



PERFIL DOS TRENS



PERFIL GAS CORRENTES



卷之三

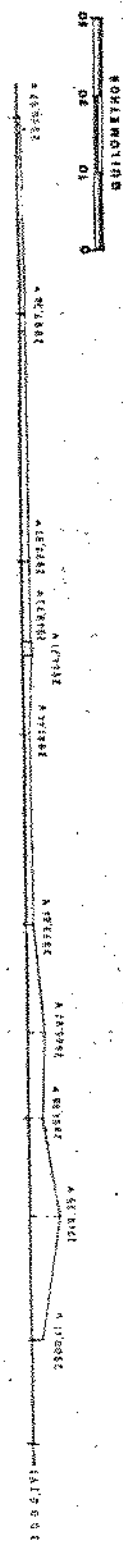


Figura 6.15

RELOGIO

* * *
 * S O R A *
 * * *
 * 1349 3748
 * * *
 * * *
 * * *

ESTUDO ENERGETICO
EM FERROVIA

SOLUCAO DO FLUXO DE CARCA

CORRENTE (AMP)	TENSAO (VOLT)	QUEDAS (VOLT)
318,33	2848,83	159,17
71,76	2964,12	35,88
46,25	2991,82	8,18
41,81	2979,58	79,59
254,89	2873,80	127,98
181,68	2949,16	56,84
62,57	2968,71	31,29
431,35	2636,16	393,84
420,99	2726,64	273,91
8,98	2995,61	14,39
8,98	2991,74	8,28
67,16	2947,48	52,58

MARCA FERRO DISTANCIA (KM)	VELOCIDADE (KM/H)	PODO	CURVATURA (A)	TENSAO (VOLT)	POTENCIA (W)
P06 3,61	79,54	6	431,35	2636,16	1325,13
P05 126,23	82,73	6	493,99	2726,64	1373,11
P04 91,79	82,88	6	8,84	2935,81	8,28
P07 59,75	82,98	6	8,84	2991,74	8,28
P10 112,99	51,31	1	- 53,76	2947,48	1325,13

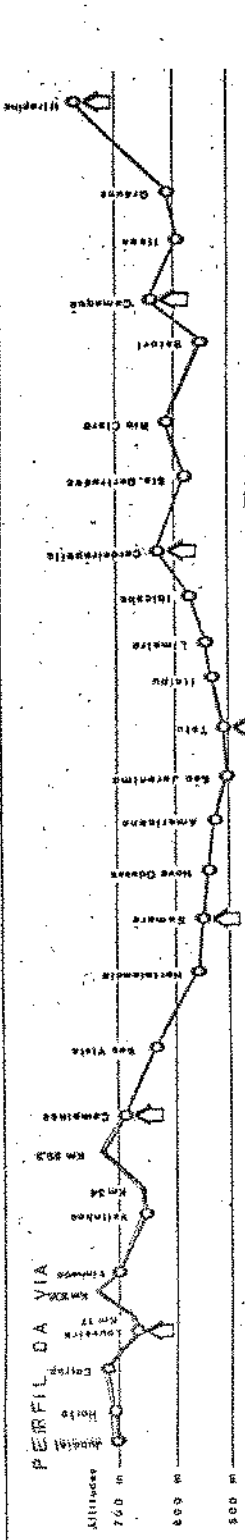
Figura 6.16

四庫全書

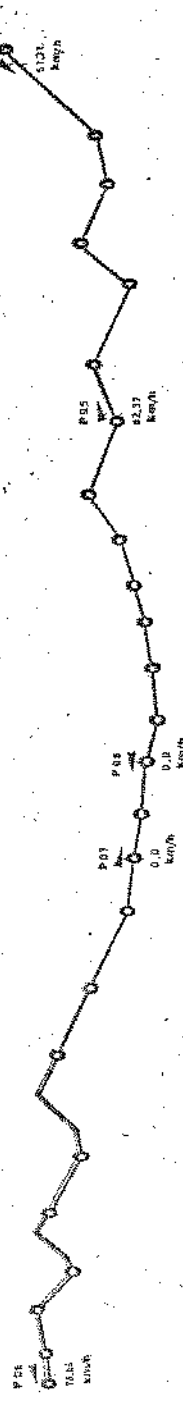
An octagonal stamp with the text "HGR A" vertically on the left and "11.0 27.0" vertically on the right.

ESTUDIO ENERGÉTICO

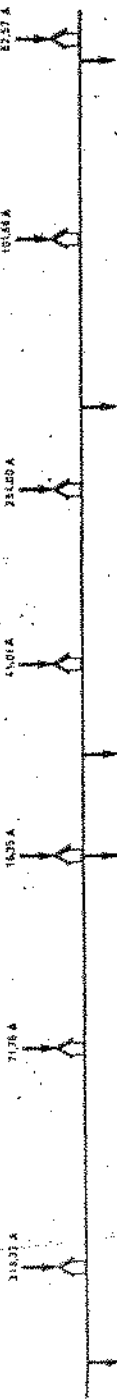
EMERITOVIA



PATERSON BUS TRENDS



PERRIN - GAS CURRENTS



PERSÖNLICHE ERKENNTNISSE

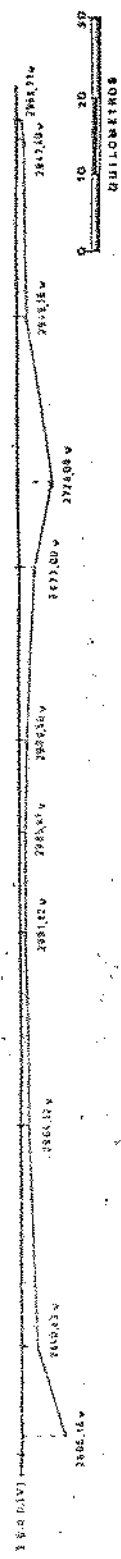


Figura 6.17

Esgotado o tempo de simulação especificado, é emitido um relatório elétrico e operacional do sistema, acompanhado de um diagrama do movimento dos trens.

CRITERIO DO DESEMPENHO ELETTRICO		132,384	MW/HORA
TEMPO DE SIMULACAO		341 HORAS	
TEMPOS DE ESPERA * MINUTOS			
TREM	P86	*	24,00
TREM	P85	*	30,00
TREM	P88	*	15,00
TREM	P87	*	3,00
TREM	P108	*	24,00
CRITERIO DO ATRASO		48,400	MINUTOS

Figura 6.18

REPRESENTAÇÃO GRÁFICA DO MOVIMENTO DOS TRENS

DIAGRAMA ESPAÇO X TEMPO

* TREM NO SENTIDO IMPORTAÇÃO

* TREM NO SENTIDO EXPORTAÇÃO

PARADAS PROGRAMADAS + KM. ESTAÇÃO

174,0	ITIRÁ
133,8	RCIAR
105,9	LIREI
82,9	AMERI
69,6	SUMAR
49,0	CAMPÉ
1,8	JUNDIAÍ

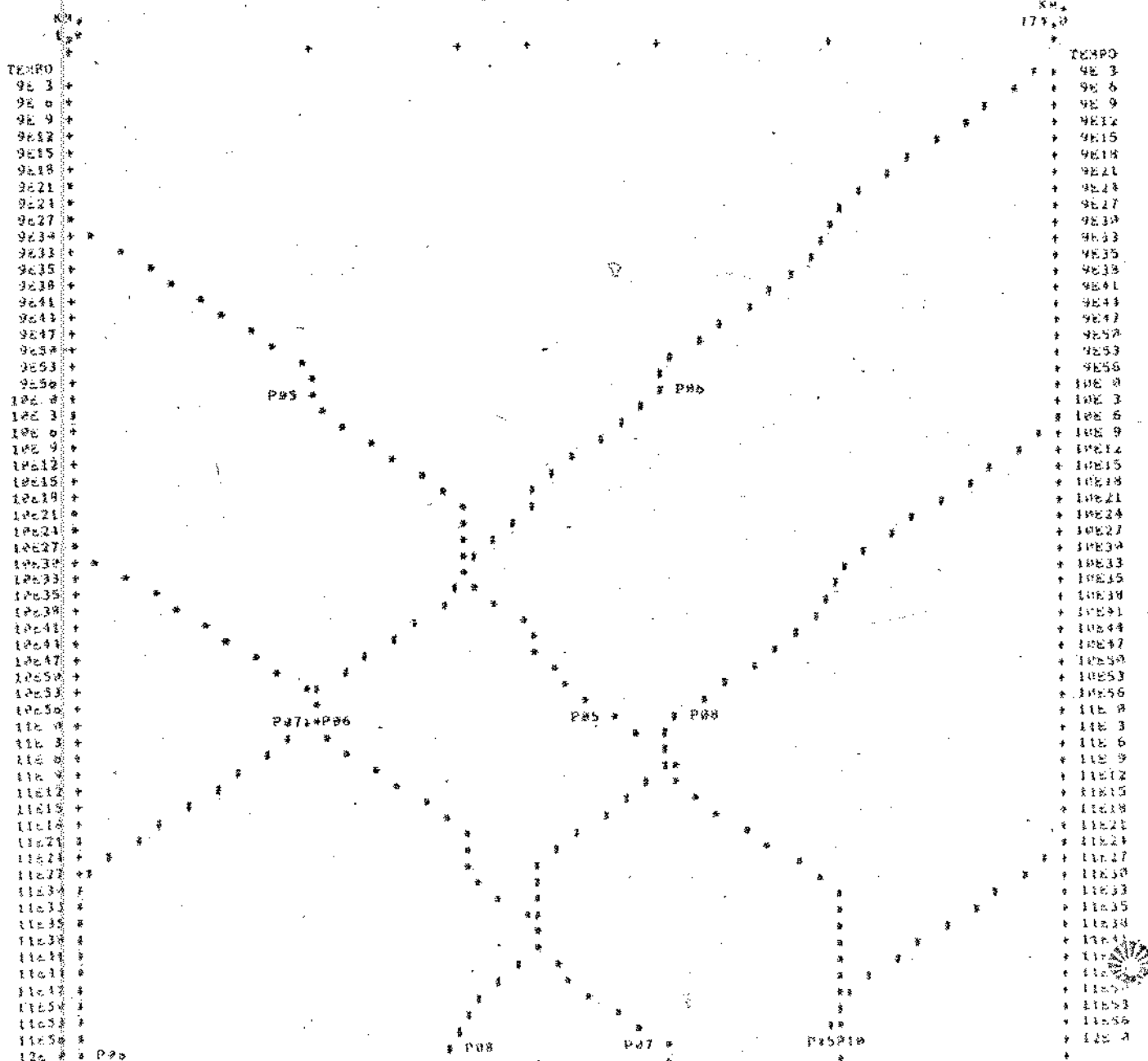


Figura 6.19

CAPÍTULO VII

7 - CONCLUSÕES

No Brasil, país de dimensões continentais, que jamais chegou a contar com uma rede ferroviária adequada, sente-se a necessidade de valorizar tal meio de transporte, dele retirando os benefícios que só uma densa malha ferroviária eletrificada pode proporcionar.

O modelo de simulação proposto neste trabalho pode ser eficientemente aplicado ao estudo do planejamento de tais malhas. Um estudo exaustivo da rede, perfeitamente viável em computador, pode fornecer os subsídios necessários para uma futura interligação dos sistemas ferroviários do país, estabelecendo as condições operacionais e elétricas de uma perfeita malha ferroviária interligada.

A representação das locomotivas, por meio de equações terminais, baseadas nas curvas de saturação dos motores para diferentes velocidades de referência, e dos sistemas elétricos de alimentação em corrente contínua, possibilita manipular diretamente as variáveis de maior interesse elétrico (quedas de tensão e correntes), como também as de caráter operacional (velocidades, acelerações, etc). Assim, o algoritmo de simulação desenvolvido neste estudo, justifica sua aplicação imediata em níveis de operação, o que demonstra a versatilidade que este modelo encerra.

Uma sequência da pesquisa deverá incluir o desenvolvimento de um algoritmo de otimização, que permita minimizar uma determinada função objetivo, através da aplicação de controles ótimos sobre os trens (3). Existe também a possibilidade de se aproveitar este trabalho, para a aplicação de um método de alocação ótima de sub-estações de tração, em planejamento a médio e longo prazo (14). Outra abertura à pesquisa, é generalizar o algoritmo apresentado, para sistemas ferroviários eletrificados em corrente alternada, usando métodos desacoplados (9).

APÊNDICE A

Neste apêndice será mostrado o método usado para aproximar as curvas características dos motores de tração e das locomotivas, por equações matemáticas pré-fixadas.

A.1 - O MÉTODO ITERATIVO

Este método estima os parâmetros de uma equação a multivariáveis da forma:

$$Y = F(x_1, x_2, \dots, x_K; A_0, A_1, A_2, \dots, A_M) \quad (A.1)$$

utilizando N pontos como dados de entrada para y_i e x_{ki} , $i = 1, 2, \dots, N$ e $k = 1, 2, \dots, K$.

A idéia do método se baseia em uma linearização do modelo proposto, utilizando-se de uma função objetivo de mínimos quadrados.

A.2 - O DESENVOLVIMENTO DO MÉTODO

O modelo é linearizado, expandindo-se y_i em uma série de Taylor sobre os valores práticos fornecidos, restando-se apenas os termos lineares:

$$y_i = y_i^{(0)} + \left[\frac{\partial y_i}{\partial A_0} \right]^{(0)} \Delta A_0 + \left[\frac{\partial y_i}{\partial A_1} \right]^{(0)} \Delta A_1 + \dots + \left[\frac{\partial y_i}{\partial A_M} \right]^{(0)} \Delta A_M \quad (A.2)$$

$$\text{onde } \Delta A_j = [A_j^* - A_j^{(0)}], \quad j = 0, 1, 2, \dots, M$$

(*) valor esperado

(0) valor inicial suposto

Uma função objetivo de mínimos quadrados é formulada:

$$\text{minimizar } \xi = [\hat{Y} - Y]^T [\hat{Y} - Y] \quad (A.3)$$

onde (*) valor especificado

Chamando em um iteração (v) qualquer:

$$M(v) = \begin{bmatrix} \frac{\partial Y_1(v)}{\partial A_0} & \frac{\partial Y_1(v)}{\partial A_1} & \dots & \frac{\partial Y_1(v)}{\partial A_M} \\ \frac{\partial Y_2(v)}{\partial A_0} & & & \\ \frac{\partial Y_N(v)}{\partial A_0} & \dots & \frac{\partial Y_N(v)}{\partial A_M} \end{bmatrix}$$

$$\underline{\Delta Y}(v) = \begin{bmatrix} \dot{Y}_1 - Y_1(v) \\ \dot{Y}_2 - Y_2(v) \\ \vdots \\ \dot{Y}_N - Y_N(v) \end{bmatrix}$$

e

$$\underline{\Delta A}(v) = \begin{bmatrix} A_0^* - A_0(v) \\ A_1^* - A_1(v) \\ \vdots \\ A_N^* - A_N(v) \end{bmatrix}$$

o desenvolvimento em Taylor fica:

$$\underline{Y} = \underline{Y}^{(v)} + M(v) \cdot \underline{\Delta A}(v) \quad (A.4)$$

Substituindo-se o modelo linearizado na função objetivo e igualando-se as derivadas parciais desta função, com relação a cada coeficiente, a zero:

$$\frac{\partial \xi}{\partial A_j} = 0 \quad , \quad j = 0, 1, 2, \dots, M \quad (A.5)$$

$$\text{resulta} \quad (M(v))^T \cdot (\dot{Y} - Y(v)) = (M(v))^T \cdot M(v) \cdot \underline{\Delta A}(v) \quad (A.6)$$

e portanto

$$\underline{\Delta A}(v) = \left[(M(v))^T \cdot M(v) \right]^{-1} \cdot (M(v))^T \cdot (\dot{Y} - Y(v)) \quad (A.7)$$

O método Marquardt (7) se caracteriza por acrescentar um fator λ a cada termo da diagonal principal da matriz $(M(v))^T \cdot M(v)$, modificando o sistema de equações algébricas

cas lineares formado por (A.7), para:

$$\Delta \underline{A}^{(v)} = \left[(\underline{M}^{(v)})^T \cdot \underline{M}^{(v)} + \lambda I \right]^{-1} \cdot (\underline{M}^{(v)})^T \cdot (\underline{y} - \underline{\hat{y}}^{(v)}) \quad (A.8)$$

Os métodos do tipo Newton convergem quando a estimativa inicial estiver próxima da solução. Quando uma boa estimativa não for disponível, o método apresenta problemas de convergência. Para evitar tais problemas, nas primeiras iterações λ assume valores grandes, e o método se torna idêntico a um "Steepest Descent". Porém, à medida que o ótimo se aproxima, λ assume valores pequenos, e o método se reduz a um Gauss-Newton.

A.3 - A APLICAÇÃO DO MÉTODO

Neste trabalho utilizou-se várias vezes este algoritmo, para se adequar equações matemáticas às curvas dos motores de tração e das locomotivas. A sequência para a aplicação do método:

- i) obter experimentalmente ou através das curvas do fabricante, os pontos que constituem o arquivo de dados.
- ii) escolher adequadamente um modelo de equação que se ajuste às características da curva prática ou experimental.
- iii) escolher valores apropriados para os coeficientes da equação, visando um tempo de solução reduzido.
- iv) aplicar o algoritmo.

Para exemplificar vamos supor uma determinada aplicação do método:

- i) conjunto de dados formado por \hat{x}_i e \hat{y}_i
 $i = 1, 2, 3$

- ii) modelo de um polinômio em grau 3

$$y = A_0 + A_1 x + A_2 x^2 + A_3 x^3$$

iii) valores iniciais $A_j^{(0)}$, $j = 0, 1, 2, 3$

iv) aplicar o algoritmo:

passo 1 - $v = 0$

$$\text{passo } 2 - y_i^{(v)} = A_0^{(v)} + A_1^{(v)} \hat{x}_i + A_2^{(v)} \hat{x}_i^2 + A_3^{(v)} \hat{x}_i^3$$

$$i = 1, 2, 3$$

$$\text{passo } 3 - \Delta y^{(v)} = (\hat{y}_i - y_i^{(v)}) , \quad i = 1, 2, 3$$

$$\text{passo } 4 - M^{(v)} = \left[\begin{array}{cccc} \frac{\delta y_i^{(v)}}{\delta A_0} & \frac{\delta y_i^{(v)}}{\delta A_1} & \frac{\delta y_i^{(v)}}{\delta A_2} & \frac{\delta y_i^{(v)}}{\delta A_3} \end{array} \right]$$

$$i = 1, 2, 3$$

$$\text{passo } 5 - \underline{\Delta A}^{(v)} = \left[(M^{(v)})^T \cdot M^{(v)} + \lambda I \right]^{-1} \cdot (M^{(v)})^T \cdot \Delta y^{(v)}$$

passo 6 - satisfaz convergência?

passo 7 - não: $v = v+1$

$$\underline{A}^{(v)} = \underline{A}^{(v-1)} + \underline{\Delta A}^{(v-1)}$$

volta ao passo 2.

$$\text{passo } 8 - \text{sim: } \underline{A}^* = \underline{A}^{(v)} + \underline{\Delta A}^{(v)}$$

fim.

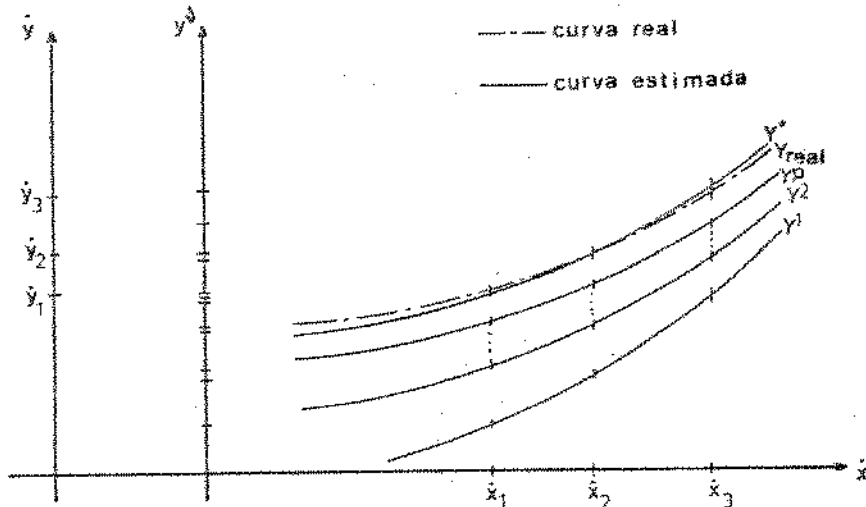


Figura A.1

APÊNDICE B

Neste apêndice será mostrada a solução de equações algébricas lineares, através da aplicação de operações elementares sobre matrizes esparsas.

B.1 - MÉTODO DA ELIMINAÇÃO DE GAUSS

Em várias fases deste trabalho buscou-se a solução \underline{x} de um sistema de equações lineares da forma

$$A\underline{x} = \underline{b} \quad (B.1)$$

$$\begin{bmatrix} a_{11} & a_{12} & a_{13} \dots & a_{1n} \\ a_{21} & a_{22} & a_{23} \dots & a_{2n} \\ a_{n1} & a_{n2} \dots & \dots & a_{nn} \end{bmatrix} \begin{bmatrix} x_1 \\ x_2 \\ x_n \end{bmatrix} = \begin{bmatrix} b_1 \\ b_2 \\ b_n \end{bmatrix}$$

O processo da eliminação de Gauss se desenvolve em duas etapas, e consiste em eliminar sucessivamente as linhas e colunas da matriz A, até que fique reduzida à identidade.

i) etapa "FORWARD" - (zerar o triângulo inferior da matriz)

$$\begin{bmatrix} 1 & a'_{12} & a'_{13} \dots & a'_{1n} \\ 0 & 1 & a'_{23} \dots & a'_{2n} \\ 0 & 0 \dots & \dots & 1 \end{bmatrix} \begin{bmatrix} x_1 \\ x_2 \\ x_n \end{bmatrix} = \begin{bmatrix} b'_1 \\ b'_2 \\ b'_n \end{bmatrix} \quad (B.2)$$

ii) etapa "BACKWARD" - (zerar o triângulo superior da matriz)

$$\begin{bmatrix} 1 & 0 & 0 \dots & 0 \\ 0 & 1 & 0 \dots & 0 \\ 0 \dots & \dots & \dots & 1 \end{bmatrix} \begin{bmatrix} x_1 \\ x_2 \\ x_n \end{bmatrix} = \begin{bmatrix} b''_1 \\ b''_2 \\ b''_n \end{bmatrix} \quad (B.3)$$

Desta forma, a solução do sistema de equações (B.1) fica determinada.

Um exemplo prático ilustrará melhor o método:

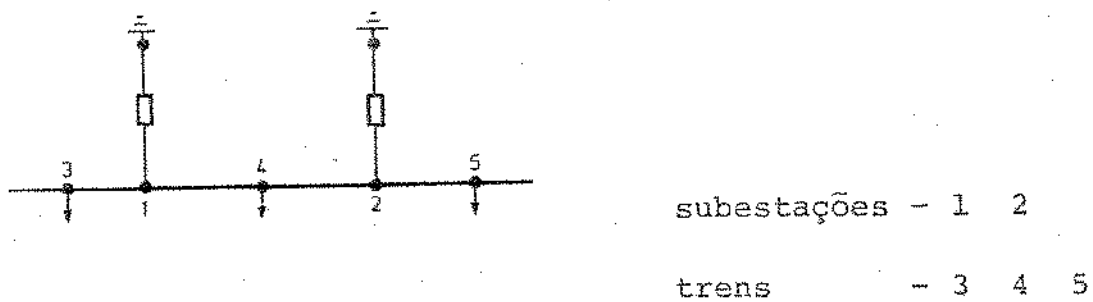


Figura B.1

O sistema de equações algébricas lineares a ser resolvido:

$$Y \cdot \Delta U = I \quad (B.4)$$

onde:

$$I = \begin{bmatrix} 0 \\ 0 \\ i_3 \\ i_4 \\ i_5 \end{bmatrix} \quad - \text{vetor de correntes}$$

$$Y = \begin{bmatrix} Y_{11} & 0 & Y_{13} & Y_{14} & 0 \\ 0 & Y_{22} & 0 & Y_{24} & Y_{25} \\ Y_{31} & 0 & Y_{33} & 0 & 0 \\ Y_{41} & Y_{42} & 0 & Y_{44} & 0 \\ 0 & Y_{52} & 0 & 0 & Y_{55} \end{bmatrix} \quad - \text{matriz admitância}$$

ΔU - vetor de quedas de tensão

Aplicando as etapas do método à matriz Y :

"FORWARD" -

PASSO 1

$$\begin{bmatrix} Y_{11} & 0 & Y_{13} & Y_{14} & 0 \\ 0 & Y_{22} & 0 & Y_{24} & Y_{25} \\ 0 & 0 & \frac{1}{Y_{33}} & \frac{1}{Y_{34}} & 0 \\ Y_{41} & Y_{42} & 0 & Y_{44} & 0 \\ 0 & Y_{52} & 0 & 0 & Y_{55} \end{bmatrix} = Y_1$$

PASSO 2

$$\begin{bmatrix} Y_{11} & 0 & Y_{13} & Y_{14} & 0 \\ 0 & Y_{22} & 0 & Y_{24} & Y_{25} \\ 0 & 0 & Y_{33}^1 & Y_{34}^1 & 0 \\ 0 & Y_{42} & Y_{43}^2 & Y_{44}^2 & 0 \\ 0 & Y_{52} & 0 & 0 & Y_{55} \end{bmatrix} = Y_2$$

PASSO 3

$$\begin{bmatrix} Y_{11} & 0 & Y_{13} & Y_{14} & 0 \\ 0 & Y_{22} & 0 & Y_{24} & Y_{25} \\ 0 & 0 & Y_{33}^1 & Y_{34}^1 & 0 \\ 0 & 0 & Y_{43}^2 & Y_{44}^3 & Y_{45}^3 \\ 0 & Y_{52} & 0 & 0 & Y_{55} \end{bmatrix} = Y_3$$

PASSOS
7,8,9,10,11

$$\begin{bmatrix} 1 & 0 & Y_{13}^7 & Y_{14}^7 & 0 \\ 0 & 1 & 0 & Y_{24}^8 & Y_{25}^8 \\ 0 & 0 & 1 & Y_{34}^9 & 0 \\ 0 & 0 & 0 & 1 & Y_{45}^{10} \\ 0 & 0 & 0 & 0 & 1 \end{bmatrix} = Y_{11}$$

"BACKWARD" -

PASSO 12

$$\begin{bmatrix} 1 & 0 & Y_{13}^7 & Y_{14}^7 & 0 \\ 0 & 1 & 0 & Y_{24}^8 & Y_{25}^8 \\ 0 & 0 & 1 & Y_{34}^9 & 0 \\ 0 & 0 & 0 & 1 & 0 \\ 0 & 0 & 0 & 0 & 1 \end{bmatrix} = Y_{12}$$

$$\text{PASSO 13} \quad \left[\begin{array}{ccccc} 1 & 0 & y_{13}^7 & y_{14}^7 & 0 \\ 0 & 1 & 0 & y_{24}^8 & y_{25}^8 \\ 0 & 0 & 1 & 0 & 0 \\ 0 & 0 & 0 & 1 & 0 \\ 0 & 0 & 0 & 0 & 1 \end{array} \right] = y_{13}$$

$$\text{PASSO 17} \quad \left[\begin{array}{ccccc} 1 & 0 & 0 & 0 & 0 \\ 0 & 1 & 0 & 0 & 0 \\ 0 & 0 & 1 & 0 & 0 \\ 0 & 0 & 0 & 1 & 0 \\ 0 & 0 & 0 & 0 & 1 \end{array} \right] = y_{17}$$

B.2 - DECOMPOSIÇÃO LDU

As mesmas etapas realizadas no ítem anterior, podem ser interpretadas através de operações elementares com matrizes :

"FORWARD" -

$$\text{PASSO 1} \quad \left[\begin{array}{ccccc} 1 & 0 & 0 & 0 & 0 \\ 0 & 1 & 0 & 0 & 0 \\ -y_{31}/y_{11} & 0 & 1 & 0 & 0 \\ 0 & 0 & 0 & 1 & 0 \\ 0 & 0 & 0 & 0 & 1 \end{array} \right] \cdot Y = Y_1$$

$$\text{PASSO 2} \quad \left[\begin{array}{ccccc} 1 & 0 & 0 & 0 & 0 \\ 0 & 1 & 0 & 0 & 0 \\ 0 & 0 & 1 & 0 & 0 \\ -y_{41}/y_{11} & 0 & 0 & 1 & 0 \\ 0 & 0 & 0 & 0 & 1 \end{array} \right] \cdot Y_1 = Y_2$$

PASSO 3

$$\left[\begin{array}{ccccc} 1 & 0 & 0 & 0 & 0 \\ 0 & 1 & 0 & 0 & 0 \\ 0 & 0 & 1 & 0 & 0 \\ 0 & -y_{42}/y_{22} & 0 & 1 & 0 \\ 0 & 0 & 0 & 0 & 1 \end{array} \right] \cdot y_2 = y_3$$

PASSOS
7,8,9,10 e 11

$$\left[\begin{array}{ccccc} 1/y_{11} & 0 & 0 & 0 & 0 \\ 0 & 1/y_{22} & 0 & 0 & 0 \\ 0 & 0 & 1/y_{33}^1 & 0 & 0 \\ 0 & 0 & 0 & 1/y_{44}^4 & 0 \\ 0 & 0 & 0 & 0 & 1/y_{55}^6 \end{array} \right] \cdot y_6,7,8,9,10 = \\ = y_{7,8,9,10,11}$$

"BACKWARD" -

PASSO 12

$$\left[\begin{array}{ccccc} 1 & 0 & 0 & 0 & 0 \\ 0 & 1 & 0 & 0 & 0 \\ 0 & 0 & 1 & 0 & 0 \\ 0 & 0 & 0 & 1 & -y_{45}^{10} \\ 0 & 0 & 0 & 0 & 1 \end{array} \right] \cdot y_{11} = y_{12}$$

PASSO 13

$$\left[\begin{array}{ccccc} 1 & 0 & 0 & 0 & 0 \\ 0 & 1 & 0 & 0 & 0 \\ 0 & 0 & 1 & -y_{34}^9 & 0 \\ 0 & 0 & 0 & 1 & 0 \\ 0 & 0 & 0 & 0 & 1 \end{array} \right] \cdot y_{12} = y_{13}$$

PASSO 17

$$\begin{bmatrix} 1 & 0 & -y_{13}^7 & 0 & 0 \\ 0 & 1 & 0 & 0 & 0 \\ 0 & 0 & 1 & 0 & 0 \\ 0 & 0 & 0 & 1 & 0 \\ 0 & 0 & 0 & 0 & 1 \end{bmatrix}$$

$$y_{16} = y_{17}$$

Classificando-se as matrizes operadoras dos passos de 1 a 6 como um "operador inferior", as matrizes dos passos de 12 a 17 como um "operador superior" e as dos passos de 7 a 11 como um "operador diagonal", e, sobrepondo-se (multiplicando-se) estes operadores inferior, diagonal e superior, resulta a chamada Decomposição LDU.

$$\begin{bmatrix} y_{11} & 0 & y_{13} & y_{14} & 0 \\ 0 & y_{22} & 0 & y_{24} & y_{25} \\ y_{31} & 0 & y_{33} & 0 & 0 \\ y_{41} & y_{42} & 0 & y_{44} & 0 \\ 0 & y_{52} & 0 & 0 & y_{55} \end{bmatrix}$$

$$= \begin{bmatrix} 1 & 0 & 0 & 0 & 0 \\ 0 & 1 & 0 & 0 & 0 \\ y_{31}/y_{41} & 0 & 1 & 0 & 0 \\ y_{41}/y_{11} & y_{42}/y_{22} & y_{43}^2/y_{33}^1 & 1 & 0 \\ 0 & y_{52}/y_{22} & 0 & y_{54}^5/y_{44}^4 & 1 \end{bmatrix}$$

$$\begin{bmatrix} y_{11} & 0 & 0 & 0 & 0 \\ 0 & y_{22} & 0 & 0 & 0 \\ 0 & 0 & y_{33}^1 & 0 & 0 \\ 0 & 0 & 0 & y_{44}^4 & 0 \\ 0 & 0 & 0 & 0 & y_{55}^6 \end{bmatrix}$$

$$\begin{bmatrix} 1 & 0 & y_{13}^7 & y_{14}^7 & 0 \\ 0 & 1 & 0 & y_{24}^8 & y_{25}^8 \\ 0 & 0 & 1 & y_{34}^9 & 0 \\ 0 & 0 & 0 & 1 & y_{45}^{10} \\ 0 & 0 & 0 & 0 & 1 \end{bmatrix}$$

$$Y = L \cdot D \cdot U$$

(B.5)

B.3 - APLICAÇÃO EM MATRIZES ESPARSAS

Resolvendo-se o sistema de equações algébricas lineares dado por (B.4), e utilizando-se as relações e operadores definidos, obtem-se :

$$\Delta \underline{U} = (U_{45}(U_{34}(U_{25}(U_{24}(U_{14}(U_{13}(D_5(D_4(D_3(D_2(D_1(L_{54}(L_{52}(L_{43} \dots \\ (L_{42}(L_{41}(L_{31}(I) \dots)) \quad (B.6)$$

Como a matriz Y é simétrica, outra vantagem computacional pode ser obtida, uma vez que se verifica a relação :

$$L^T = U \quad (B.7)$$

Portanto,

$$\Delta \underline{U} = (U_{45}(U_{34}(U_{25}(U_{24}(U_{14}(U_{13}(D_5(D_4(D_3(D_2(D_1(U_{45}(U_{25}(U_{34} \dots \\ (U_{24}(U_{14}(U_{13}(I) \dots))$$

Isto significa que, para se transformar o vetor de correntes (I) no vetor solução ($\Delta \underline{U}$), basta apenas conhecer os valores de

u_{kl} e d_{kk} - elemento não nulo da linha k e coluna l da triangular superior (U) e pivô da linha k da diagonal (D).

Porém, se a matriz além de simétrica também for esparsa, é possível armazenar os elementos e apontadores dos elementos não nulos em vetores de dimensão reduzida, economizando-se muita memória.

Utilizando-se para o exemplo o armazenamento proposto por Tinney (15), evidencia-se a economia de memória:

D	LOCY	U	KOLY
d_{11}	1	u_{13}	3
d_{22}	3	u_{14}	4

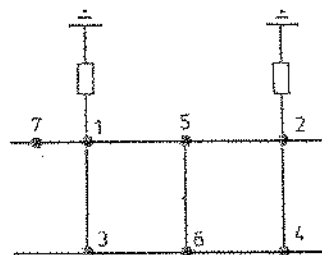
D	LOCY	U	KOLY
d_{33}	5	u_{24}	4
d_{44}	6	u_{25}	5
d_{55}	-	u_{34} u_{45}	4 5

B.4 - OS CRITÉRIOS DE ORDENAÇÃO

O esforço computacional depende basicamente do número de termos não nulos das matrizes triangulares usadas, e é fácil constatar (ver eliminação no exemplo do item B.1) que a esparsidade da matriz triangularizada, é afetada pela ordem de pivoteamento na matriz original. Portanto é conveniente adotar-se critérios de ordenação, visando reduzir ao mínimo o número de elementos não nulos das matrizes triangulares (L) ou (U). Os critérios de ordenação equivalem a uma renúmeração dos nós, e consequentemente das equações.

Segue-se alguns esquemas básicos de renúmeração:

i) qualquer -



matriz Y
original

X	X	X	X
X		X X	
X	X		X
X		X	X
X X		X X	
	X X	X X	X
X			

matriz U
triangular

X	X	X	X
X		X X	
X			X X
	X		X X
		X X	X X
			X
			X

Figura B.2

(X) elemento original

(-) elemento novo

ii) banda - a ordenação se inicia por um nó arbitrário; a seguir são numerados todos os nós vizinhos (um ramo); em seguida são numerados todos os nós vizinhos dos nós resultantes do passo anterior, e assim por diante até que todos os nós tenham sido numerados.

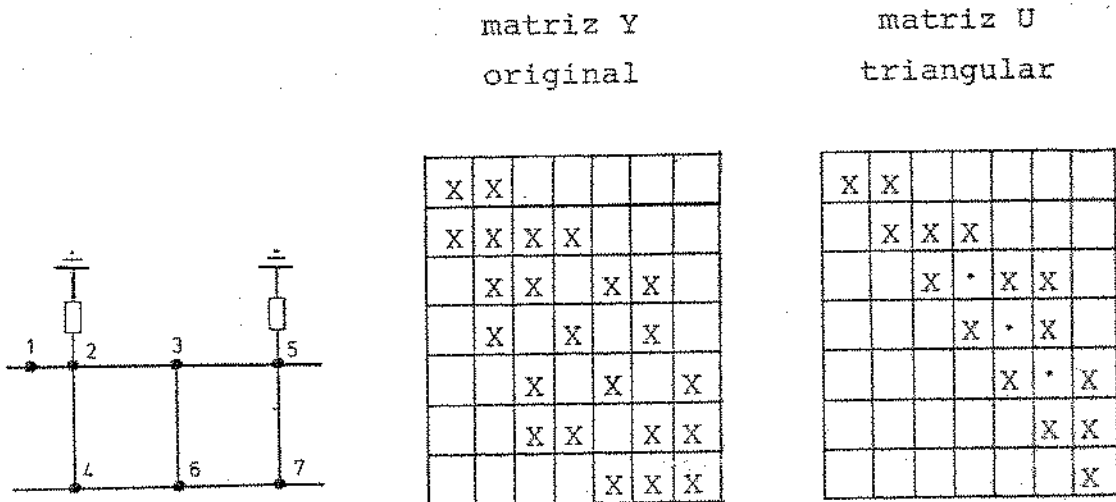


Figura B.3

iii) grau mínimo - a ordenação é feita segundo o número de ligações dos nós no circuito original.

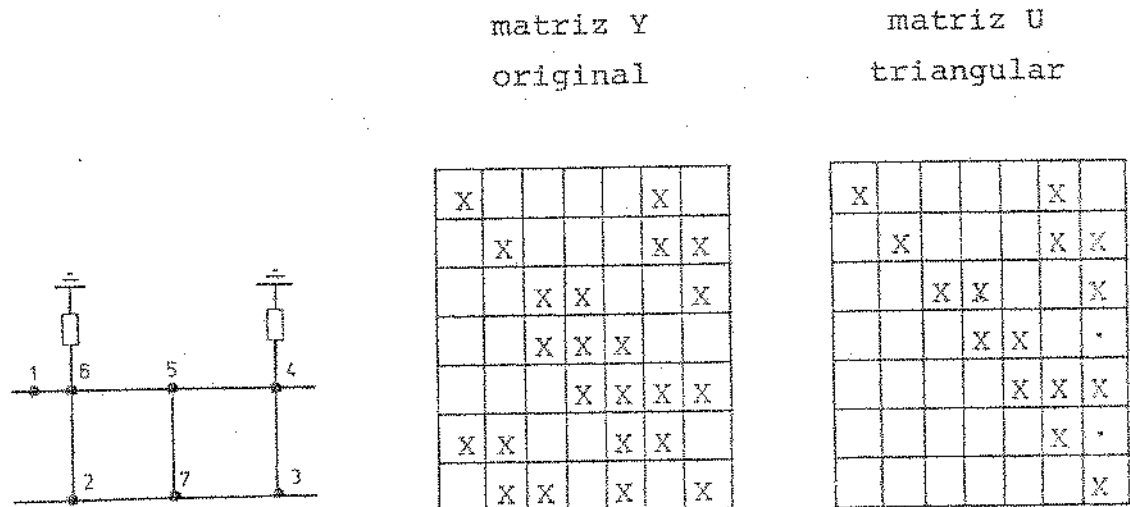
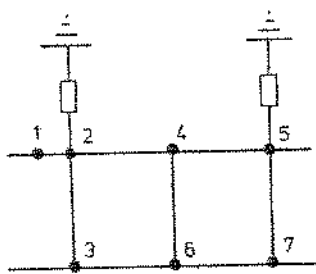


Figura B.4

iv) grau mínimo dinâmico - a ordenação é feita seguindo o número de ligações dos nós no circuito reduzido, considerando-se eliminados todos os nós já processados. Isto equivale a formar, a cada passo, a equação com o menor número de elementos não nulos na matriz reduzida.

matriz Y
original

matriz U
triangular



X	X					
X	X	X	X			
	X	X			X	
	X		X	X	X	
		X	X		X	
		X	X	X	X	
			X	X	X	

X	X					
	X	X	X			
		X	*	X		
			X	X	X	
				X	*	X
					X	X
						X

Figura B.5

Pode-se formular outros critérios mais elaborados, que levam a ganhos de memória maiores, mas exigem programação mais sofisticada, e que contudo só se justificam quando a rede é excepcionalmente grande.

APÊNDICE C

Neste apêndice serão mostrados os algoritmos básicos para a determinação das características $F(V)$ - tração e regeneração, a partir das curvas de saturação e rendimento do motor.

C.1 - CURVAS DE SATURAÇÃO E RENDIMENTO DO MOTOR

A curva que mostra a relação entre a tensão nos terminais e a corrente de campo, quando a máquina C.C. estiver alimentando uma determinada corrente de carga, é chamada curva de saturação com carga.

A figura C.1 mostra as curvas de saturação com carga de um motor G.E. 729, 1500 volts C.C., para valores graduados de campo.

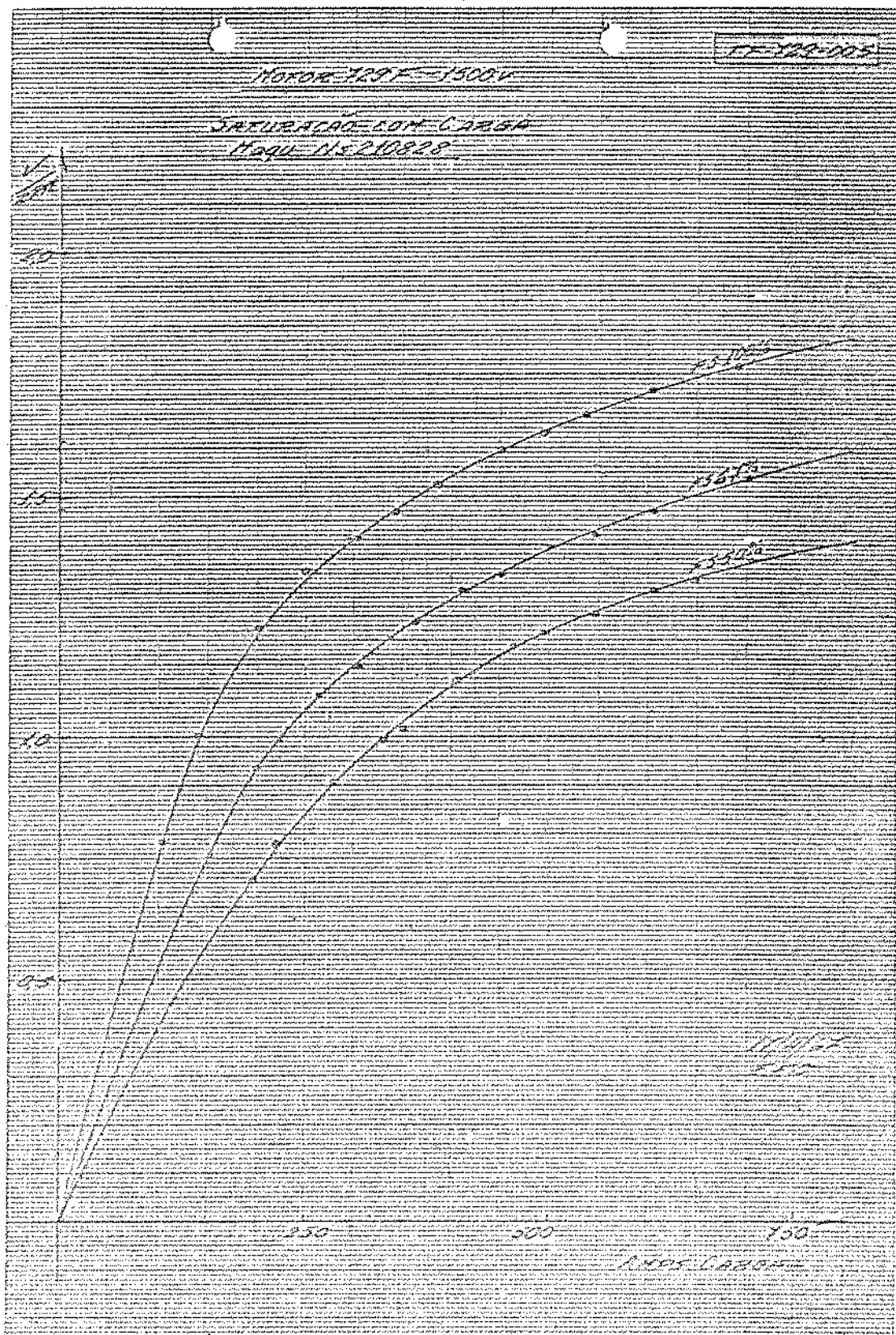


Figura C.1

Dividem-se as perdas principais de energia na maquinaria de corrente contínua em perdas no cobre, no ferro e por atrito, subdivididos como segue (6).

- Perdas no cobre:

- perdas nos enrolamentos de campo paralelo
- perdas nos enrolamentos de campo série
- perdas nos enrolamentos do induzido

- Perdas no ferro:

- perdas por histerese
- perdas por correntes parasitas

- Perdas por atrito:

- perdas por atrito das escovas
- perdas por atrito nos mancais
- perdas pela resistência oposta pelo ar em movimento

O rendimento (η) das máquinas C.C., semelhante ao de transformadores ou de qualquer dispositivo de transformação de energia, é dado por:

$$\eta = 1 - \frac{\text{perdas}}{\text{entrada}} \quad (\text{C.1})$$

O rendimento obtido através das perdas tem a vantagem de conveniência e economia, além de produzir valores mais exatos e precisos do rendimento, pois um dado erro percentual na medição de perdas produz apenas cerca de um décimo deste erro percentual no rendimento. Os rendimentos determinados por medições de perdas podem ser usados para comparar máquinas competitivas, pois são usados em cada caso exatamente os métodos de medição e cálculo.

A figura C.2 mostra as curvas de rendimento do mesmo motor G.E. 729, 1500 volts C.C., para os mesmos valores de campo em paralelo.

GE-729 1500/3000 VOLT RAILWAY MOTOR

CHARACTERISTIC CURVES ON 1500 VOLTS

A-4748007 X-4718794 C-4718796

Gear 71 Teeth Reduction 3.381

Pinion 21 Teeth Wheel Dia. 46"

% EFFICIENCY

100

90

80

70

60

50

40

30

20

10

0

FS-1
FS-2
FS-3
FS-4
FS-5

FS-1
FS-2
FS-3

0 100 200 300 400 500 600 700 800 AMPERES

B-H384268

Figura C,2

C.2 - RELAÇÕES ENTRE CORRENTE, ESFORÇO TRATOR, VELOCIDADE E ESFORÇO DE FRENAGEM

i) A velocidade de uma roda pode ser dada por :

$$V = \pi \cdot D \cdot \left(\frac{N}{60} \right) \quad (C.2)$$

onde D = diâmetro da roda

N = rotações por minuto

ii) Usando-se a relação entre a rotação da roda e a rotação do motor, dada por :

$$\frac{N}{(\text{motor})} = \frac{N}{(\text{roda})} \times R_T \quad (C.3)$$

onde R_T = relação de transmissão

$$V = \frac{\pi \cdot D}{60} \cdot \left(\frac{N_{\text{motor}}}{R_T} \right) \quad (C.4)$$

Como é usual em ferrovia V (km/h) e D (poleg.), a relação (C.4) pode ser reescrita:

$$\frac{N_{\text{motor}}}{V} \approx 209 \cdot \frac{R_T}{D} \quad (C.5)$$

iii) Das relações fundamentais (2.2) e (2.3)

$$C = K_0 \cdot \frac{E}{N} \cdot I \quad (C.6)$$

onde $K_0 = K_1 \cdot K_2^{-1}$

que fornece o valor do conjugado no eixo do motor de tração.

O conjugado real na roda fica então dado por:

$$C = K_0 \cdot R_T \cdot \frac{E}{N} \cdot I \cdot n \quad (C.7)$$

onde η - fator que leva em conta as perdas de conjugado na transmissão.

iv) Da expressão geral do conjugado para o sistema MKS :

$$C \approx 0,9773 \cdot \frac{E}{N} \cdot I \quad (C.8)$$

Igualando-se à expressão (C.7) :

$$C \approx 0,9773 \cdot R_T \cdot \frac{E}{N} \cdot I \cdot \eta \quad (C.9)$$

$$\text{Dimensionalmente } C = \text{Kg} \times \text{m} = ET \cdot \frac{D}{2}$$

Transformando-se D em polegadas, o valor do Esforço Trator (ET) :

$$ET = 76,7 \cdot \frac{R_T}{D} \cdot \frac{E}{N} \cdot I \cdot \eta \quad (\text{Kg}) \quad (C.10)$$

v) Para o esforço de frenagem, a relação (C.5) é reescrita como:

$$\frac{R_T}{D} = \frac{1}{209} \cdot \frac{N_{\text{motor}}}{V} \quad (C.11)$$

e substituindo-se na relação (C.10), obtém-se a expressão para o esforço resistente de frenagem:

$$EF \approx 0,367 \cdot \frac{E}{N} \cdot I \cdot \frac{N}{V} \cdot \frac{1}{\eta} \quad (\text{Kg}) \quad (C.12)$$

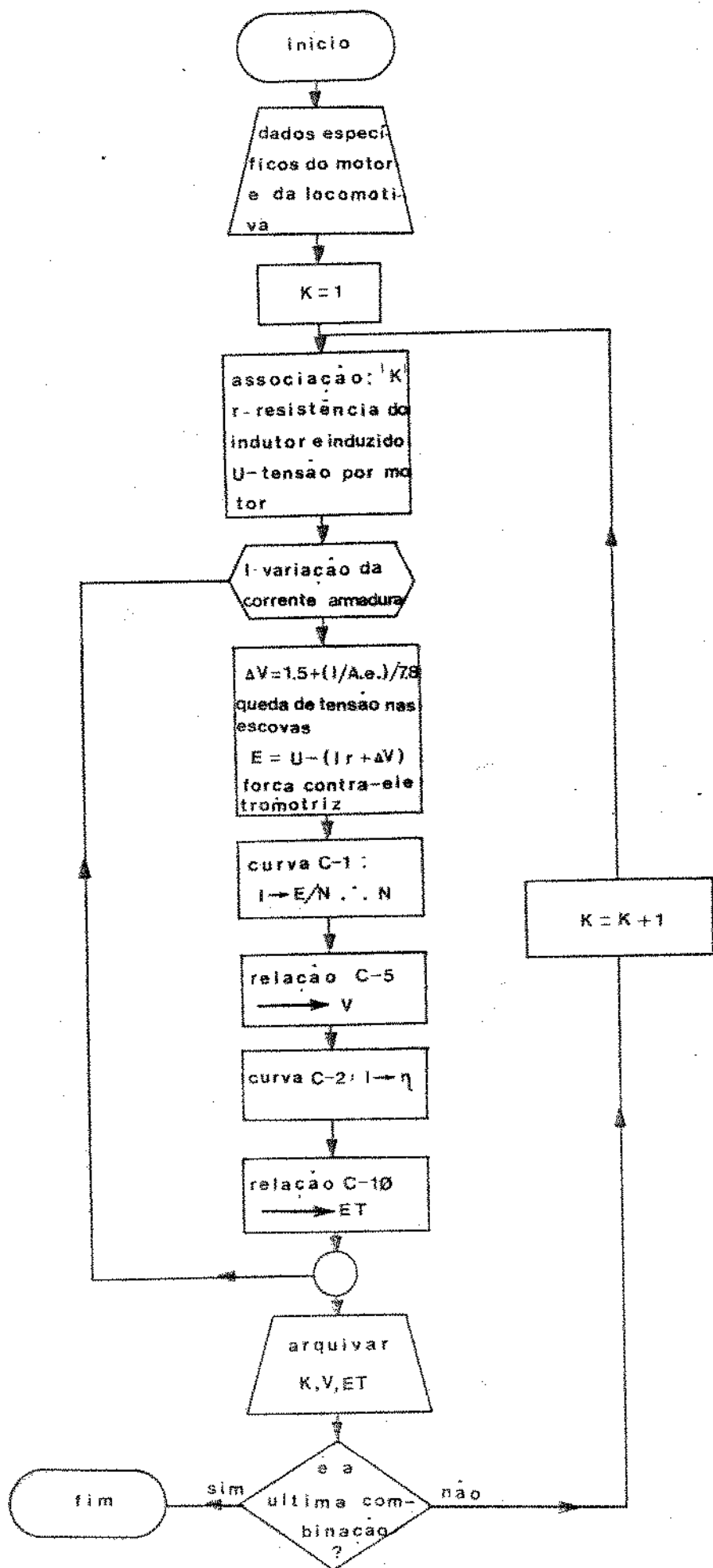


Figura C.3

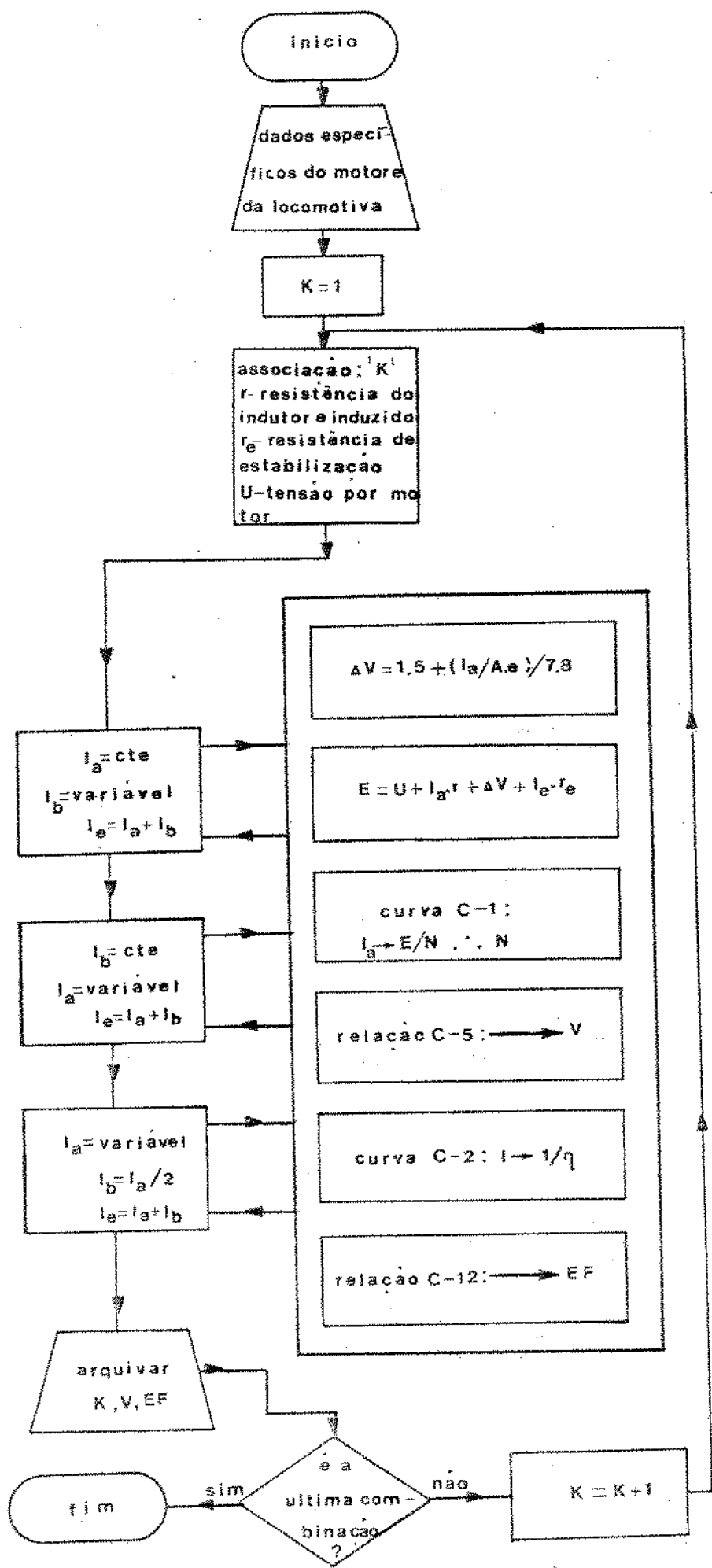


Figura C.4

C.4 - GRÁFICOS DAS FUNÇÕES CARACTERÍSTICAS F(V) DA LOCOMOTIVA

Com os valores determinados pelos algoritmos do item anterior, e usando-se o método de regressão não-linear desenvolvido no Apêndice A, obtém-se funções características F(V) da locomotiva.

Seguem-se os gráficos das funções características da locomotiva elétrica G.E. de 5130 HP - 144 toneladas, tipo C.C., 3000 volts C.C., usados neste trabalho.

CURVAS CARACTERÍSTICAS DE LOCOMOTIVAS

TRAÇÃO

EQUIPAMENTO: MOTORES DE TRAÇÃO GE-229, 1500/3000 +11+

TENSÃO DE LINHA 3600 volts

REDUÇÃO 73/21 DIÂMETRO-RODAS 46"

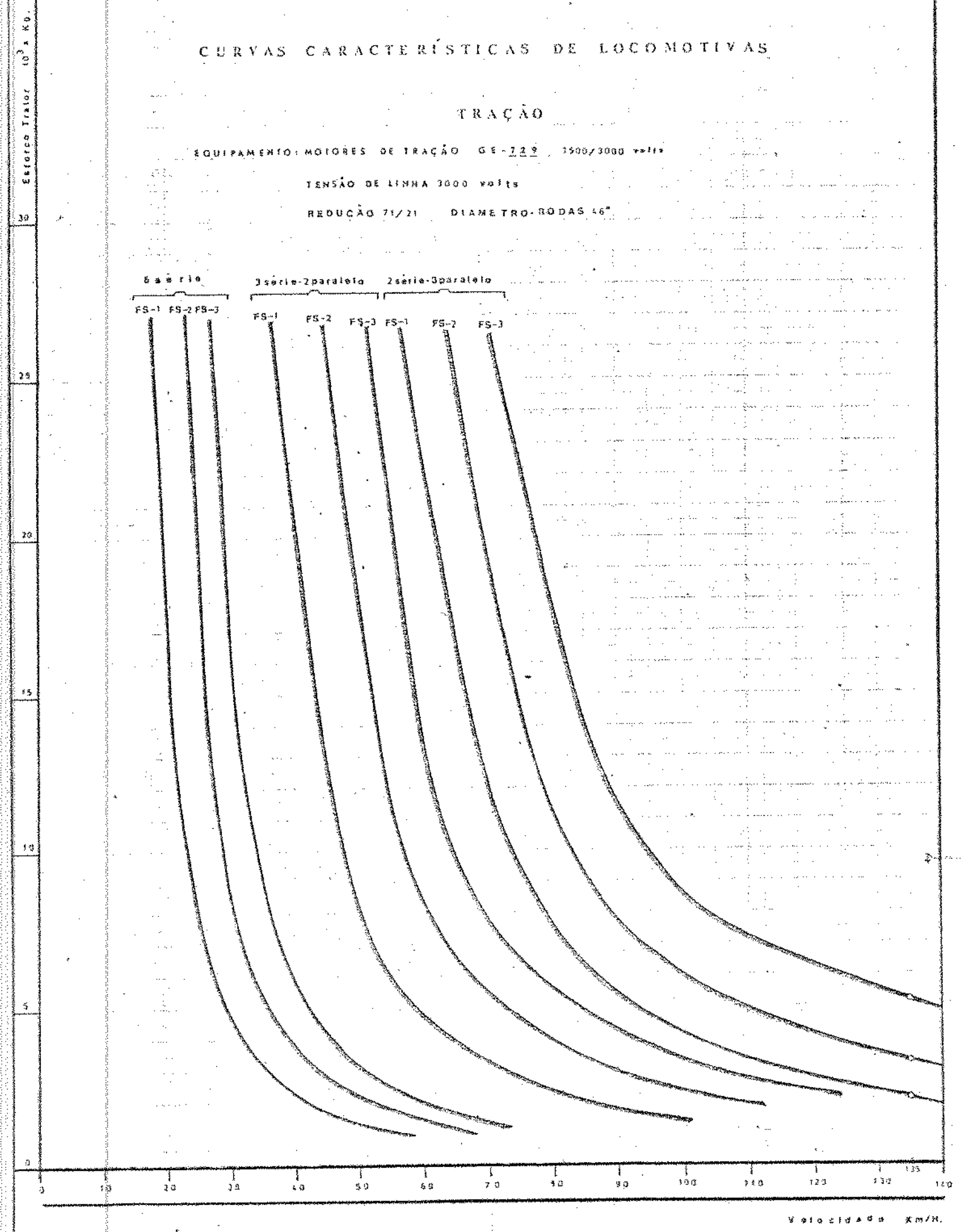


Figura C.5

CURVAS CARACTERÍSTICAS DE LOCOMOTIVAS

FRENAGEM REGENERATIVA

EQUIPAMENTO: MOTORES DE TRAÇÃO GE-725, 1500/3000 VOLTS

TENSÃO DE LINHA 3000 VOLTS

REDUÇÃO 71/21 BIAMETRO-RODAS 45°

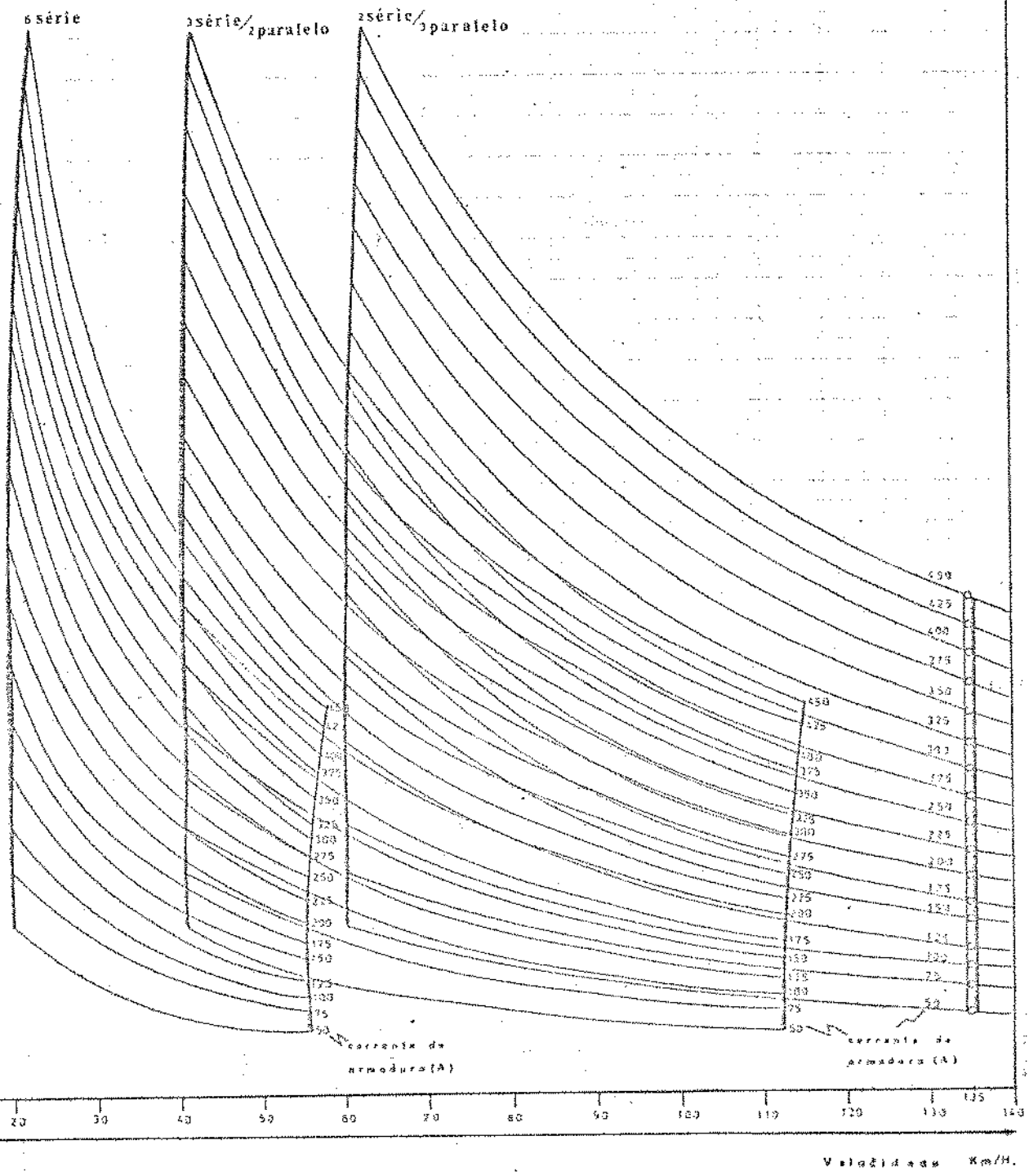


Figura C.6

APÊNDICE D

Neste Apêndice serão mostrados os resultados da simulação do desempenho básico do movimento de um trem.

D.1 - DADOS DE COMPOSIÇÃO

O trem utilizado será o mesmo definido no capítulo VI, ou seja:

DADOS DA COMPOSIÇÃO 1

PESO = 642,48 TON

COMPRIMENTO = 26520 MM

NÚMERO DE LOCOMÓTIVAS = 1

PESO ÚNICO = 144,TON

NÚMERO EIXOS = 6. ÁREA FRONTAL = 17,8 M²

NÚMERO VAGENS = 92

PESO ÚNICO = 56,4 TON

NÚMERO EIXOS = 45. ÁREA FRONTAL = 12,0 M²

CARACTERÍSTICAS DO ELEMENTO TRATOR 1

TIPO	V _{MÍN}	V _{MÁX}	A ₀	A ₁	ET. PARTIDA
6SF51	19,49	55,34	197584,277388888	+2,1282388	195851,09288648
6SF52	22,78	61,81	197247,288888888	+2,1041788	16580,09088648
6SF53	26,19	65,21	197285,773888888	+2,0743588	14583,09288648
352P1	39,53	86,45	268281,913478888	+2,0546388	19580,09288648
352P2	47,97	102,75	231383,648888888	+2,0531748	16580,09288648
352P3	51,92	113,98	211935,152888888	+2,0437498	14580,09288648
252P1	68,99	106,56	514858,792888888	+2,0527828	19580,09288648
252P2	71,37	129,24	352781,749888888	+2,0361798	16582,09288648
243P3	81,25	134,42	148542,273888888	+2,0272488	14583,09288648
	8,78	8,78	8,788888888	-2,0002938	8,788888888
6SF54	20,59	82,46	7346,219888888	+2,0295628	8,700888888
6S160	22,79	82,49	11645,277388888	+2,0295588	8,700888888
6S159	29,92	82,02	18295,177388888	+2,0293688	8,000888888
6S208	21,81	83,33	26758,312888888	+2,0292188	8,000888888
6S258	21,12	83,77	25818,281888888	+2,0290698	8,000888888
6S328	21,22	84,28	38985,112888888	+2,028293128	8,000888888
6S338	21,33	84,51	35942,286388888	+2,0287738	8,000888888
6S408	21,41	85,76	41162,171888888	+2,0286288	8,000888888
6S458	21,55	85,49	46455,327288888	+2,028284788	8,000888888
	8,78	8,78	8,788888888	-2,0002938	8,788888888
SP582	41,32	112,84	7358,773888888	+2,0139888	8,000888888
SP100	41,45	113,12	11666,760888888	+2,0148468	8,000888888
SP150	41,57	113,57	16173,431608888	+2,0148108	8,000888888
SP200	41,72	113,88	28745,921888888	+2,0147678	8,000888888
SP250	41,82	114,29	25854,282888888	+2,0147728	8,000888888
SP300	41,94	114,55	32057,542888888	+2,0146798	8,000888888
SP350	42,17	114,88	35949,919888888	+2,0146308	8,000888888
SP400	42,49	115,22	41231,587288888	+2,0145988	8,000888888
SP450	42,37	115,55	46333,519888888	+2,0145488	8,000888888
	8,78	8,78	8,788888888	-2,0002938	8,788888888
FS370	61,79	132,68	7349,748888888	+2,0299428	8,700888888
FS400	61,92	132,95	11551,938888888	+2,0299228	8,700888888
FS450	62,91	131,31	16163,149888888	+2,0299028	8,700888888
FS500	62,47	131,41	20770,675288888	+2,02998828	8,700888888
FS520	62,29	131,74	25822,973888888	+2,02999628	8,700888888
FS570	62,42	132,28	32878,779888888	+2,0299431	8,700888888
FS580	62,51	132,16	35957,108888888	+2,0299735	8,700888888
FS620	62,66	132,53	41192,548888888	+2,0299428	8,700888888
FS650	62,79	132,19	46556,415888888	+2,02998828	8,700888888
	8,78	8,78	8,788888888	-2,0002938	8,788888888

Figura D.1

D.2 - DADOS DE PERFIL

O perfil será o mesmo que o especificado no Capítulo VI, conforme mostram os resultados:

SENTEDO DA VIAGEM TDA

DISTANCIA A SER PERCORRIDA 173,98 KM

BALONMETRO INICIAL 1.98

ESTACAO DO MARCO KM ALTITUDE MM

JOHN PAULISTA 5,89 705,85

TRECHO 1

KM INIC	KM FIN	ALT INIC	ALT FIN	VELOC
1,00	5,89	705,85	710,35	90,200

CURVAS

RADIO(M)	GRAUS	MINUTOS	VELOC	KM
1190,18	12,88	39,88	90,200	2,558
189,14	51,88	31,88	90,200	3,228
169,24	36,88	48,88	90,200	3,258
129,18	31,88	22,88	90,200	4,128
329,18	31,88	75,88	90,200	4,128

ESTACAO DO MARCO KM ALTITUDE MM

MORATO 5,89 710,35

TRECHO 2

KM INIC	KM FIN	ALT INIC	ALT FIN	VELOC
5,00	19,98	710,35	725,15	90,200

CURVAS

RADIO(M)	GRAUS	MINUTOS	VELOC	KM
194,22	51,88	16,88	90,200	5,178
572,22	12,88	9,88	90,200	5,198
133,22	28,88	6,88	90,200	6,128
577,12	32,88	53,88	90,200	6,128
389,12	38,88	71,88	90,200	7,168
447,18	26,88	59,88	90,200	7,198
649,22	19,88	44,88	90,200	8,128
339,18	31,88	21,88	90,200	8,158
399,22	35,88	18,88	90,200	8,198
194,18	45,88	41,88	90,200	9,118
104,22	48,88	18,88	90,200	9,128
343,18	52,88	59,88	90,200	10,148

ESTACAO DO MARCO KM ALTITUDE MM

EUREKURITRA 19,98 725,15

TRECHO 3

KM INIC	KM FIN	ALT INIC	ALT FIN	VELOC
18,00	35,29	725,15	667,67	90,200

CURVAS

RADIO(M)	GRAUS	MINUTOS	VELOC	KM
59,28	12,88	17,88	90,200	10,68
844,28	11,88	8,88	90,200	10,98
159,28	28,88	13,88	90,200	11,28
197,28	46,88	54,88	90,200	11,58
190,28	61,88	46,88	90,200	12,38
177,28	63,88	26,88	90,200	12,18
360,28	49,88	38,88	90,200	13,98
376,28	31,88	40,88	90,200	14,28
151,28	34,88	18,88	90,200	14,58
339,28	3,88	13,88	90,200	14,98

Figura D.2

ESTACAO OU MARCO KM² ALTITUDES
M.S.

L O U V E I R A 15,72 667,57

TRECHO 4

KM INIC	KM FIN	ALTINI	ALTIFIN	VEL/TRE
15,22	17,22	667,57	677,35	981,88

CURVAS

RADIO(M)	GRAUS	MINUTOS	VELOC.	KM ²
132,00	42,88	11,88	98,88	16,72
100,00	56,88	41,88	98,88	16,92

ESTACAO OU MARCO KM² ALTITUDES M.S.

K I L O M E T R O 1,7 17,82 677,35

TRECHO 5

KM INIC	KM FIN	ALTINI	ALTIFIN	VEL/TRE
17,22	20,22	677,35	734,74	981,88

CURVAS

RADIO(M)	GRAUS	MINUTOS	VELOC.	KM ²
630,00	18,88	2,88	98,88	17,52
450,00	51,88	46,88	98,88	16,12
330,00	11,88	46,88	98,88	16,18
350,02	73,88	37,88	98,88	19,12
610,02	9,88	1,88	98,88	20,12
315,06	71,88	24,88	98,88	20,12
322,00	18,88	24,88	98,88	20,52

ESTACAO OU MARCO KM² ALTITUDES M.S.

K I L O M E T R O 2 * 5 20,50 734,74

TRECHO 6

KM INIC	KM FIN	ALTINI	ALTIFIN	VEL/TRE
20,22	23,22	734,74	782,50	981,88

CURVAS

RADIO(M)	GRAUS	MINUTOS	VELOC.	KM ²
581,03	18,88	53,88	98,88	22,12

ESTACAO OU MARCO KM² ALTITUDES M.S.

V I N H E D O 23,02 782,50

TRECHO 7

KM INIC	KM FIN	ALTINI	ALTIFIN	VEL/TRE
23,22	32,22	782,50	868,22	981,88

CURVAS

RADIO(M)	GRAUS	MINUTOS	VELOC.	KM ²
525,47	47,88	49,88	98,88	23,32
392,92	92,88	16,88	98,88	24,12
525,47	31,88	25,88	98,88	25,32
700,52	12,88	39,88	98,88	25,72
1187,44	25,88	58,88	98,88	26,82
1020,92	61,88	59,88	98,88	28,32
861,01	8,88	37,88	98,88	28,82
360,82	51,88	11,88	98,88	29,92

ESTACAO OU MARCO KM² ALTITUDES M.S.

V A G I R H O S 30,72 868,22

TRECHO 8

KM INIC	KM FIN	ALTINI	ALTIFIN	VEL/TRE
32,22	34,22	868,22	958,52	981,88

CURVAS

RADIO(M)	GRAUS	MINUTOS	VELOC.	KM ²
392,47	56,88	47,88	98,88	31,22
582,52	92,88	87,88	98,88	31,22
452,47	19,88	28,88	98,88	32,22
1320,47	1,88	53,88	98,88	32,42
1320,77	19,88	83,88	98,88	32,42
525,47	17,88	43,88	98,88	32,42
162,47	43,88	47,88	98,88	33,22

Figura D.3.a

figura D.3.b

ESTACAO OU MARCO

KM²

ALTITUDE

M₂

K I L O M E T R O 1.4

34,38

658,88

TRECHO 9

KM INIC	KM FIN	ALT FIN	ALT FIN	VELOC
34200	39238	659368	724128	90100

CURVAS

RADIO(M)	GRAUS	MINUTOS	VELOC.	KM ²
41713	31,00	23'00"	90,00	34,58
129,176	38,00	11'00"	90,00	34,58
189,138	41,00	7'00"	90,00	35,38
180,112	63,00	19'00"	85,00	35,90
545,170	7,00	50'00"	90,00	36,38
1297,128	8,00	48'00"	90,00	36,58
320,190	7,00	46'00"	90,00	36,88
458,148	17,00	41'00"	90,00	37,08
104,248	11,00	57'00"	90,00	37,38
177,250	25,00	17'00"	90,00	37,90
554,151	12,00	37'00"	90,00	38,18
119,328	32,00	38'00"	90,00	38,58
394,178	103,00	22'00"	90,00	39,18

ESTACAO OU MARCO

KM²

ALTITUDE

M₂

K I L O M E T R O 3.9.3

39,18

724228

TRECHO 10

KM INIC	KM FIN	ALT FIN	ALT FIN	VELOC
39238	44238	724328	693248	90100

CURVAS

RADIO(M)	GRAUS	MINUTOS	VELOC.	KM ²
354,245	113,00	11'00"	85,00	39,98
399,278	63,00	25'00"	75,00	40,58
173,371	51,00	41'00"	90,00	41,58
354,245	20,00	17'00"	90,00	41,98
398,278	57,00	42'00"	90,00	42,58
441,230	57,00	32'00"	90,00	43,58
161,291	39,00	14'00"	90,00	43,98
388,200	5,00	8'00"	90,00	43,98
388,200	5,00	8'00"	90,00	43,98

ESTACAO OU MARCO

KM²

ALTITUDE

M₂

C A M P I N A S

44,08

693248

TRECHO 11

KM INIC	KM FIN	ALT FIN	ALT FIN	VELOC
44238	52154	693248	638108	90100

CURVAS

RADIO(M)	GRAUS	MINUTOS	VELOC.	KM ²
889,128	43,00	37'00"	90,00	47,08
1140,128	32,00	28'00"	90,00	49,58

ESTACAO OU MARCO

KM²

ALTITUDE

M₂

B U A V I S T A

52154

638,88

TRECHO 12

KM INIC	KM FIN	ALT FIN	ALT FIN	VELOC
52154	63154	618768	568,68	90100

CURVAS

RADIO(M)	GRAUS	MINUTOS	VELOC.	KM ²
1140,128	40,00	6'00"	90,00	53,58
1621,128	70,00	8'00"	90,00	58,08
1112,75	30,00	13'00"	90,00	57,58
1132,75	11,00	4'00"	90,00	56,58
1115,128	31,00	13'00"	90,00	56,08
1145,128	53,00	8'00"	90,00	61,58

Figura D.3.c

ESTACAO OU MARCO				KM'	ALTITUDE M
HORTOLANDA				62,69	568,90
TRECHO 13					
KM/INTC	KM/FIN	ALT/INI	ALT/FIN	VEL/MTRE	
62,69	69,62	568,90	549,19	951,00	
CURVAS					
RAIO(M)	GRAUS	MINUTOS	VELOC.	KM'	
1329233	48,00°	19,00'	951,00	63,69	
ESTACAO OU MARCO				KM'	ALTITUDE M
SOMARE				69,62	549,40
TRECHO 14					
KM/INTC	KM/FIN	ALT/INI	ALT/FIN	VEL/MTRE	
69,62	75,62	549,40	541,57	951,00	
CURVAS					
RAIO(M)	GRAUS	MINUTOS	VELOC.	KM'	
2191084	23,00°	57,00'	951,00	73,29	
3137273	34,00°	42,00'	951,00	74,89	
ESTACAO OU MARCO				KM'	ALTITUDE M
NOVA ODESSA				75,62	541,57
TRECHO 15					
KM/INTC	KM/FIN	ALT/INI	ALT/FIN	VEL/MTRE	
75,62	82,62	541,57	541,57	951,00	
CURVAS					
RAIO(M)	GRAUS	MINUTOS	VELOC.	KM'	
2137275	19,00°	61,00'	951,00	79,98	
1145193	32,00°	30,00'	951,00	80,48	
1145193	51,00°	21,00'	951,00	81,18	
ESTACAO OU MARCO				KM'	ALTITUDE M
AMERICANA				82,62	539,98
TRECHO 16					
KM/INTC	KM/FIN	ALT/INI	ALT/FIN	VEL/MTRE	
82,62	87,64	539,98	533,98	951,00	
CURVAS					
RAIO(M)	GRAUS	MINUTOS	VELOC.	KM'	
2364288	0,00°	0,00'	951,00	82,62	
2464288	32,00°	51,00'	951,00	83,18	
2464288	19,00°	37,00'	951,00	85,18	
1637288	51,00°	31,00'	951,00	87,18	
ESTACAO OU MARCO				KM'	ALTITUDE M
SAO JERONIMO				87,64	533,98
TRECHO 17					
KM/INTC	KM/FIN	ALT/INI	ALT/FIN	VEL/MTRE	
87,64	93,64	533,98	514,28	951,00	
CURVAS					
RAIO(M)	GRAUS	MINUTOS	VELOC.	KM'	
1145191	32,00°	76,00'	951,00	85,78	
1137273	20,00°	6,00'	951,00	94,78	
1145193	51,00°	51,00'	951,00	94,18	

ESTACAO OU MARCO

KM² ALTITUDE

TATU

97,88 M

TRECHO 18

KM ² INIC	KM ² FIN	ALT ^M INI	ALT ^M FIN	VELOC ^{M/S}
93,988	108,728	514,88	513,288	98,88

CURVAS

RADIO(M)	GRAUS	MINUTOS	VELOC ^{M/S}	KM ²
1337,284	17,98	39,68	98,88	94,718
1337,088	32,98	61,68	98,88	95,298
1147,993	71,78	91,68	98,88	97,118
1147,993	47,78	91,68	98,88	98,778
2391,284	39,98	70,68	98,88	100,198

ESTACAO OU MARCO

KM² ALTITUDE

ITAIPIU

189,128 M

TRECHO 19

KM ² INIC	KM ² FIN	ALT ^M INI	ALT ^M FIN	VELOC ^{M/S}
189,928	185,548	513,288	542,666	98,88

CURVAS

RADIO(M)	GRAUS	MINUTOS	VELOC ^{M/S}	KM ²
2337,075	15,98	50,68	98,88	103,188

ESTACAO OU MARCO

KM² ALTITUDE

GIMEYRA

105,48 M

TRECHO 20

KM ² INIC	KM ² FIN	ALT ^M INI	ALT ^M FIN	VELOC ^{M/S}
185,948	131,278	542,666	565,288	98,88

CURVAS

RADIO(M)	GRAUS	MINUTOS	VELOC ^{M/S}	KM ²
3137,275	12,98	48,68	98,88	105,198
1389,982	36,98	50,68	98,88	107,188

ESTACAO OU MARCO

KM² ALTITUDE

ISTCABA

111,288 M

TRECHO 21

KM ² INIC	KM ² FIN	ALT ^M INI	ALT ^M FIN	VELOC ^{M/S}
111,288	116,798	565,288	633,188	98,88

CURVAS

RADIO(M)	GRAUS	MINUTOS	VELOC ^{M/S}	KM ²
3137,273	21,98	28,68	98,88	111,198
1337,286	48,98	118,68	98,88	115,198
1337,286	28,98	90,68	98,88	116,188

ESTACAO OU MARCO

KM² ALTITUDE

CURECA E TROPOLIS

116,98 M

TRECHO 22

KM ² INIC	KM ² FIN	ALT ^M INI	ALT ^M FIN	VELOC ^{M/S}
116,98	126,728	633,188	574,288	98,88

CURVAS

RADIO(M)	GRAUS	MINUTOS	VELOC ^{M/S}	KM ²
3137,172	21,98	53,68	98,88	110,198
2137,173	27,98	34,68	98,88	120,198
2391,284	18,98	40,68	98,88	123,178

Figura D.3.d

Figura D.3.e

ESTACAO OU MARCO		KM	ALTITUDE M	
S T A C E R T R U D E S		126,88	574,08	
TRECHO 23				
KH21HIC KH21FTN ALT21INI ALT21FIN VEL/TFRE				
126,88	133,84	574,08	613,46	98,08
CURVAS				
RATO(H)	GRAUS	MINUTOS	VELOC.	KM
2291,084	23,08	00,00	98,08	129,084
2291,084	22,08	00,00	98,08	128,084
1145,093	53,08	00,00	98,08	132,084
2291,084	51,08	00,00	98,08	133,084
ESTACAO OU MARCO		KM	ALTITUDE M	
R I O C L A R O		133,84	613,46	
TRECHO 24				
KH21HIC KH21FTN ALT21INI ALT21FIN VEL/TFRE				
133,84	143,28	613,46	552,84	98,08
CURVAS				
RATO(H)	GRAUS	MINUTOS	VELOC.	KM
1122,022	22,08	00,00	98,08	135,022
1145,093	00,08	00,00	98,08	136,000
1145,093	37,08	00,00	98,08	137,000
1145,093	45,08	00,00	98,08	138,000
1145,093	53,08	00,00	98,08	139,000
1145,093	61,08	00,00	98,08	140,000
1145,093	69,08	00,00	98,08	141,000
1145,093	77,08	00,00	98,08	142,000
1145,093	85,08	00,00	98,08	143,000
ESTACAO OU MARCO		KM	ALTITUDE M	
B A T O V I		143,28	552,84	
TRECHO 25				
KH21HIC KH21FTN ALT21INI ALT21FIN VEL/TFRE				
143,28	148,78	552,84	618,08	98,08
CURVAS				
RATO(H)	GRAUS	MINUTOS	VELOC.	KM
1145,093	53,08	00,00	98,08	144,083
1145,093	71,08	00,00	98,08	146,083
1145,093	32,08	00,00	98,08	147,083
ESTACAO OU MARCO		KM	ALTITUDE M	
C A H A O U X		148,78	618,08	
TRECHO 26				
KH21HIC KH21FTN ALT21INI ALT21FIN VEL/TFRE				
148,78	156,58	618,08	544,08	98,08
CURVAS				
RATO(H)	GRAUS	MINUTOS	VELOC.	KM
1145,093	81,08	00,00	98,08	149,093
1145,093	37,08	00,00	98,08	151,093
1145,093	15,08	00,00	98,08	154,093
1145,093	53,08	00,00	98,08	153,093
1145,093	29,08	00,00	98,08	154,093
1145,093	29,08	00,00	98,08	155,093

ESTACAO OU MARCO	KM'S	ALTITUDENS M.S
IZAPE	156,68	594,28

18ECHO 27

KINHINC	KM'S FIN	ALTIINI	ALTIFIN	VELOCIT.
150,268	162,58	594,188	614,28	98100

CURVAS

RADIO(M)	GRAUS	MINUTOS	VELOC.	KM'S
1145,93	36,88	02'28	98100	157,228

1145,93	36,88	02'28	98100	156,188
1145,93	36,88	02'28	98100	156,58
1145,93	36,88	02'28	98100	161,258

ESTACAO OU MARCO	KM'S	ALTITUDENS M.S
GRAUNA	162,58	614,28

18ECHO 28

KINHINC	KM'S FIN	ALTIINI	ALTIFIN	VELOCIT.
162,558	174,28	614,28	763,22	98100

CURVAS

RADIO(M)	GRAUS	MINUTOS	VELOC.	KM'S
1145,93	38,98	20'28	98100	161,228
1145,93	38,98	22'28	98100	164,028

ESTACAO OU MARCO	KM'S	ALTITUDENS M.S
IZTAPATINA	174,28	763,22

***** SISTOL.FA *****

D.3 - DESEMPENHO BÁSICO DO MOVIMENTO DO TREM

As figuras a seguir mostram o desempenho básico do trem padrão, movimentando-se no sentido importação (ida) e exportação (volta):

importação:

ESTACAO OU MARCO	V_INICIAL	V_FINAL	F_INICIAL	F_FINAL	TEMPO	KM	SHUNT
JUNDIAPILOSTA	8,92	57,42	8,92	17530,98	1010	1,494	4
	32,42	68,42	19583,30	6344,98	1817	1,947	5
	68,42	69,32	6188,48	5772,57	3835	2,496	6
	68,42	71,12	5772,57	8227,96	1042	2,499	6
	71,12	74,52	8227,96	7712,98	1049	3,493	6
	74,52	76,32	7712,98	6704,88	2045	3,493	6
	76,32	77,92	6704,88	6342,42	1052	4,494	6
	77,92	79,52	6342,42	7609,28	1058	4,498	7
	79,52	81,32	7609,28	6918,14	1074	5,497	7
MORTO	81,32	84,72	6918,14	11216,72	1086	5,986	8
	84,72	85,92	11216,72	9397,13	1096	6,984	8
	85,92	96,92	9397,13	3427,68	1091	6,993	6
	96,92	98,82	3427,68	6453,89	1097	7,481	7
	98,82	99,62	6453,89	6453,89	1102	7,980	7
	99,62	99,82	6453,89	8046,84	1108	8,478	8
	99,82	81,44	8046,84	8,98	1114	8,977	8
	81,44	78,17	8,98	11132,18	1119	9,176	8
	78,17	81,32	11132,18	12377,57	1126	9,971	8
CORROPIRA	81,32	84,47	12377,57	11118,99	1131	10,473	8
	84,47	86,87	11118,99	18174,71	1137	10,971	8
	86,87	87,92	18174,71	4187,37	1143	11,479	6
	87,92	88,97	4187,37	61,61	1148	11,958	21
	88,97	98,82	61,61	328,39	1154	12,467	5
	98,82	98,82	328,39	727,28	1159	12,965	21
	98,82	98,82	727,28	764,48	1165	13,464	21
	98,82	98,82	764,48	887,19	1178	13,963	21
	98,82	98,82	887,19	489,57	1176	14,461	21
	98,82	98,82	489,57	1128,68	1181	14,960	21
	98,82	98,82	1128,68	1451,74	1187	15,458	21
	98,82	98,82	1451,74	1685,98	1193	15,957	5
	98,82	98,82	1685,98	6452,81	1198	16,455	7
	98,82	98,82	6452,81	8725,79	1204	16,954	8
KILOMETRO 17	98,82	98,82	8725,79	10093,84	1209	17,452	8
	98,82	98,82	10093,84	13269,32	1215	17,951	9
	98,82	74,82	13269,32	8,98	1221	18,450	9
	74,82	87,11	8,98	17835,30	1226	18,918	9
	87,11	70,31	17835,30	18769,59	1233	19,417	8
	70,31	72,31	18769,59	19945,28	1241	19,915	9
	72,31	73,81	19945,28	19789,53	1247	20,444	9
	73,81	75,91	19789,53	18028,58	1253	20,912	9
	75,91	77,41	18028,58	13656,34	1260	21,441	8
KILOMETRO 20,3	77,41	78,91	13656,34	5767,45	1266	21,939	6
	78,91	89,51	5767,45	2779,75	1272	22,438	5
	89,51	82,91	2779,75	8,93	1278	22,937	1
	82,91	83,31	8,93	7,73	1284	23,435	1
	83,31	84,41	7,73	6,86	1290	23,934	1
VINHEDO	84,41	85,41	6,86	2289,70	1295	24,433	5
	85,41	86,31	2289,70	4337,29	1301	24,931	6
	86,31	86,71	4337,29	824,67	1306	25,429	5
	86,71	88,91	824,67	2784,18	1312	25,929	5
	88,91	98,82	2784,18	2981,35	1317	26,427	6
	98,82	98,82	2981,35	2919,82	1323	26,925	5
	98,82	98,82	2919,82	2749,83	1328	27,424	5
	98,82	87,29	2749,85	2936,53	1334	27,922	5
	87,29	84,49	2936,53	0,00	1340	28,421	0
	84,49	85,49	0,00	0,00	1345	28,919	0
	85,49	86,38	0,00	4439,64	1351	29,418	6
	86,38	86,82	4439,64	4689,48	1357	29,916	6
	86,82	87,58	4689,48	4421,77	1363	30,415	6
	87,58	92,82	4421,77	2656,96	1368	30,914	5
	92,82	98,82	2656,96	4626,28	1374	31,412	7
VALINHOS	98,82	98,82	4626,28	5624,53	1374	31,911	7
	98,82	98,82	5624,53	6952,93	1385	32,409	8
	98,82	98,82	6952,93	8551,62	1390	32,908	7
	98,82	98,82	8551,62	6951,17	1396	33,406	8
	98,82	98,82	6951,17	7297,46	1401	33,905	8
KILOMETRO 34	98,82	98,82	7297,46	7258,75	1407	34,403	8
	98,82	88,76	7258,75	0,00	1413	34,902	8
	88,76	77,33	0,00	15162,89	1418	35,401	9
	77,33	78,41	15162,89	16673,49	1424	35,900	9
	78,41	81,96	16673,49	15277,49	1431	36,400	9
	81,96	81,38	15277,49	14576,21	1437	36,895	9
	81,38	81,44	14576,21	14919,89	1443	37,395	9
	81,44	79,68	14919,89	15299,84	1449	37,893	9
	79,68	79,85	15299,84	15556,22	1455	38,392	9
	79,85	88,85	15556,22	16775,81	1461	38,890	9
	88,85	88,76	16775,81	0,00	1464	39,389	0
	88,76	62,19	0,00	16215,27	1474	39,888	7
KILOMETRO 39,3	62,19	54,42	16215,27	18818,20	1483	40,386	5
	54,42	56,52	18818,20	9145,38	1492	40,885	5
	56,52	59,72	9145,38	5572,17	1503	41,383	4
	59,72	62,42	5572,17	4368,83	1508	41,882	4
	62,42	65,42	4368,83	3557,93	1515	42,380	4
	65,42	66,38	3557,93	3176,26	1522	42,879	4
	66,38	69,42	3176,26	2939,32	1529	43,378	4
	69,42	49,87	2939,32	0,00	1534	43,876	0
CAMPINAS	49,87	81,81	0,00	8,98	1538	44,375	0
	81,81	81,82	8,98	0,00	1543	44,873	0
	81,82	51,93	0,00	19520,40	1555	45,372	1
	51,93	73,13	19520,40	2164,69	1563	45,870	4
	73,13	73,63	2164,69	1964,69	1571	46,369	4
	73,63	76,53	1964,69	1851,71	1579	46,867	4
	76,53	77,23	1851,71	1771,73	1582	47,366	4
	77,23	77,93	1771,73	1601,31	1587	47,865	4
	77,93	77,93	1601,31	1629,82	1593	48,363	4
	77,93	77,73	1629,82	3138,88	1598	48,862	5
	77,73	78,53	3138,88	2351,33	1603	49,360	5
	78,53	81,53	2351,33	2616,04	1607	49,859	5
	81,53	81,53	2616,04	2430,04	1612	50,357	5
	81,53	87,93	2430,04	2430,04	1613	50,856	5
	87,93	84,21	2430,04	2374,14	1615	51,355	5
	84,21	84,93	2374,14	2374,14	1616	51,853	5
	84,93	85,83	2374,14	2374,14	1617	52,352	5
	85,83	84,21	2374,14	2374,14	1618	52,850	21
BBA VIZTA	84,21	87,93	2374,14	2374,14	1619	53,349	5
	87,93	87,93	2374,14	2374,14	1620	53,847	5

Figura D.4.a

98.88	98.88	2841.81	1865.85	2327	93.817
98.88	98.88	1485.83	1530.50	2313	93.316
98.88	98.88	1439.78	1450.82	2318	93.814
98.88	98.88	1462.82	1218.44	2341	93.311
98.88	98.88	1278.98	1217.85	2319	93.811
98.88	98.88	1337.36	1245.17	2333	93.310
98.88	98.88	1295.47	1235.11	2368	93.810
98.88	98.88	1245.31	1249.59	2366	93.317
98.88	98.88	1299.44	1217.37	2371	93.816
98.88	98.88	1247.37	1221.28	2377	93.315
98.88	98.88	1231.76	1208.28	2392	93.813
98.88	98.88	1288.70	1410.77	2398	93.311
98.88	98.88	1439.17	1317.46	2394	93.814
98.88	98.88	1317.46	1414.49	2399	93.310
98.88	98.88	1494.10	1344.77	2385	93.817
98.88	98.88	1344.77	1289.98	2318	93.311
98.88	98.88	1265.36	8.88	2314	93.824
88.89	88.89	8.88	1814.62	2321	62.323
88.89	88.89	1814.62	716.82	2327	62.821
98.88	98.88	716.82	3901.82	2332	63.320
98.88	98.88	3901.82	7461.93	2318	63.818
98.88	98.88	7461.93	1162.27	2343	64.317
95.89	95.89	1162.27	5432.36	2344	64.816
95.89	95.89	5492.36	3395.88	2353	65.314
95.89	95.89	3395.88	5892.68	2359	65.813
95.89	95.89	5892.68	5791.92	2364	66.311
95.89	95.89	5741.92	5765.21	2369	66.819
95.89	95.89	5765.21	5777.31	2376	67.308
95.89	95.89	5777.31	5783.35	2385	67.807
95.89	95.89	5783.35	5786.38	2385	68.305
95.89	95.89	5786.38	8.88	2391	68.804
77.57	54.85	8.88	8.88	2398	69.303
54.85	9.81	8.88	8.88	2315	69.801
8.88	8.88	8.88	8.88	2346	70.300
8.88	55.95	8.88	19528.80	2385	70.798
55.95	68.35	19528.80	5767.02	2393	71.297
68.35	79.35	5767.02	5179.63	2398	71.795
79.35	71.45	5179.63	4883.34	2396	72.294
71.45	73.85	4883.34	7417.84	2313	72.792
73.85	76.93	7417.84	6595.40	2328	73.291
76.93	79.93	6595.40	6111.85	2326	73.790
79.93	89.35	6111.85	5797.84	2312	74.284
89.35	91.35	5797.84	5382.17	2318	74.787
91.35	82.53	5382.17	6480.84	2344	75.285
82.53	83.95	6480.84	6818.19	2358	75.784
83.95	87.15	6818.19	19868.85	2336	76.282
87.15	99.30	19868.85	497.81	2342	76.781
99.30	497.81	5271.82	12867	2347	77.280
99.30	5271.82	5238.82	13433	2378	77.778
99.30	5238.82	5381.90	11918	2377	77.777
99.30	5381.90	5254.83	12946	2375	77.775
99.30	5254.83	5468.12	12339	2374	77.772
99.30	5468.12	5337.18	13825	2372	77.771
99.30	5337.18	5389.77	12140	80.271	
99.30	5389.77	5357.97	12146	80.769	
99.30	5357.97	8.90	12112	81.268	
71.49	51.96	8.90	8.90	12128	81.767
51.96	8.90	8.90	8.90	12119	81.265
8.90	8.90	8.90	8.90	12149	82.764
8.90	56.19	8.90	19308.80	12247	83.262
56.19	79.29	19308.80	2773.75	12115	83.761
79.29	71.89	2773.75	2634.04	12221	84.259
71.89	71.89	2634.04	2581.37	12223	84.758
71.89	77.59	2581.37	2398.77	12235	85.256
77.59	74.19	2398.77	4218.43	12212	85.755
74.19	76.39	4218.43	3754.86	12218	86.254
76.39	77.49	3754.86	3444.82	12235	86.752
77.49	79.19	3444.82	3238.35	12261	87.251
79.19	82.89	3238.35	3878.85	12247	87.749
82.89	81.49	3878.85	5552.14	12213	88.248
81.49	82.99	5552.14	6330.96	12219	88.746
82.99	85.69	6330.96	18625.97	12281	89.245
85.69	98.88	18625.97	9435.28	12298	89.744
98.88	98.88	9435.28	5383.73	12295	90.242
98.88	5383.73	7579.13	13281	90.741	
98.88	7579.13	7558.26	3.383	91.239	
98.88	7558.26	7759.73	12312	91.738	
98.88	7759.73	7710.46	12318	92.238	
98.88	7710.46	7645.83	12343	92.735	
98.88	7645.83	7671.51	12322	93.233	
98.88	7671.51	7838.83	12314	93.732	
98.88	7838.83	8025.44	12340	94.231	
98.88	8025.44	8418.42	12346	94.729	
98.88	8418.42	8422.31	12331	95.228	
98.88	8422.31	8620.83	12357	95.726	
98.88	8620.83	8555.99	12342	96.225	
98.88	8555.99	8589.97	12348	96.723	
98.88	8589.97	8471.61	12313	97.222	
98.88	8471.61	9595.84	12310	97.720	
98.88	9595.84	12349	98.219		
98.88	12349	8559.32	12310	98.718	
98.88	8559.32	8525.28	12310	99.216	
98.88	8525.28	12315	99.715		
98.88	12315	8432.31	12348	99.215	
98.88	8432.31	12314	99.714		
98.88	12314	8525.28	12310	99.213	
98.88	8525.28	12314	99.712		
98.88	12314	8589.97	12313	99.211	
98.88	8589.97	8471.61	12310	99.710	
98.88	8471.61	9595.84	12310	99.209	
98.88	9595.84	12349	99.708		
98.88	12349	8559.32	12310	99.207	
98.88	8559.32	8525.28	12310	99.706	
98.88	8525.28	12315	99.205		
98.88	12315	8432.31	12348	99.704	
98.88	8432.31	12314	99.203		
98.88	12314	8525.28	12310	99.702	
98.88	8525.28	12314	99.201		
98.88	12314	8589.97	12313	99.200	
98.88	8589.97	8471.61	12310	99.700	
98.88	8471.61	9595.84	12310	99.200	
98.88	9595.84	12349	99.700		
98.88	12349	8559.32	12310	99.200	
98.88	8559.32	8525.28	12310	99.700	
98.88	8525.28	12315	99.200		
98.88	12315	8432.31	12348	99.700	
98.88	8432.31	12314	99.200		
98.88	12314	8525.28	12310	99.700	
98.88	8525.28	12314	99.200		
98.88	12314	8589.97	12313	99.200	
98.88	8589.97	8471.61	12310	99.700	
98.88	8471.61	9595.84	12310	99.200	
98.88	9595.84	12349	99.700		
98.88	12349	8559.32	12310	99.200	
98.88	8559.32	8525.28	12310	99.700	
98.88	8525.28	12315	99.200		
98.88	12315	8432.31	12348	99.700	
98.88	8432.31	12314	99.200		
98.88	12314	8525.28	12310	99.700	
98.88	8525.28	12314	99.200		
98.88	12314	8589.97	12313	99.200	
98.88	8589.97	8471.61	12310	99.700	
98.88	8471.61	9595.84	12310	99.200	
98.88	9595.84	12349	99.700		
98.88	12349	8559.32	12310	99.200	
98.88	8559.32	8525.28	12310	99.700	
98.88	8525.28	12315	99.200		
98.88	12315	8432.31	12348	99.700	
98.88	8432.31	12314	99.200		
98.88	12314	8525.28	12310	99.700	
98.88	8525.28	12314	99.200		
98.88	12314	8589.97	12313	99.200	
98.88	8589.97	8471.61	12310	99.700	
98.88	8471.61	9595.84	12310	99.200	
98.88	9595.84	12349	99.700		
98.88	12349	8559.32	12310	99.200	
98.88	8559.32	8525.28	12310	99.700	
98.88	8525.28	12315	99.200		
98.88	12315	8432.31	12348	99.700	
98.88	8432.31	12314	99.200		
98.88	12314	8525.28	12310	99.700	
98.88	8525.28	12314	99.200		
98.88	12314	8589.97	12313	99.200	
98.88	8589.97	8471.61	12310	99.700	
98.88	8471.61	9595.84	12310	99.200	
98.88	9595.84	12349	99.700		
98.88	12349	8559.32	12310	99.200	
98.88	8559.32	8525.28	12310	99.700	
98.88	8525.28	12315	99.200		
98.88	12315	8432.31	12348	99.700	
98.88	8432.31	12314	99.200		
98.88	12314	8525.28	12310	99.700	
98.88	8525.28	12314	99.200		
98.88	12314	8589.97	12313	99.200	
98.88	8589.97	8471.61	12310	99.700	
98.88	8471.61	9595.84	12310	99.200	
98.88	9595.84	12349	99.700		
98.88	12349	8559.32	12310	99.200	
98.88	8559.32	8525.28	12310	99.700	
98.88	8525.28	12315	99.200		
98.88	12315	8432.31	12348	99.700	
98.88	8432.31	12314	99.200		
98.88	12314	8525.28	12310	99.700	
98.88	8525.28	12314	99.200		
98.88	12314	8589.97	12313	99.200	
98.88	8589.97	8471.61	12310	99.700	
98.88	8471.61	9595.84	12310	99.200	
98.88	9595.84	12349	99.700		
98.88	12349	8559.32	12310	99.200	
98.88	8559.32	8525.28	12310	99.700	
98.88	8525.28	12315	99.200		
98.88	12315	8432.31	12348	99.700	
98.88	8432.31	12314	99.200		
98.88	12314	8525.28	12310	99.700	
98.88	8525.28	12314	99.200		
98.88					

08.30	78.43	9129.65	8559.87	12030	120.190	6	
78.30	77.64	8559.87	10428.74	12587	120.687	7	
72.60	75.45	13929.74	9423.04	12591	120.187	7	
73.40	74.34	9424.04	13423.62	12648	120.686	8	
79.10	80.74	13424.42	11427.73	12695	119.184	8	
81.20	80.43	11427.73	18477.62	12642	119.683	8	
86.90	89.43	18477.62	13325.62	12618	111.182	9	
88.40	90.80	13325.62	9114.35	12623	111.688	8	
90.80	90.80	9114.35	13381.82	12629	112.179	9	
92.90	93.04	13381.82	13751.59	12615	112.677	9	
93.10	94.20	13751.59	13934.63	12618	113.176	9	
93.20	94.20	13934.63	14118.09	12646	113.874	9	
94.20	94.20	14118.09	14334.52	12631	114.173	9	
95.40	95.20	14334.52	14288.83	12637	114.671	9	
96.90	98.20	14288.83	14419.47	12642	115.170	9	
96.90	98.20	14419.47	14322.51	12646	115.669	9	
98.20	98.20	14322.51	14274.33	12613	116.167	9	
98.20	99.20	14274.33	14249.82	12679	116.666	9	
98.20	99.20	14249.82	11179.13	12683	117.164	9	
98.20	99.20	11179.13	6656.57	12699	117.663	7	
98.20	99.20	6656.57	4324.82	12695	118.161	7	
98.20	99.20	4324.82	3157.69	12701	118.669	6	
98.20	99.20	3157.69	2574.52	12707	119.168	5	
98.20	99.20	2574.52	2401.99	12712	119.667	5	
98.20	99.20	2401.99	2146.67	12718	120.166	5	
98.20	99.20	2146.67	2094.92	12723	120.664	5	
98.20	99.20	2094.92	2894.82	12729	121.163	5	
98.20	99.20	2894.82	2817.92	12734	121.661	5	
98.20	99.20	2817.92	2123.24	12748	122.159	5	
98.20	99.20	2123.24	2037.19	12745	122.658	5	
98.20	99.20	2037.19	2024.33	12751	123.157	5	
98.20	99.20	2024.33	2007.84	12746	123.646	5	
98.20	99.20	2007.84	1999.69	12762	124.144	8	
98.20	99.20	1999.69	1995.48	12767	124.643	8	
98.20	99.20	1995.48	1993.12	12773	125.141	5	
98.20	99.20	1993.12	1992.39	12779	125.640	5	
98.20	99.20	1992.39	3961.11	12784	126.139	6	
98.20	99.20	3961.11	6919.79	12790	126.637	8	
98.20	99.20	6919.79	8398.82	12795	127.135	8	
98.20	99.20	8398.82	9137.15	12801	127.634	8	
98.20	99.20	9137.15	9625.77	12806	128.133	8	
98.20	99.20	9625.77	9751.51	12812	128.631	8	
98.20	99.20	9751.51	9813.67	12817	129.130	8	
98.20	99.20	9813.67	9814.99	12823	129.628	8	
98.20	99.20	9814.99	9979.59	12828	130.127	8	
98.20	99.20	9979.59	10166.89	12834	130.625	8	
98.20	99.20	10166.89	10021.19	12840	131.124	8	
98.20	99.20	10021.19	10057.80	12845	131.622	8	
98.20	99.20	10057.80	9972.05	12851	132.121	8	
98.20	99.20	9972.05	9924.17	12856	132.620	8	
98.20	99.20	9924.17	9720	12863	133.118	8	
98.20	99.20	9720	9720	12878	133.617	8	
98.20	99.20	9720	9720	12928	134.115	8	
RIO CLARO	99.20	99.20	9720	19539.89	12947	134.614	4
98.40	99.42	19539.89	3131.84	12955	135.112	4	
98.40	99.42	3131.84	2924.29	12961	135.611	4	
68.40	78.82	2924.29	2514.24	12969	136.110	4	
79.60	71.82	2514.24	2282.03	12975	136.608	4	
71.50	71.32	2282.03	2098.21	12982	137.107	4	
73.10	74.62	2098.21	19566.94	12988	137.605	4	
74.60	75.62	19566.94	1855.84	12994	138.104	4	
75.60	76.52	1855.84	1855.84	12998	138.602	4	
76.50	77.32	1855.84	1752.38	13001	139.101	5	
77.10	78.82	1752.38	12966.15	13007	139.600	5	
78.20	80.82	12966.15	2952.69	13013	139.600	5	
80.80	82.42	2952.69	3724.19	13019	140.600	5	
82.40	82.52	3724.19	2565.97	13025	140.597	5	
83.50	84.42	2565.97	2414.77	13031	141.595	6	
84.40	85.77	2414.77	4542.43	13037	141.594	6	
86.20	87.72	4542.43	4222.67	13042	142.593	6	
88.70	90.82	4222.67	57.79	13048	142.591	21	
90.80	93.20	57.79	2052.57	13053	143.589	5	
92.20	93.20	2052.57	5370.91	13059	143.588	7	
92.20	93.20	5370.91	11361.61	13064	144.586	9	
92.20	93.20	11361.61	14107.48	13070	144.584	9	
92.20	93.20	14107.48	15178.82	13076	145.584	9	
92.20	93.20	15178.82	16295.80	13081	145.582	9	
92.20	93.20	16295.80	16859.59	13087	146.581	9	
92.20	93.20	16859.59	16849.46	13092	146.579	9	
92.20	93.20	16849.46	16421.44	13098	147.578	9	
92.20	93.20	16421.44	2070.82	13104	148.577	9	
92.20	93.20	2070.82	17115.35	13109	149.576	9	
92.20	93.20	17115.35	16446.24	13115	149.575	9	
92.20	93.20	16446.24	16916.74	13119	149.574	9	
92.20	93.20	16916.74	13021.94	13120	149.572	9	
92.20	93.20	13021.94	7950.83	13125	149.571	8	
92.20	93.20	7950.83	3073.87	13131	150.569	7	
92.20	93.20	3073.87	2952.53	13136	150.568	6	
92.20	93.20	2952.53	2601.98	13142	151.566	6	
92.20	93.20	2601.98	2793.13	13148	151.565	6	
92.20	93.20	2793.13	3351.24	13154	152.564	6	
92.20	93.20	3351.24	3259.23	13158	153.563	6	
92.20	93.20	3259.23	3373.42	13163	153.562	6	
92.20	93.20	3373.42	21133	13169	154.561	6	
92.20	93.20	21133	2070.73	13175	155.560	5	
92.20	93.20	2070.73	2684.94	13182	156.559	5	
92.20	93.20	2684.94	2844.23	13187	156.557	5	
92.20	93.20	2844.23	2793.13	13193	156.556	5	
92.20	93.20	2793.13	4317.33	13204	157.555	7	
92.20	93.20	4317.33	6537.31	13213	157.554	7	
92.20	93.20	6537.31	2213	13218	158.553	7	
92.20	93.20	2213	7448.33	13223	159.552	7	
92.20	93.20	7448.33	8431.33	13228	159.551	7	
92.20	93.20	8431.33	2113	13233	160.550	7	
92.20	93.20	2113	6537.31	13237	160.549	7	
ITAPE	93.20	93.20	6537.31	2213	161.548	7	
92.20	93.20	2213	7448.33	13243	161.546	7	
92.20	93.20	7448.33	8431.33	13248	161.545	7	
92.20	93.20	8431.33	2113	13253	161.544	7	
92.20	93.20	2113	6537.31	13257	161.543	7	
92.20	93.20	6537.31	2213	13262	161.542	7	
92.20	93.20	2213	7448.33	13267	161.541	7	
92.20	93.20	7448.33	8431.33	13272	161.540	7	
92.20	93.20	8431.33	2113	13277	161.539	7	
92.20	93.20	2113	6537.31	13281	161.538	7	
92.20	93.20	6537.31	2213	13286	161.537	7	
92.20	93.20	2213	7448.33	13291	161.536	7	
92.20	93.20	7448.33	8431.33	13296	161.535	7	
92.20	93.20	8431.33	2113	13301	161.534	7	
92.20	93.20	2113	6537.31	13306	161.533	7	
92.20	93.20	6537.31	2213	13311	161.532	7	
92.20	93.20	2213	7448.33	13316	161.531	7	
92.20	93.20	7448.33	8431.33	13321	161.530	7	
92.20	93.20	8431.33	2113	13326	161.529	7	
92.20	93.20	2113	6537.31	13331	161.528	7	
92.20	93.20	6537.31	2213	13336	161.527	7	
92.20	93.20	2213	7448.33	13341	161.526	7	
92.20	93.20	7448.33	8431.33	13346	161.525	7	
92.20	93.20	8431.33	2113	13351	161.524	7	
92.20	93.20	2113	6537.31	13356	161.523	7	
92.20	93.20	6537.31	2213	13361	161.522	7	
92.20	93.20	2213	7448.33	13366	161.521	7	
92.20	93.20	7448.33	8431.33	13371	161.520	7	
92.20	93.20	8431.33	2113	13376	161.519	7	
92.20	93.20	2113	6537.31	13381	161.518	7	
92.20	93.20	6537.31	2213	13386	161.517	7	
92.20	93.20	2213	7448.33	13391	161.516	7	
92.20	93.20	7448.33	8431.33	13396	161.515	7	
92.20	93.20	8431.33	2113	13401	161.514	7	
92.20	93.20	2113	6537.31	13406	161.513	7	
92.20	93.20	6537.31	2213	13411	161.512	7	
92.20	93.20	2213	7448.33	13416	161.511	7	
92.20	93.20	7448.33	8431.33	13421	161.510	7	
92.20	93.20	8431.33	2113	13426	161.509	7	
92.20	93.20	2113	6537.31	13431	161.508	7	
92.20	93.20	6537.31	2213	13436	161		

	97,99	98,00	8878,29	8824,39	2,253	161,038	9
	98,00	98,00	8824,39	8801,44	2,238	161,516	9
	98,00	98,00	8801,44	8828,87	2,264	162,035	9
	98,00	98,00	8828,87	8483,28	2,249	162,513	9
	98,00	98,00	8483,28	8981,78	2,215	163,032	9
	98,00	98,00	8981,78	12583,92	2,281	163,538	9
	98,00	98,00	12583,92	12931,94	2,285	164,029	9
	98,00	98,00	12931,94	14187,99	2,292	164,527	9
	98,00	98,00	14187,99	14695,92	2,297	165,026	9
	98,00	98,00	14695,92	14988,51	2,303	165,525	9
	98,00	98,00	14988,54	15135,29	2,308	166,023	9
	98,00	98,00	15135,29	15298,67	2,314	166,522	9
	98,00	98,00	15298,67	15295,36	2,319	167,021	9
	98,00	98,00	15295,36	15253,71	2,325	167,519	9
	98,00	98,00	15253,71	15272,88	2,330	168,017	9
	98,00	98,00	15272,88	15277,48	2,336	168,516	9
	98,00	98,00	15277,46	15279,76	2,341	169,014	9
	98,00	98,00	15279,76	15282,98	2,347	169,513	9
	98,00	98,00	15282,98	15281,48	2,353	170,012	9
	98,00	98,00	15281,48	15281,78	2,358	170,510	9
	98,00	98,00	15281,78	15281,91	2,364	171,009	9
	98,00	98,00	15281,91	15281,98	2,369	171,507	9
	98,00	98,00	15281,99	15292,01	2,375	172,006	9
	98,00	98,00	15292,01	15292,03	2,380	172,504	9
	98,00	98,00	15292,03	15292,05	2,387	173,003	9
	98,00	98,00	15292,04	9,00	2,402	173,502	9
	61,64	9,00	9,00	9,00	2,452	174,000	9
	61,64	9,00	9,00	9,00	2,452	174,000	9
GRAUNA							
ITIRAPINA							

Figura D.4.d

exportação:

ESTADO DO MARANHÃO	VÍNCULO	VÍNCULO	PRINCIPAL	PRINCIPAL	TERMO	EX.	SHUNT
PIRIPERNA	0,00	52,42	8,00	19389,00	1010	171,501	1
	52,42	68,42	19389,00	6388,00	8037	171,501	5
	68,42	68,32	6188,00	5772,57	8035	172,503	5
	68,32	71,12	5772,57	9227,45	8032	172,506	6
	71,12	74,52	8217,96	7732,98	8030	171,507	6
	74,52	78,52	7732,98	6704,00	8025	171,509	6
	78,52	77,82	6704,00	6382,47	8022	170,510	6
	77,82	79,32	6382,47	7649,00	8020	170,512	7
	79,32	81,32	7649,00	8918,14	8021	169,513	7
	81,32	84,72	8918,14	11016,72	8018	169,514	8
	84,72	89,82	11016,72	9197,13	8006	169,516	8
	89,82	92,82	9197,13	3427,52	8001	168,517	6
	92,82	98,00	3427,52	6453,89	8097	167,519	7
	98,00	98,82	6453,89	6453,89	8082	167,520	7
	98,82	98,82	6453,89	2829,47	8048	166,522	5
	98,82	2028,97	2829,47	1183,34	8113	165,523	21
	98,82	98,82	1183,34	1289,53	8109	165,524	21
	98,82	98,82	1289,53	1604,35	8124	165,526	21
	98,82	98,82	1604,35	1767,63	8110	164,527	21
	98,82	98,82	1767,63	1848,89	8103	164,529	21
	98,82	98,82	1848,89	1888,18	8141	163,530	21
	98,82	98,82	1888,18	1899,87	8147	163,532	21
	98,82	98,82	1899,87	1999,71	8152	162,533	21
	98,82	98,82	1999,71	487,79	8158	162,535	21
	98,82	98,82	487,79	1858,81	8163	161,536	5
	98,82	98,82	1858,81	2978,91	8169	161,537	6
	98,82	98,82	2978,91	3781,16	8174	160,539	6
	98,82	98,82	3781,16	3944,53	8184	160,540	6
	98,82	98,82	3944,53	4026,22	8195	159,542	6
	98,82	98,82	4026,22	4057,81	8191	159,543	6
	98,82	98,82	4057,81	6325,51	8196	158,545	7
	98,82	98,82	6325,51	4216,56	8202	158,546	7
	98,82	98,82	4216,56	4400,73	8208	157,548	7
	98,82	98,82	4400,73	4254,87	8213	157,549	7
	98,82	98,82	4254,87	4186,94	8219	156,550	6
	98,82	98,82	4186,94	5886,78	8224	156,552	7
	98,82	98,82	5886,78	8833,91	8230	155,553	8
	98,82	98,82	8833,91	9400,59	8235	155,555	8
	98,82	98,82	9400,59	9848,84	8241	154,556	8
	98,82	98,82	9848,84	10299,96	8246	154,558	8
	98,82	98,82	10299,96	18299,27	8252	153,559	8
	98,82	98,82	18299,27	18533,57	8257	153,561	8
	98,82	98,82	18533,57	10649,48	8263	152,562	8
	98,82	98,82	10649,48	10469,78	8268	152,563	8
	98,82	98,82	10469,78	10370,93	8274	151,565	8
	98,82	98,82	10370,93	18326,91	8280	151,566	8
	98,82	98,82	18326,91	10303,55	8285	150,568	8
	98,82	98,82	10303,55	19539,41	8291	150,569	8
	98,82	98,82	19539,41	18405,75	8296	149,571	8
	98,82	98,82	18405,75	19343,42	8302	149,572	8
	98,82	98,82	19343,42	19312,25	8307	148,573	8
	98,82	98,82	19312,25	5853,72	8313	148,575	8
	98,82	98,82	5853,72	1433,41	8318	147,576	5
	98,82	98,82	1433,41	1023,65	8323	147,578	21
	98,82	98,82	1023,65	2495,27	8329	146,579	22
	98,82	98,82	2495,27	3231,39	8335	146,581	22
	98,82	98,82	3231,39	3358,92	8340	145,582	22
	98,82	98,82	3358,92	3663,90	8345	145,584	23
	98,82	98,82	3663,90	3815,48	8352	144,585	23
	98,82	98,82	3815,48	3891,15	8357	144,586	23
	98,82	98,82	3891,15	3698,93	8363	143,588	23
	98,82	98,82	3698,93	3828,91	8368	143,589	23
	98,82	98,82	3828,91	1993,98	8374	142,591	21
	98,82	98,82	1993,98	5533,23	8379	142,592	7
	98,82	98,82	5533,23	8433,15	8395	141,593	8
	98,82	98,82	8433,15	9647,93	8399	141,595	8
	98,82	98,82	9647,93	19753,49	8396	140,597	8
	98,82	98,82	19753,49	18557,63	8401	139,598	8
	98,82	98,82	18557,63	19729,29	8407	139,599	8
	98,82	98,82	19729,29	11023,19	8412	139,601	9
	98,82	98,82	11023,19	18941,93	8418	137,602	9
	98,82	98,82	18941,93	11139,47	8424	136,603	9
	98,82	98,82	11139,47	11009,19	8429	137,605	9
	98,82	98,82	11009,19	11168,57	8435	137,607	9
	98,82	98,82	11168,57	11014,69	8440	136,608	9
	98,82	98,82	11014,69	11144,12	8446	136,609	9
	98,82	98,82	11144,12	11132,15	8451	135,611	9
	98,82	98,82	11132,15	11259,53	8457	135,612	9
	98,82	98,82	11259,53	10953,74	8462	134,614	9
	98,82	98,82	10953,74	9,00	8469	133,615	9
	61,64	8,00	8,00	9,00	8474	133,617	9
	61,64	8,00	8,00	8,00	8479	133,618	9
	53,11	53,11	53,11	19582,90	8533	132,620	4
	66,51	67,81	67,81	3519,93	8561	132,621	4
	67,81	69,31	69,31	3257,23	8569	131,622	4
	69,31	71,71	71,71	2956,52	8576	131,623	4
	71,71	71,81	71,81	2740,86	8583	130,625	4
	71,81	72,61	72,61	2728,54	8590	130,627	4
	72,61	73,31	73,31	2516,58	8597	129,628	4
	73,31	73,31	73,31	2282,25	8603	129,630	5
	73,31	77,31	77,31	4039,45	8610	128,631	5
	77,31	80,11	80,11	3572,79	8616	128,633	5
	80,11	82,91	82,91	3288,15	8623	127,634	5
	82,91	84,11	84,11	3078,83	8629	127,635	5
	84,11	84,31	84,31	2944,22	8635	126,637	5
	84,31	84,31	84,31	2855,32	8640	126,638	5
	84,31	84,31	84,31	5181,52	8646	125,639	5
	84,31	85,31	85,31	5181,52	8652	125,641	7
	85,31	85,31	85,31	5682,75	8658	124,643	8
	85,31	87,31	87,31	18049,28	8664	124,644	8
	87,31	87,31	87,31	12792,83	8671	124,644	8
	87,31	87,31	87,31	10344,23	8674	123,646	8
	87,31	88,31	88,31	6844,78	8681	123,648	8
	88,31	88,31	88,31	10552,23	8684	122,649	8
	88,31	89,31	89,31	10717,50	8689	122,650	8
	89,31	89,31	89,31	10330,22	8695	122,651	9

Figura D.5.a

EXCELENTE

98,88	98,88	10959,88	10942,38	876	121,103	9
98,88	98,88	10932,38	10913,62	732	120,654	9
98,88	98,88	10913,62	10975,71	727	120,155	9
98,88	98,88	10975,71	10935,33	713	119,657	9
98,88	98,88	10935,33	10915,13	718	119,159	9
98,88	98,88	10915,13	10915,08	723	118,659	9
98,88	98,88	10915,08	10920,99	730	118,161	9
98,88	98,88	10920,99	10897,47	735	117,659	9
98,88	98,88	10897,47	10896,21	731	117,164	9
98,88	98,88	10896,21	10996,71	746	116,666	9
98,88	98,88	10996,71	11724,92	752	116,167	9
98,88	98,88	11724,92	8172,95	752	115,669	6
98,88	98,88	8172,95	3315,18	777	115,178	5
98,88	98,88	3315,18	1818,47	773	114,671	21
98,88	98,88	1818,47	1838,27	768	114,173	21
98,88	98,88	1838,27	1750,59	774	114,674	21
98,88	98,88	1750,59	1744,93	779	113,674	21
98,88	98,88	1744,93	1842,29	785	113,176	21
98,88	98,88	1842,29	1111,31	791	112,677	21
98,88	98,88	1111,31	1225,28	796	112,179	21
98,88	98,88	1225,28	1275,27	802	111,680	21
98,88	98,88	1275,27	1310,76	807	111,182	21
98,88	98,88	1310,76	1325,01	813	110,683	21
98,88	98,88	1325,01	1325,81	818	110,184	21
98,88	98,88	1325,81	1332,13	824	109,686	5
98,88	98,88	1332,13	177,74	830	109,187	5
98,88	98,88	177,74	1807,41	841	108,689	6
98,88	98,88	1807,41	2739,99	849	108,190	6
98,88	98,88	2739,99	3221,28	855	108,691	6
98,88	98,88	3221,28	3574,79	860	108,194	6
98,88	98,88	3574,79	3646,18	866	107,692	6
98,88	98,88	3646,18	3659,17	871	107,193	6
98,88	98,88	3659,17	3768,34	877	106,695	6
98,88	73,48	3768,34	8,99	883	106,196	6
73,48	81,98	8,99	8,99	888	105,697	6
81,98	81,98	8,99	8,99	893	105,199	6
51,95	81,98	8,99	8,99	898	104,700	6
81,98	81,98	8,99	8,99	903	104,292	1
81,98	55,27	8,99	19524,88	908	103,703	5
55,27	67,97	19524,88	5285,48	916	103,295	5
67,97	71,97	5285,48	4775,76	923	102,706	6
71,97	77,97	4775,76	4583,44	929	102,208	6
77,97	75,27	4583,44	7829,88	936	101,709	6
75,27	75,37	7829,88	6259,39	942	101,210	6
75,37	88,27	6259,39	5818,83	949	100,712	6
88,27	81,57	5818,83	5536,37	1005	100,213	6
81,57	81,57	5536,37	3338,42	1011	99,715	6
81,57	83,27	3338,42	5193,84	1016	99,216	6
83,27	93,97	5193,84	5254,91	1022	99,718	6
93,97	84,77	5254,91	4483,91	1027	98,718	6
84,77	85,87	4483,91	5495,52	1033	98,219	7
85,87	86,67	5495,52	5212,35	1038	97,720	7
86,67	89,57	5212,35	9237,39	1044	97,222	8
89,57	96,98	9237,39	569,77	1049	96,723	21
96,98	96,98	569,77	4516,67	1055	96,225	7
96,98	96,98	4516,67	4494,91	1062	95,726	7
96,98	96,98	4494,91	4635,78	1066	95,228	7
96,98	96,98	4635,78	4539,43	1071	94,729	7
96,98	96,98	4539,43	4491,79	1077	94,231	7
96,98	96,98	4491,79	4735,32	1083	93,732	7
96,98	98,98	4735,32	4838,77	1088	93,233	7
98,98	98,98	4838,77	5356,94	1094	92,735	7
98,98	98,98	5356,94	5220,39	1099	92,236	7
98,98	98,98	5220,39	5222,75	1105	91,738	7
98,98	98,98	5222,75	5223,93	1110	91,239	7
98,98	98,98	5223,93	5224,52	1115	90,741	7
98,98	98,98	5224,52	5415,29	1121	90,242	7
98,98	98,98	5415,29	5120,28	1127	89,743	7
98,98	98,98	5120,28	5272,63	11312	89,245	7
98,98	98,98	5272,63	5298,88	1143	88,746	7
98,98	98,98	5298,88	5483,67	1149	87,749	7
98,98	98,98	5483,67	5314,39	1155	87,251	7
98,98	98,98	5314,39	6170,51	1164	86,752	8
98,98	98,98	6170,51	8819,58	1167	86,253	8
98,98	98,98	8819,58	8973,38	1165	85,755	8
98,98	98,98	8973,38	9341,43	1171	85,256	8
98,98	98,98	9341,43	9524,99	1177	84,758	8
98,98	98,98	9524,99	9751,28	1182	84,759	8
98,98	98,98	9751,28	9735,81	1188	83,761	8
98,98	98,98	9735,81	9732,18	1193	83,262	8
98,98	98,98	9732,18	9818,81	1193	82,764	8
98,98	63,64	9818,81	8,89	1205	82,265	8
63,64	81,27	8,89	8,89	1211	81,767	8
81,27	8,89	8,89	8,89	1216	81,268	8
8,89	49,52	8,89	19524,88	1222	80,769	8
49,52	61,82	19524,88	8155,46	1233	80,271	8
61,82	64,12	8155,46	7221,88	1238	79,772	6
64,12	67,32	7221,88	9361,58	1240	79,274	6
67,32	79,92	9361,58	8249,52	1243	79,775	6
79,92	73,82	8249,52	7655,14	1248	78,777	6
73,82	75,32	7655,14	7287,37	1257	77,779	7
75,32	76,32	7287,37	9311,23	1253	77,779	7
76,32	78,57	9311,23	8221,22	1258	77,280	7
78,57	82,12	8221,22	12126,97	1263	76,781	8
82,12	86,52	12126,97	12856,98	1262	76,282	8
86,52	88,52	12856,98	9434,74	1267	76,784	8
88,52	93,22	9434,74	5812,15	1273	75,285	7
93,22	98,98	5812,15	7373,58	1278	74,787	8
98,98	98,98	7373,58	7342,45	1284	74,288	8
98,98	98,98	7342,45	7322,35	1288	73,790	8
98,98	98,98	7322,35	7327,87	1293	73,291	8
98,98	98,98	7327,87	8130,52	1298	72,793	8
98,98	98,98	8130,52	7330,52	1303	72,294	8
98,98	98,98	7330,52	7333,12	1308	71,795	8
98,98	98,98	7333,12	7334,21	1312	71,297	8
98,98	98,98	7334,21	8130,75	1317	71,798	8
98,98	98,98	8130,75	8130,75	1323	70,798	8
98,98	98,98	8130,75	8130,75	1328	70,300	8
98,98	98,98	8130,75	8130,75	1333	69,801	8
98,98	98,98	8130,75	8130,75	1338	69,303	8
98,98	98,98	8130,75	8130,75	1343	68,804	8
98,98	98,98	8130,75	8130,75	1348	68,305	8
98,98	98,98	8130,75	8130,75	1353	68,806	8
98,98	98,98	8130,75	8130,75	1358	68,307	8
98,98	98,98	8130,75	8130,75	1363	68,808	8
98,98	98,98	8130,75	8130,75	1368	68,309	8
98,98	98,98	8130,75	8130,75	1373	68,810	8
98,98	98,98	8130,75	8130,75	1378	68,311	8
98,98	98,98	8130,75	8130,75	1383	68,812	8
98,98	98,98	8130,75	8130,75	1388	68,313	8
98,98	98,98	8130,75	8130,75	1393	68,814	8
98,98	98,98	8130,75	8130,75	1398	68,315	8
98,98	98,98	8130,75	8130,75	1403	68,816	8
98,98	98,98	8130,75	8130,75	1408	68,317	8
98,98	98,98	8130,75	8130,75	1413	68,818	8
98,98	98,98	8130,75	8130,75	1418	68,319	8
98,98	98,98	8130,75	8130,75	1423	68,820	8
98,98	98,98	8130,75	8130,75	1428	68,321	8
98,98	98,98	8130,75	8130,75	1433	68,822	8
98,98	98,98	8130,75	8130,75	1438	68,323	8
98,98	98,98	8130,75	8130,75	1443	68,824	8
98,98	98,98	8130,75	8130,75	1448	68,325	8
98,98	98,98	8130,75	8130,75	1453	68,826	8
98,98	98,98	8130,75	8130,75	1458	68,327	8
98,98	98,98	8130,75	8130,75	1463	68,828	8
98,98	98,98	8130,75	8130,75	1468	68,329	8
98,98	98,98	8130,75	8130,75	1473	68,830	8
98,98	98,98	8130,75	8130,75	1478	68,331	8
98,98	98,98	8130,75	8130,75	1483	68,332	8
98,98	98,98	8130,75	8130,75	1488	68,333	8
98,98	98,98	8130,75	8130,75	1493	68,334	8
98,98	98,98	8130,75	8130,75	1498	68,335	8
98,98	98,98	8130,75	8130,75	1503	68,336	8
98,98	98,98	8130,75	8130,75	1508	68,337	8
98,98	98,98	8130,75	8130,75	1513	68,338	8
98,98	98,98	8130,75	8130,75	1518	68,339	8
98,98	98,98	8130,75	8130,75	1523	68,340	8
98,98	98,98	8130,75	8130,75	1528	68,341	8
98,98	98,98	8130,75	8130,75	1533	68,342	8

64,24	64,49	7136,64	6535,84	1,516	67,917	5
65,23	65,49	6515,86	9340,74	1,513	67,708	5
66,24	71,94	9429,74	7945,44	1,531	68,819	5
71,94	71,84	7963,44	7426,38	1,577	68,311	5
74,94	74,94	7476,84	7144,37	1,563	65,713	5
74,99	76,79	7104,17	9740,37	1,570	65,313	7
76,79	74,49	8798,97	7855,82	1,576	66,416	7
78,79	87,39	7955,92	12026,57	1,582	66,317	8
87,79	86,89	12046,47	10211,46	1,598	63,818	8
86,69	89,19	10241,46	9337,13	1,594	63,329	8
89,19	81,77	9337,13	82,80	1,600	62,921	8
HORTOLANDIA						
91,77	89,47	87,83	10996,54	1,645	62,323	8
88,47	83,17	12996,54	11655,42	1,611	61,824	7
83,17	85,27	11655,42	14161,82	1,617	61,326	9
85,27	81,97	14161,82	13156,69	1,623	62,827	9
88,37	90,88	13156,69	9934,95	1,628	69,329	9
90,88	98,28	9934,95	11657,29	1,634	59,838	9
98,28	98,28	11657,29	11751,55	1,639	59,333	9
98,28	98,28	11751,55	11722,35	1,645	59,833	9
98,28	98,28	11722,35	11736,76	1,639	58,333	9
98,28	98,28	11736,76	11778,32	1,636	57,836	9
98,28	98,28	11778,32	11734,74	1,661	57,337	9
98,28	98,28	11734,74	11712,93	1,667	56,819	9
98,28	98,28	11712,93	11914,88	1,672	56,347	9
98,28	98,28	11914,88	11817,98	1,678	55,812	9
98,28	98,28	11817,98	11751,57	1,681	55,343	9
98,28	98,28	11751,57	11722,85	1,683	54,884	9
98,28	98,28	11722,85	11945,89	1,695	54,346	9
98,28	98,28	11945,89	11818,13	1,690	53,837	9
98,28	98,28	11818,13	11754,65	1,696	53,349	9
98,28	98,28	11754,65	11722,90	1,691	52,850	9
98,28	98,28	11722,90	11501,25	1,717	52,352	9
98,28	98,28	11501,25	11844,65	1,722	51,853	9
98,28	98,28	11844,65	11261,35	1,738	51,354	9
98,28	98,28	11261,35	10947,29	1,733	50,836	9
98,28	98,28	10947,29	11145,71	1,739	50,357	9
98,28	98,28	11145,71	11806,88	1,744	49,869	9
98,28	98,28	11806,88	12937,46	1,753	49,360	9
98,28	98,28	12937,46	11243,81	1,755	48,862	9
98,28	98,28	11243,81	11055,93	1,761	48,363	9
98,28	98,28	11055,93	10951,99	1,767	47,868	9
98,28	98,28	10951,99	10915,82	1,772	47,366	9
98,28	98,28	10915,82	10991,51	1,778	46,867	9
98,28	98,28	10991,51	10879,79	1,783	46,369	9
98,28	98,28	10879,79	10877,92	1,783	46,870	9
98,28	98,28	10877,92	10878,92	1,793	47,372	9
98,28	63,64	10878,92	9-0-23	1,801	44,873	9
63,64	87,82	9-0-23	8-0-80	1,815	41,375	9
87,82	87,82	8-0-80	8-0-80	1,848	41,876	9
43,86	43,86	19508,80	11588,15	1,890	43,378	9
53,25	55,25	11588,15	13893,93	13968	42,380	9
55,25	62,25	13893,93	11598,13	1,917	41,882	9
62,25	63,76	11598,13	10974,27	1,921	41,393	9
63,76	67,16	10974,27	14829,84	1,932	40,885	7
67,16	71,26	14829,84	11902,27	1,942	40,346	7
71,26	75,26	11902,27	15628,52	1,945	39,889	7
75,26	79,26	15628,52	8132,19	1,952	39,389	7
79,26	79,26	8132,19	5951,62	1,958	38,890	6
79,26	81,46	5951,62	1349,20	1,965	38,392	4
81,46	82,46	1349,20	12523,85	1,971	37,893	4
82,46	83,16	12523,85	8-0-93	1,975	37,395	3
83,16	85,28	8-0-93	412,85	1,982	36,898	2
85,28	85,62	412,85	6-78	1,987	36,398	1
85,62	86,42	6-78	6-89	1,993	35,899	1
86,42	87,28	6-89	5-56	1,998	35,341	1
87,28	87,28	5-56	5-14	2,003	34,892	1
87,28	88,28	5-14	-2183,34	2,040	31,893	2
98,28	98,28	-2183,34	721,68	2,015	33,909	5
98,28	98,28	721,68	4312,81	2,029	33,488	7
98,28	98,28	4312,81	6358,77	2,025	32,908	7
98,28	98,28	6358,77	6537,98	2,031	32,409	7
98,28	98,28	6537,98	7328,56	2,037	31,911	8
98,28	98,28	7328,56	8-0-40	2,032	31,912	8
98,28	91,45	8-0-40	13929,53	2,048	32,913	8
91,45	93,25	13929,53	13881,72	2,044	32,315	8
93,25	87,28	13881,72	10955,95	2,053	29,916	9
87,28	89,15	10955,95	13031,99	2,065	29,314	9
89,15	101,05	13031,99	10915,99	2,065	29,314	9
101,05	92,25	10915,99	1374,79	2,071	23,914	9
92,25	92,25	1374,79	12275,47	2,074	23,431	8
92,25	92,25	12275,47	10421,47	2,092	23,977	8
92,25	92,25	10421,47	10331,41	2,093	23,431	8
92,25	92,25	10331,41	12771,87	2,093	23,431	8
92,25	92,25	12771,87	13273,98	2,093	23,431	8
92,25	92,25	13273,98	10532,27	2,093	23,431	8
92,25	92,25	10532,27	14532,27	2,093	23,431	8
92,25	92,25	14532,27	13231,64	2,093	23,431	8
92,25	92,25	13231,64	13176,15	2,110	23,431	8
92,25	92,25	13176,15	10592,29	2,110	23,431	8
92,25	92,25	10592,29	10103,85	2,121	23,431	8
92,25	92,25	10103,85	13596,81	2,121	23,431	8
92,25	92,25	13596,81	12713,51	2,125	23,431	8
92,25	92,25	12713,51	10474,29	2,132	23,431	8
92,25	92,25	10474,29	11373,93	2,132	22,917	9
92,25	92,25	11373,93	13035,61	2,133	22,838	9
92,25	75,55	13035,61	8-0-40	2,133	21,433	9
75,55	64,81	8-0-40	17176,22	2,135	21,433	9
64,81	77,71	17176,22	12492,64	2,135	20,932	9
77,71	77,71	12492,64	13754,45	2,136	20,431	9
77,71	76,41	13754,45	3126,23	2,141	19,933	9
76,41	79,21	3126,23	11,63	2,141	19,311	8
79,21	81,21	11,63	8-0-22	2,141	18,910	8
81,21	81,21	8-0-22	5-93	2,193	18,430	8
81,21	84,61	5-93	2-193	18,430	18,430	8
84,61	84,61	2-193	10-103	17,179	17,179	8
84,61	84,61	10-103	14327,33	17,433	17,433	8
84,61	84,61	14327,33	2-231,33	17,433	17,433	8
84,61	84,61	2-231,33	707,29	16,216	16,216	8
84,61	84,61	707,29	1642,19	15,227	15,227	8

Figura D.5.c

	98,88	98,88	15927,45	2929,17	2,226	16,458	6
	98,88	98,88	2928,17	6692,32	2,232	14,968	7
	98,88	98,88	6892,32	18876,71	2,237	14,461	8
	98,88	98,88	18876,71	13244,28	2,241	13,962	9
	98,88	98,88	13244,28	14633,33	2,248	13,464	9
	98,88	98,88	14633,33	18847,27	2,244	12,965	9
	98,88	98,88	18847,27	15337,85	2,239	12,467	9
	98,88	98,88	15337,85	9,88	2,235	11,968	9
	74,24	74,24	9,88	18212,15	2,271	11,470	9
	66,33	66,33	18212,15	18615,81	2,278	10,971	8
	66,33	74,24	18615,81	16235,32	2,295	10,473	8
	74,24	74,24	16235,32	19892,52	2,292	9,974	8
CORRUPERA	74,24	76,93	19892,52	12795,51	2,228	9,475	8
	76,93	88,73	12795,51	19970,53	2,301	8,977	8
	88,73	84,83	19970,53	9710,24	2,319	8,478	8
	84,83	88,73	9710,24	2894,16	2,315	7,980	8
	88,73	98,88	2894,16	5617,68	2,321	7,481	7
	98,88	98,88	5617,68	3899,65	2,326	6,983	7
	98,88	98,88	3899,65	6293,59	2,312	6,484	7
	98,88	98,88	6293,59	5411,53	2,317	5,986	7
	98,88	98,88	5411,53	5494,39	2,343	5,487	7
	98,88	98,88	5494,39	5692,67	2,348	4,988	7
BOSTO	98,88	84,12	5692,67	9,98	2,334	4,490	6
	84,12	83,88	9,98	18881,42	2,340	3,993	6
	83,88	87,16	18881,42	18856,85	2,366	3,493	6
	87,16	92,88	18856,85	2312,51	2,371	2,994	5
	92,88	73,48	2312,51	8,88	2,372	2,496	6
	73,48	51,96	8,88	8,88	2,385	1,997	6
	51,96	8,88	8,88	8,88	2,394	1,498	6
JUNDIAPAUDETA	8,88	8,88	8,88	8,88	2,401	1,999	6

Figura D.5.d

APÊNDICE E

Neste Apêndice serão mostradas algumas saídas de simulações da aplicação do Capítulo VI, baseadas em um critério de melhora do desempenho elétrico do sistema , para variações dos despachos em torno dos pontos de operação especificados.

E.1 - O DESEMPENHO ELÉTRICO

Definindo-se um critério que justifique o desempenho elétrico do sistema ferroviário eletrificado: (8)

$$E = \int_0^{T_s} \left\{ \sum_{k=1}^{NT(t)} P_k(t) \right\} . dt + \int_0^{T_s} \Delta p(t) . dt \quad (E.1)$$

onde $P_k(t)$ = potência absorvida pelo trem k no instante t.

$NT(t)$ = número de trens no sistema no instante t.

$\Delta p(t)$ = perdas nos elementos eletricamente ativos do sistema no instante t.

T_s = tempo de simulação.

E.2 - SAÍDAS DE SIMULAÇÕES

P A R T I D A S :

TREM	HORARIO	TIPO	KM ₀ INICIAL	KM ₀ FINAL
P06	9 ₀₀ H00 0 ₀₀ MIN00	PASAG	174 ₀₀	1 ₄₀
P05	9 ₀₀ H00 24 ₀₀ MIN00	PASAG	1 ₄₀	174 ₀₀
P08	18 ₀₀ H00 6 ₀₀ MIN00	PASAG	174 ₀₀	1 ₄₀
P07	18 ₀₀ H00 24 ₀₀ MIN00	PASAG	1 ₄₀	174 ₀₀
P10	11 ₀₀ H00 24 ₀₀ MIN00	PASAG	174 ₀₀	1 ₄₀

***** CRITERIO DO DESEMPENH

ELETTRICO

132.304

MN/HORA

***** TEMPO DE SIMULACAO

341 HORAS

***** TEMPOS DE ESPERA * MINUTOS

TREM	P06	*	000000
TREM	P05	*	39200
TREM	P08	*	15100
TREM	P07	*	30000
TREM	P10	*	00000

***** CRITERIO DE ATRAGO

48200

MINUTOS

Figura E.1

REPRESENTACAO GRAFICA DO MOVIMENTO DOS TRENS

DIAGRAMA ESPACO X TEMPO

* TREINHO SENTIDO IMPORTACAO

TREINHO SENTIDO EXPORTACAO

PARADAS PROGRAMADAS E KM's ESTACAO

174,8	ITIRI
133,8	RODAR
103,3	LIMXE
82,8	ANHRE
69,8	SUMAR
44,8	CAMP
1,8	JUNDIAI

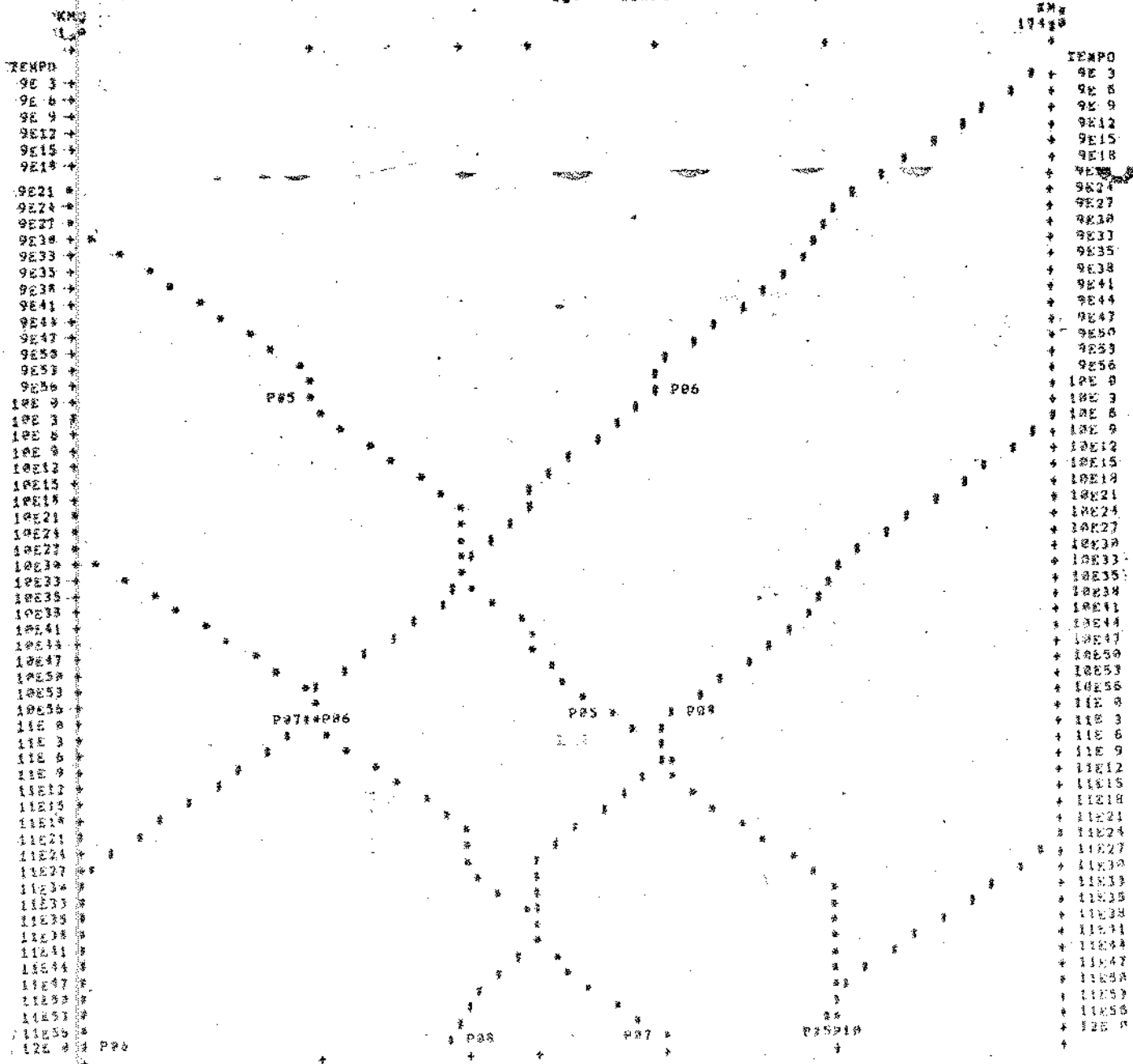


Figura E.2

P A R T I D A S :

TREM	HORARIO	TIPO	KM INICIAL	KM FINAL
P96	9,08H30 9,08MIN30	PASAG	174,0	1,0
P95	9,08H30 3,08MIN30	PASAG	1,0	174,0
P98	10,08H30 6,08MIN30	PASAG	174,0	1,0
P97	10,08H30 24,08MIN30	PASAG	1,0	174,0
P10	11,08H30 24,08MIN30	PASAG	174,0	1,0

***** CRITERIO DO DESEMPENHO

ELETTRICO

132/152

MJEHORA

***** TEMPO DE SIMULACAO

361 HORAS

***** TEMPOS DE ESPERA = MINUTOS

TREM	P96	=	00:00
TREM	P95	=	24,000
TREM	P98	=	15,000
TREM	P97	=	3,000
TREM	P10	=	0,000

***** CRITERIO DE ATRASO

42100

MINUTOS

Figura E.3

REPRESENTACAO GRAFICA DO MOVIMENTO DOS TRENS

DIAGRAMA ESPACO X TEMPO

* TREM NO SENTIDO IMPORTACAO

* TREM NO SENTIDO EXPORTACAO

PARADAS PROGRAMADAS ± KM_x ESTACAO

174,0	ITIBA
133,8	RCLAR
103,5	LINEL
82,8	AMERI
69,8	SUHAR
44,8	CAMP
1,8	JUSOI

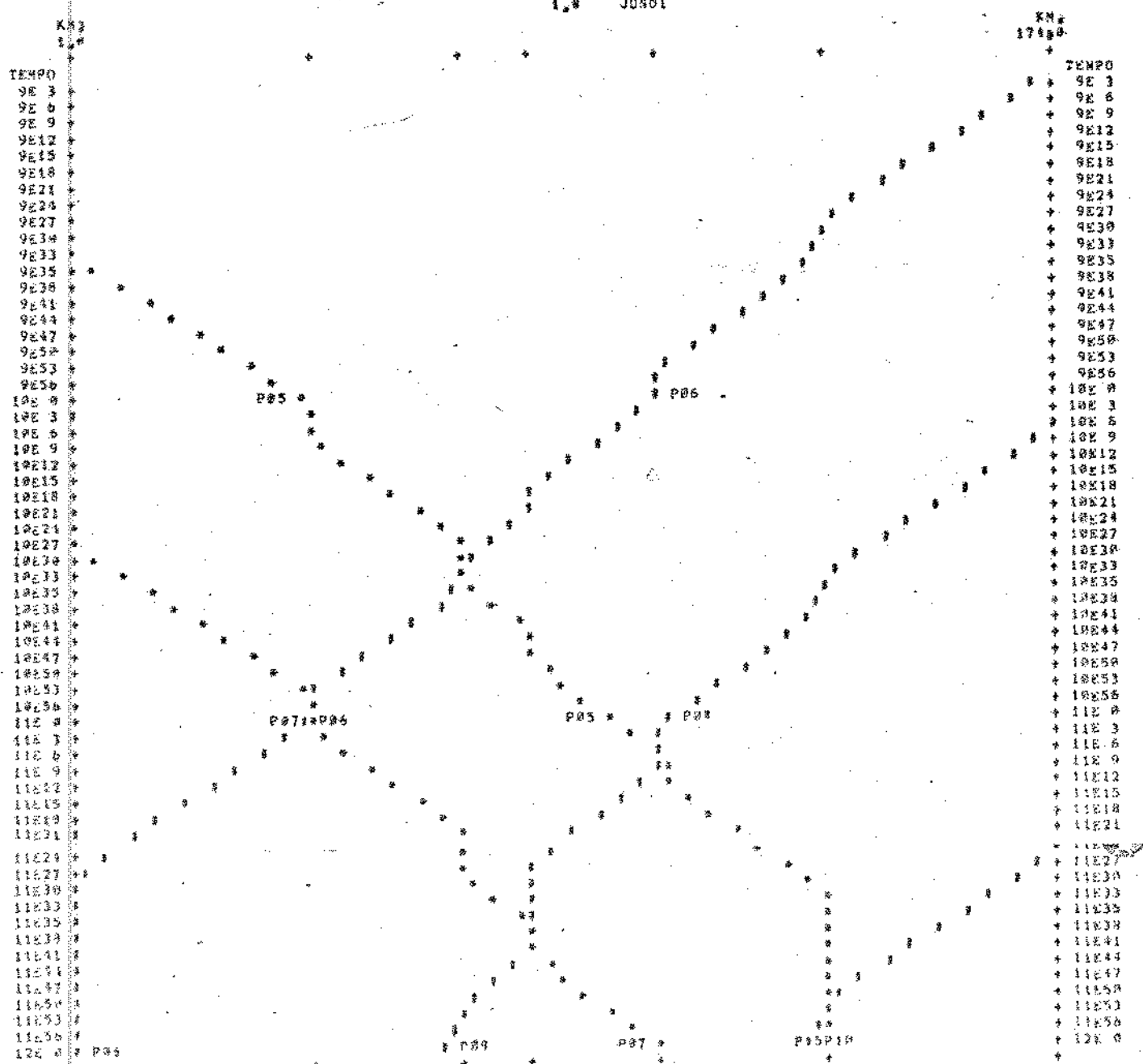


Figura E.4

P A R T I D A S :

TREM	HORARIO	TIPO	KM ₁ INICIAL	KM ₂ FINAL
P96	9,08H30 8,9MIN3	PASAG	174,98	1,9
P95	9,98H30 24,9MIN3	PASAG	1,9	174,98
P98	10,98H30 12,9MIN3	PASAG	174,98	1,9
P97	10,98H30 24,9MIN3	PASAG	1,9	174,98
P10	11,98H30 24,9MIN3	PASAG	174,98	1,9

***** CRITERIO DO DESEMPENHO

ELETTRICO

139,948

MILHORA

***** TEMPO DE SIMULACAO

351 HORAS *****

***** TEMPOS DE ESPERA * MINUTOS *****

TREM	P96	*	8,298
------	-----	---	-------

TREM	P95	*	30,298
------	-----	---	--------

TREM	P98	*	12,998
------	-----	---	--------

TREM	P97	*	6,198
------	-----	---	-------

TREM	P10	*	8,298
------	-----	---	-------

***** CRITERIO DE ATRASO 43,998 MINUTOS *****

Figura E.5

REPRESENTAÇÃO GRÁFICA DO MOVIMENTO DOS TRENS
DIAGRAMA ESPAÇO X TEMPO

a) TREM NO SENTIDO IMPORTAÇÃO
b) TREM NO SENTIDO EXPORTAÇÃO

PARADAS PROGRAMADAS E KM_x ESTAÇÃO

174,8	ITIRÁ
133,8	RECAR
185,5	LINZET
82,8	SHERI
69,6	SUHAR
44,8	CAMP
1,8	JUNDIAÍ

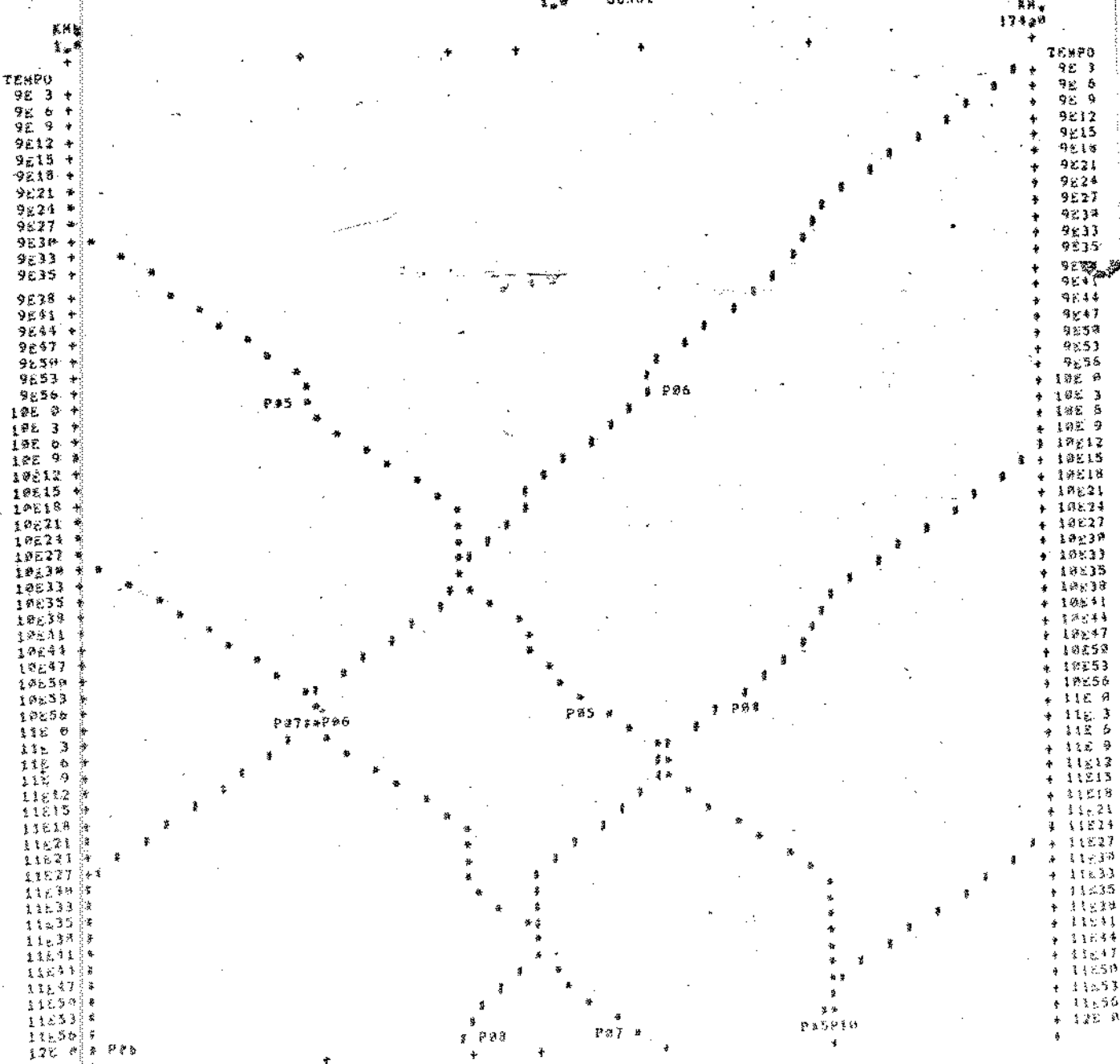


Figura E.6

REFERENCIAS BIBLIOGRÁFICAS

- 1 - GARREAU, M. -
"La Traction Électrique"
Editions Scientifiques Riber
Paris - 1965
- 2 - DOVER, A.T. -
"Electric Traction"
Pitman & Sons Ltd.
London - 1963
- 3 - TOGNO, F.M. -
"Ferrocarriles"
Representaciones y Servicios de Ingenieria S.A.
Mexico - 1974
- 4 - ELGERD, O.I. -
"Electric Energy Systems Theory"
Mc Graw-Hill Book Company
USA - 1971
- 5 - STAGG, G.W. , EL-ABIAD, A.H. -
"Computer Methods in Power System Analysis"
Mc Graw-Hill Kogakuska Ltd.
Tokio - 1968
- 6 - CHRISTIE, C.V. -
"Electrical Engineering"
Mc Graw-Hill Book Company
USA - 1966
- 7 - KUESTER, J.L. , MIZE, J.H. -
"Optimization Techniques with Fortran"
Mc Graw-Hill Book Company
USA - 1973
- 8 - CHANG, CHE-SAU -
"Digital Computer Simulation and Optimization of A.C. Railway
Electrification"

Thesis submitted to the Victoria University of Manchester for
the degree of Doctor of Philosophy
Manchester - 1975

- 9 - DECKMAN S.M. -
"Modelo Desacoplado para Calcular Queda de Tensão e Fluxo de
Corrente em Redes Reticuladas de Baixa Tensão"
Tese de Mestrado apresentada à Faculdade de Engenharia de Cam-
pinas - UNICAMP
Publicação Interna 05/76 - FEC - UNICAMP, Campinas
- 10 - FENTON, R.G. -
"Optimum Design and Operation of Subway Systems"
University of Toronto - Canada
- 11 - TALUKDAR, S. , ROBERT, K. -
"The Analysis of Electrified Ground Transportation Networks"
IEEE Trans. Power
Apparatus & Systems - Vol. 1976
- 12 - CATTANEO, J.L. -
"Simulacion de la Marcha de um Trem - Simulacion de la Deriva"
XII Congresso Panamericano de Ferrocarriles
Caracas - Venezuela - 1975
- 13 - KOKOTOVIC, P. , SINGH, G. -
"Application of Maximum Principle to Optimum Control of an
Electric Train"
III Asilomar Conference on Circuits and Systems - 1969
- 14 - KORANYI, L. -
"Design of DC Power Supply for Rapid Transit Systems"
IEEE Transactions on Industry and General Applications - 1965
- 15 - TINNEY, W.F. , SATO, N. -
"Techniques for Exploiting the Sparsity of the Network Admittance
Matrix"
IEEE Transactions on Power Apparatus and Systems - 1973
- 16 - STOTT, B. , ALSAÇ, O. -
"Fast Decoupled Load Flow"

IEEE Transactions on Power Apparatus and Systems - 1973

17 - JORNAL DOS TRANSPORTES -

Centro de Documentação e Publicações do Ministério dos Transportes do Brasil - 1974/1975/1976

18 - REVISTAS AIT -

Asociacion de Investigacion del Transporte
Espanha - 1975/1976